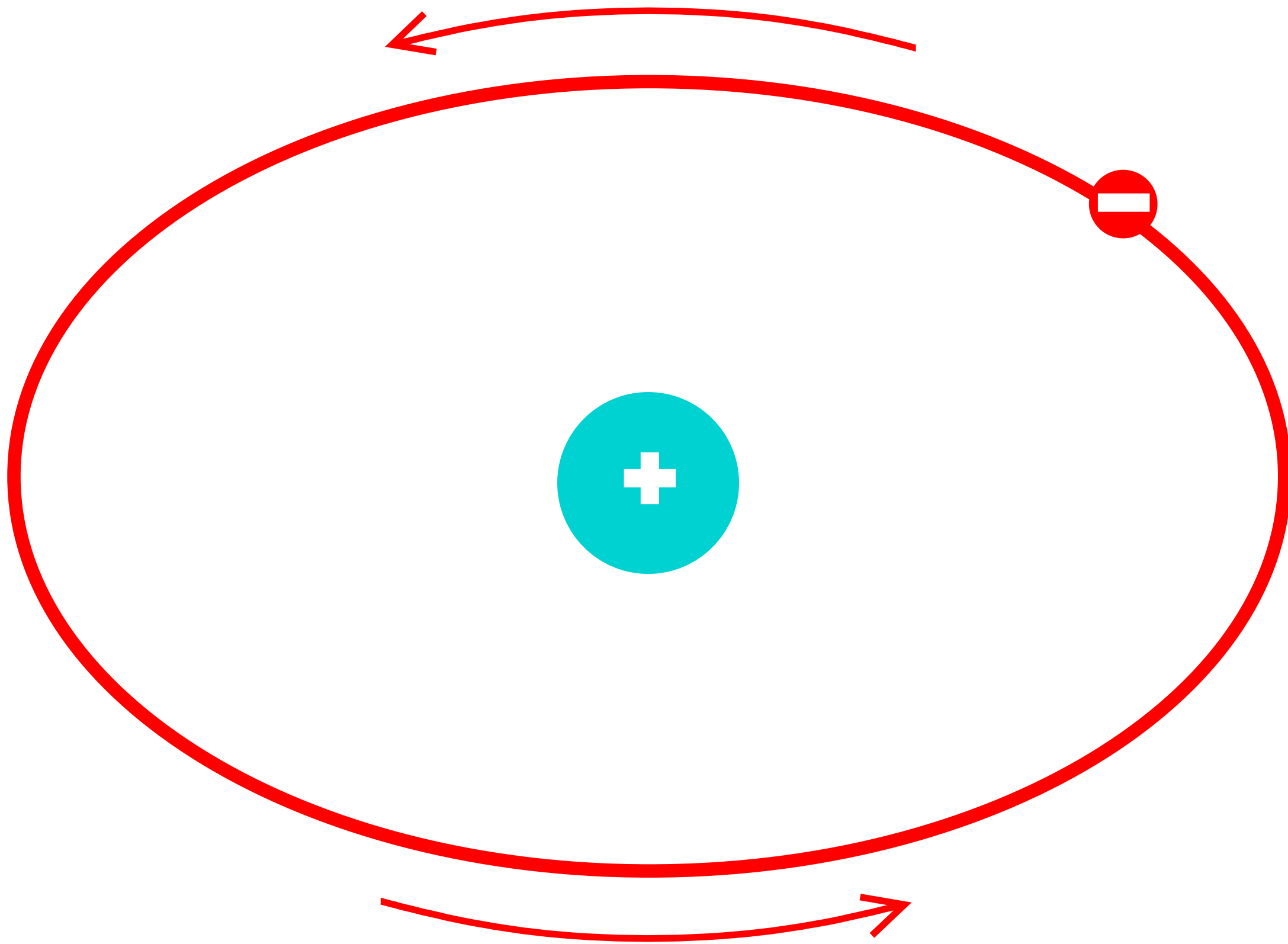
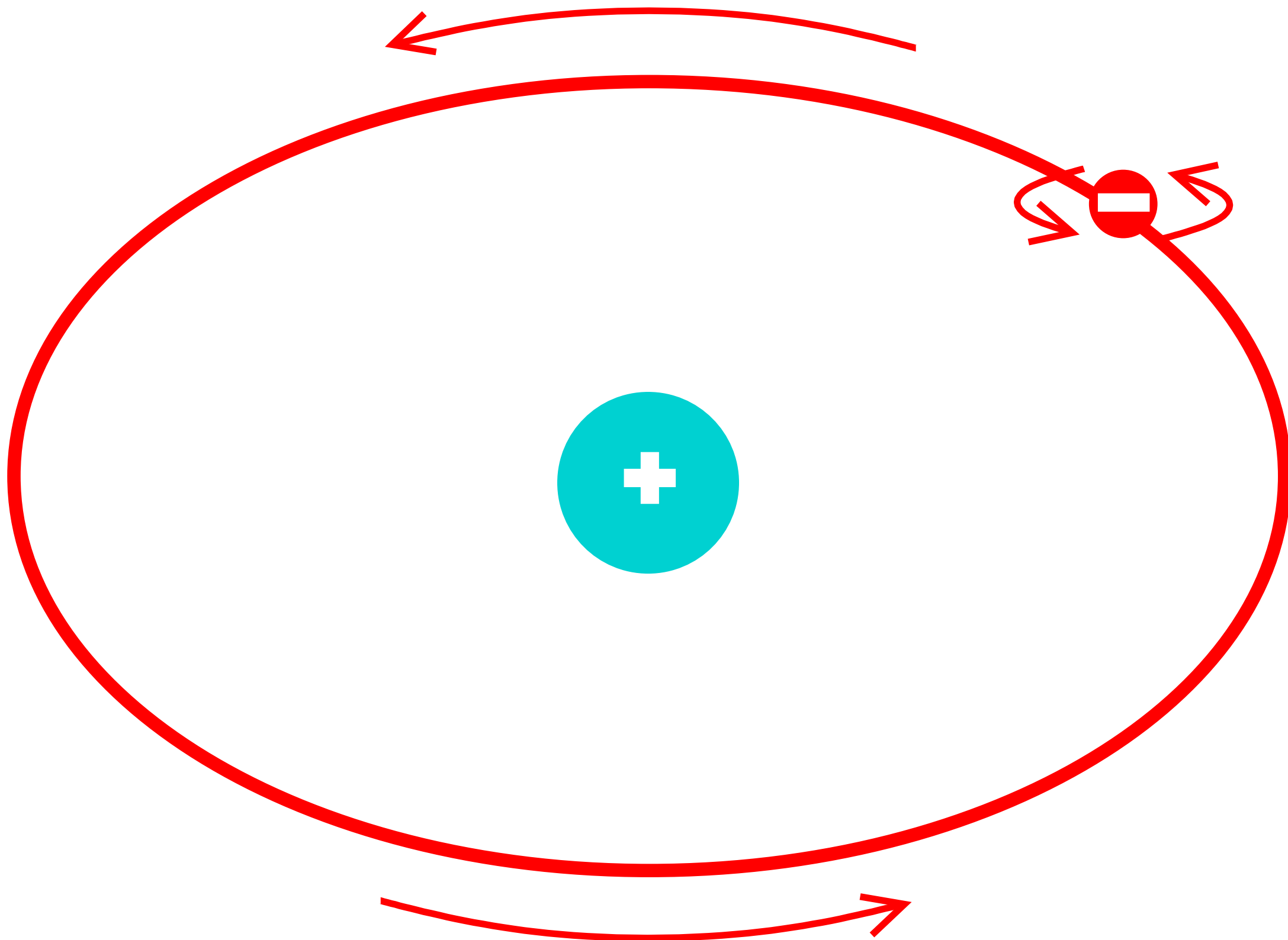
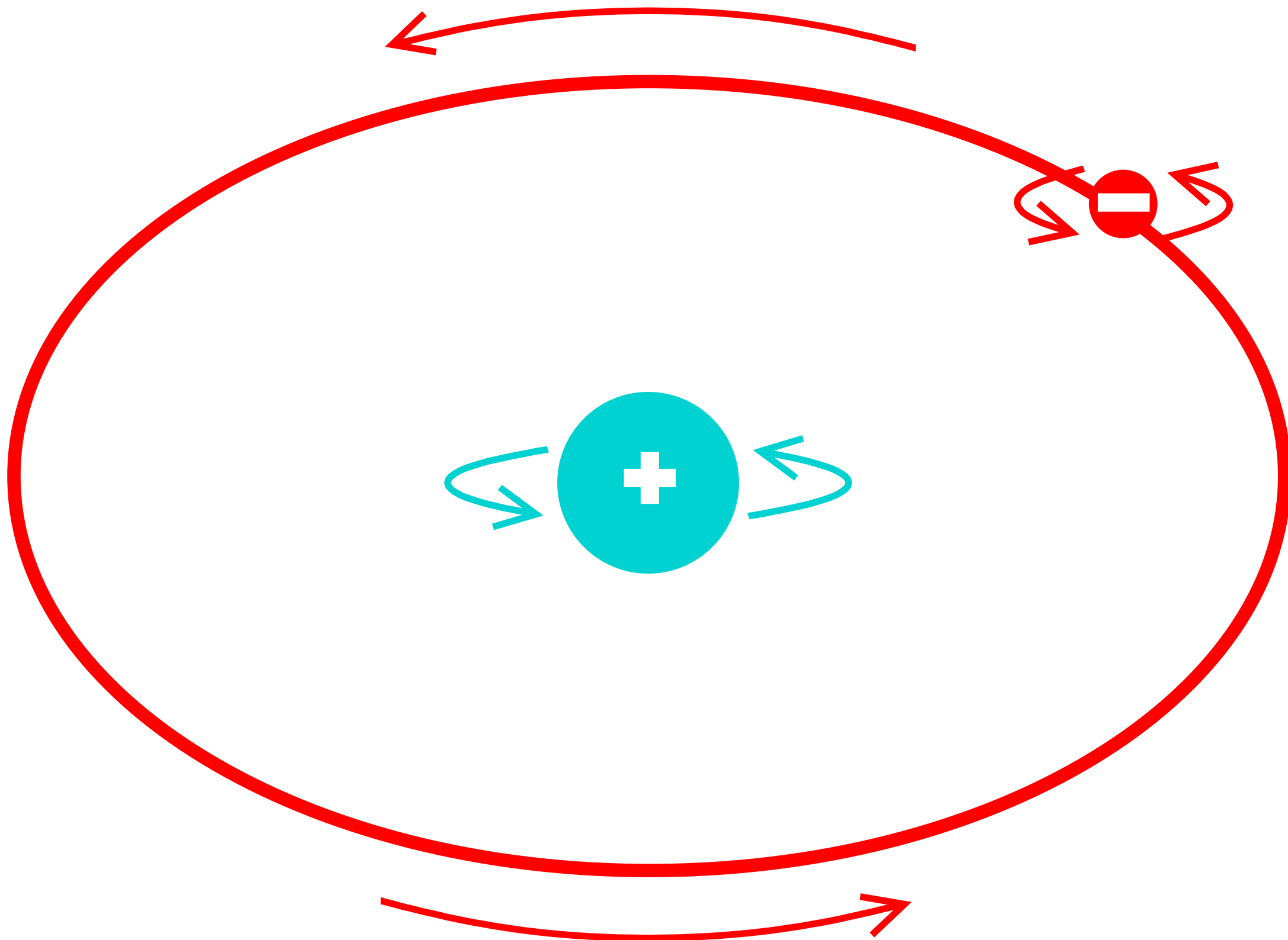


NUCLEAR MAGNETIC RESONANCE







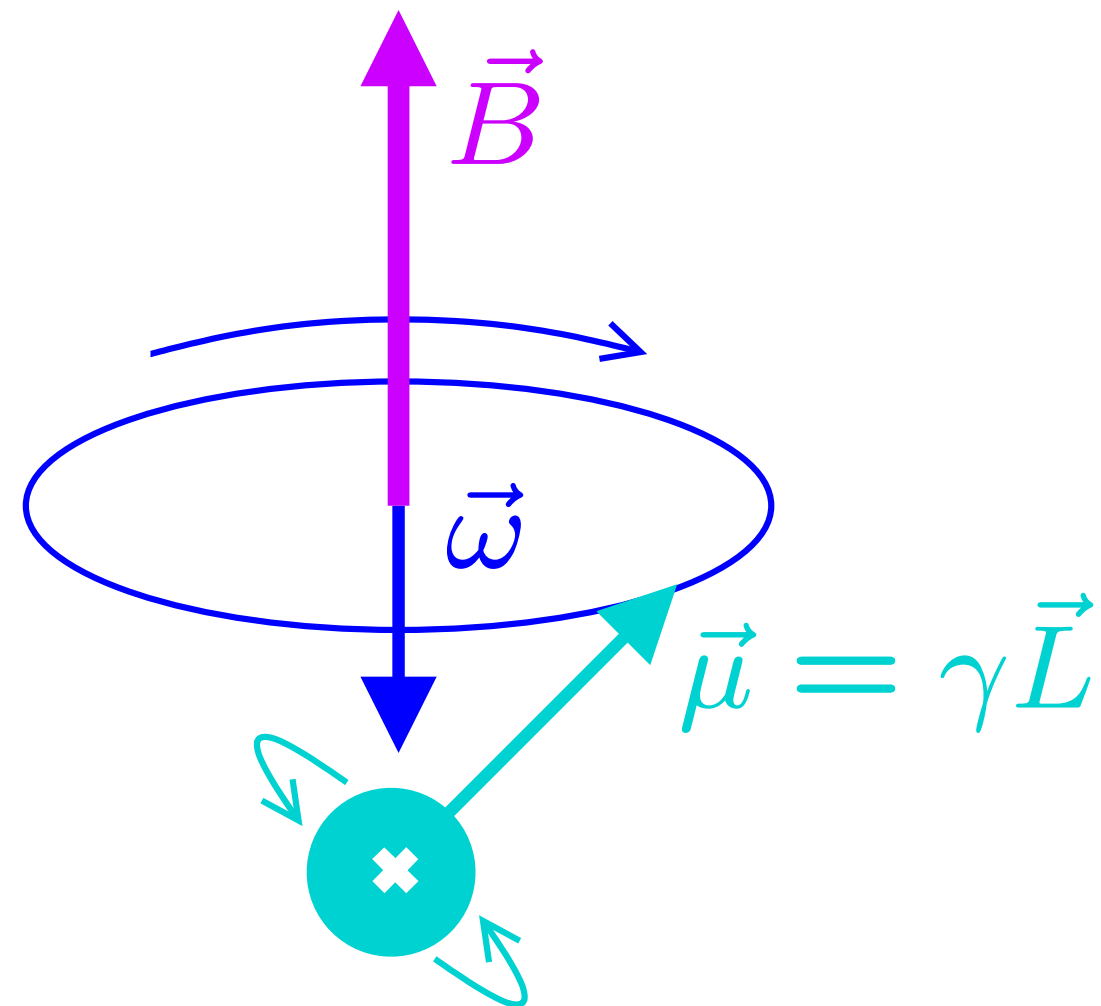
	S	$\frac{10^{-9} \gamma}{\text{rad s}^{-1} \text{T}^{-1}}$	% v přírodě
e ⁻	1/2	-182,000	100
¹ H	1/2	0,277	99,98
¹³ C	1/2	0,067	1,1
¹⁴ N	1	0,019	99,6
¹⁵ N	1/2	-0,027	0,4
¹⁷ O	5/2	-0,036	0,04
¹⁹ F	1/2	0,252	100
³¹ P	1/2	0,108	100
¹²⁹ Xe	1/2	-0,075	24,4

Počet stacionárních stavů = $2S + 1$

kvadrupolární jádra (příliš rychle se vrací do rovnováhy)

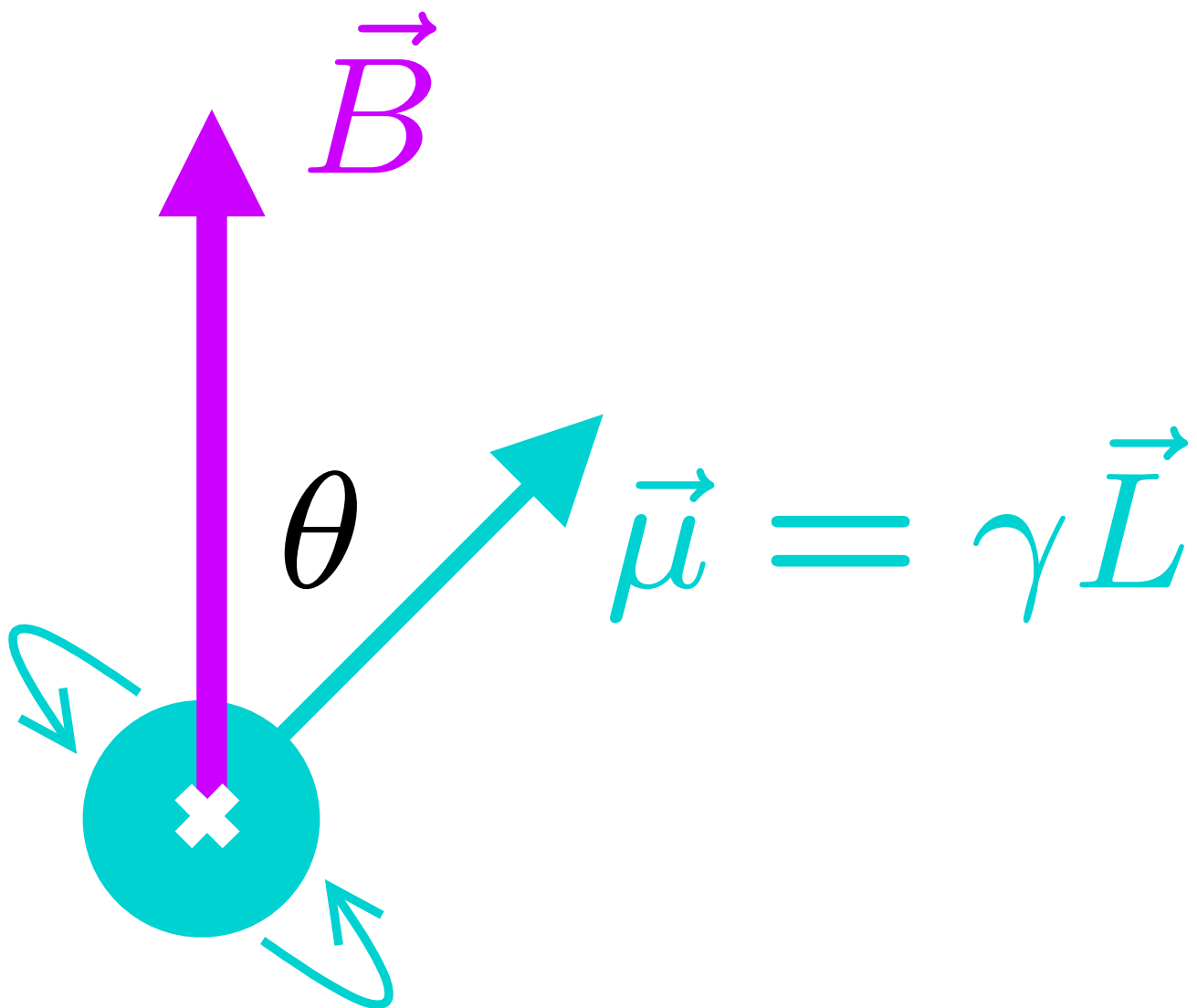
vzácné izotopy (vyžadují obohacení proteinů během exprese)

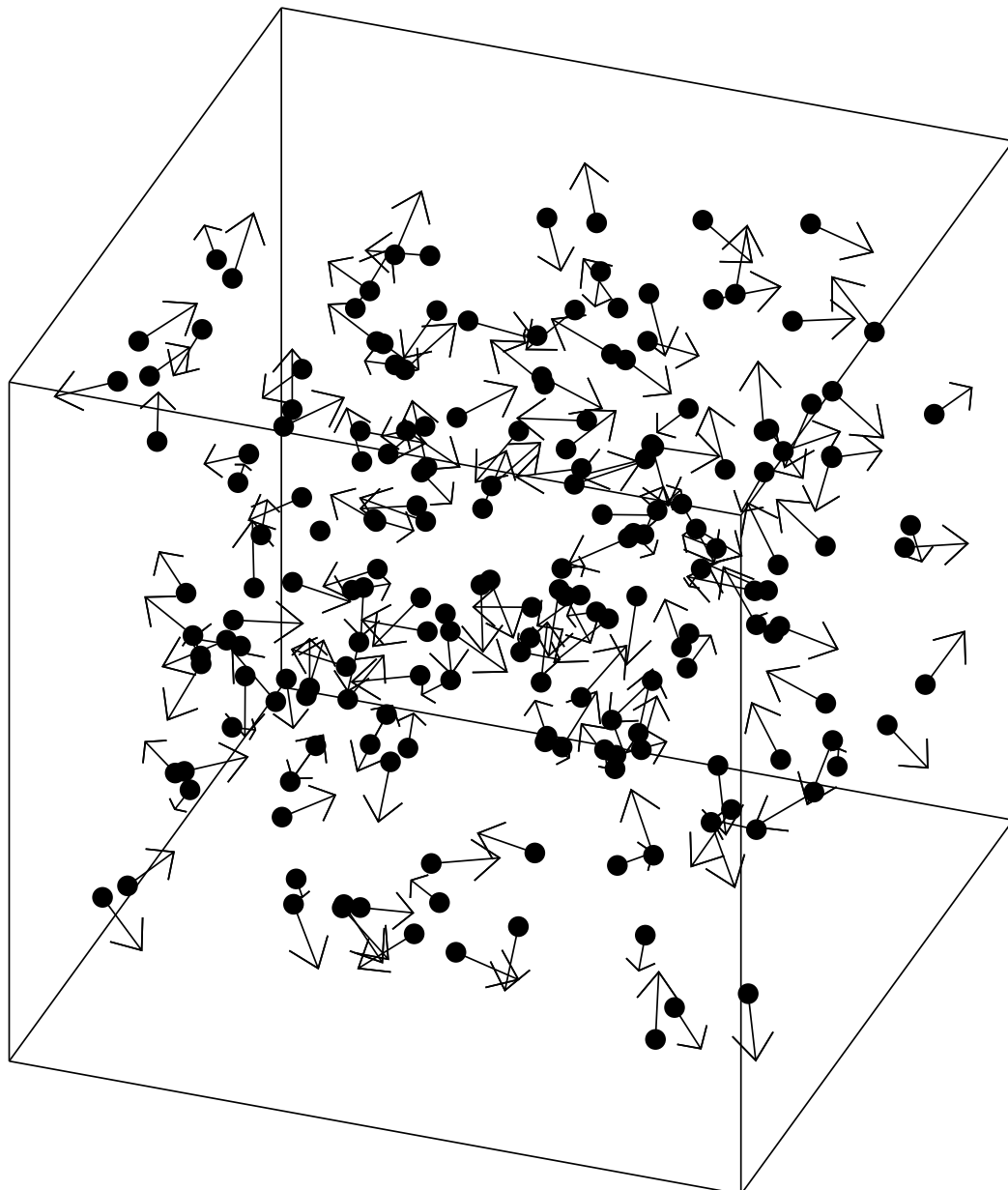
Úhlová rychlosť precese $\vec{\omega} = -\gamma \vec{B}$



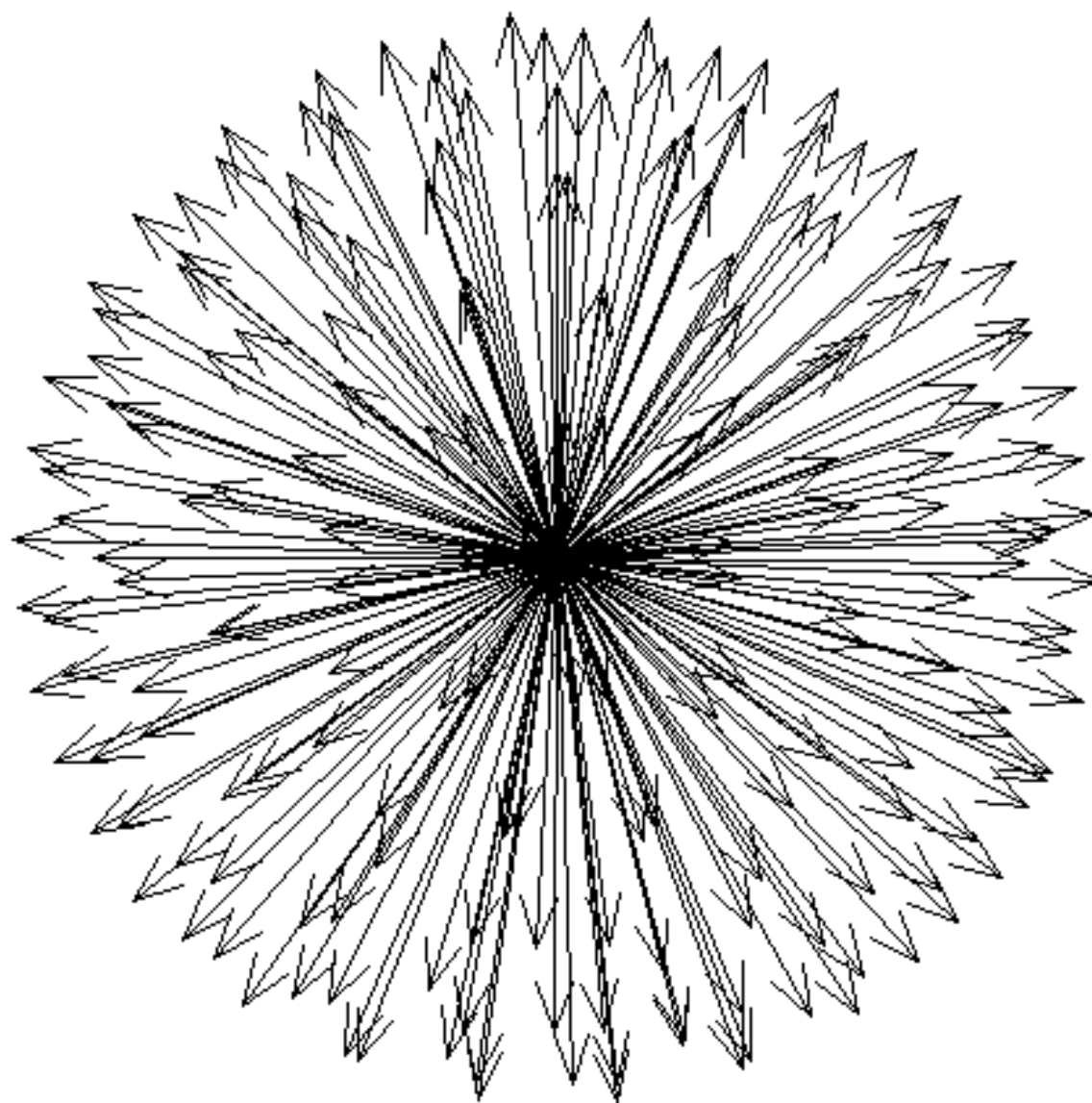
Energie magnetického momentu v poli

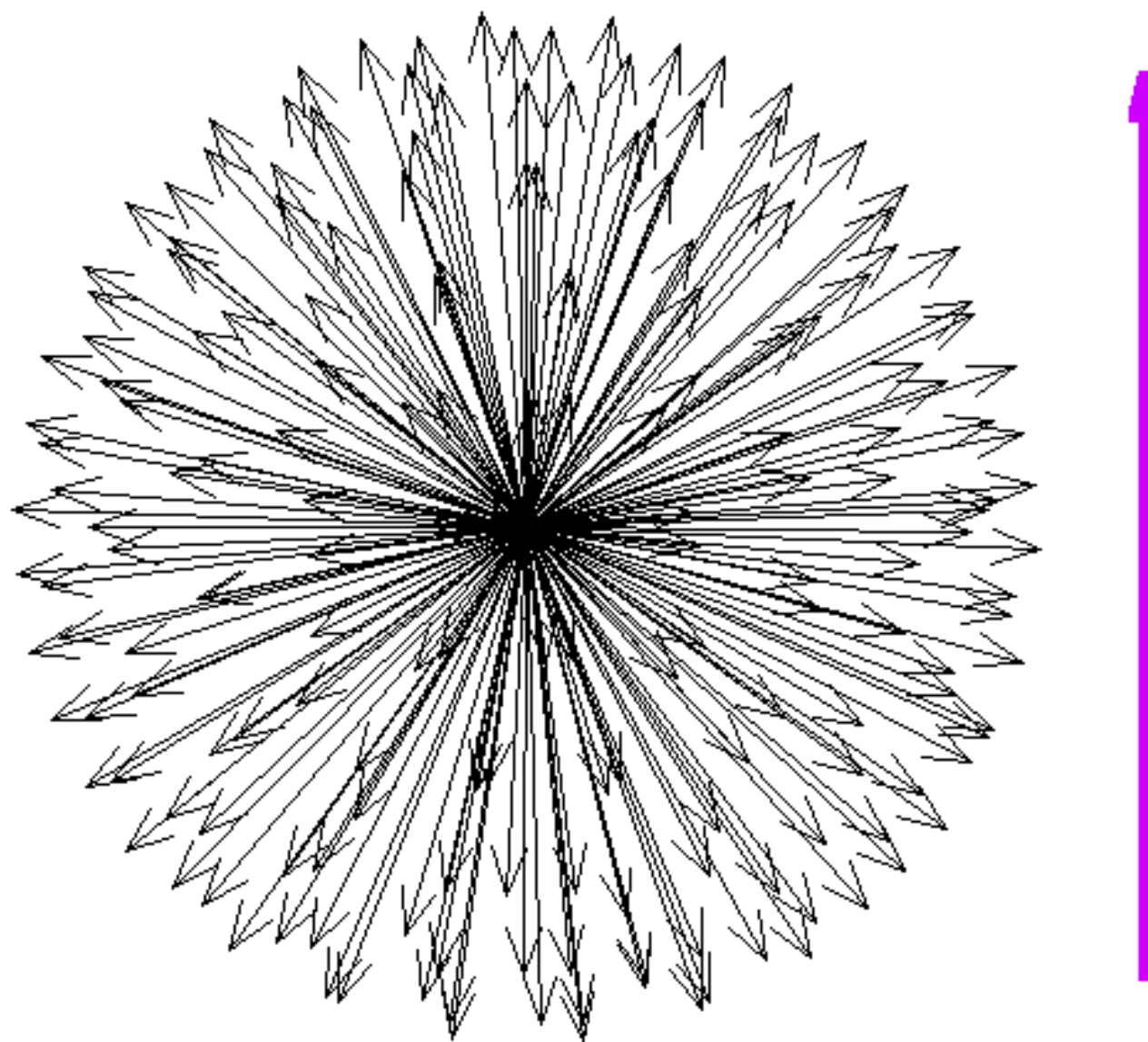
$$U = -\vec{\mu} \cdot \vec{B} = -|\mu||B| \cos \theta$$



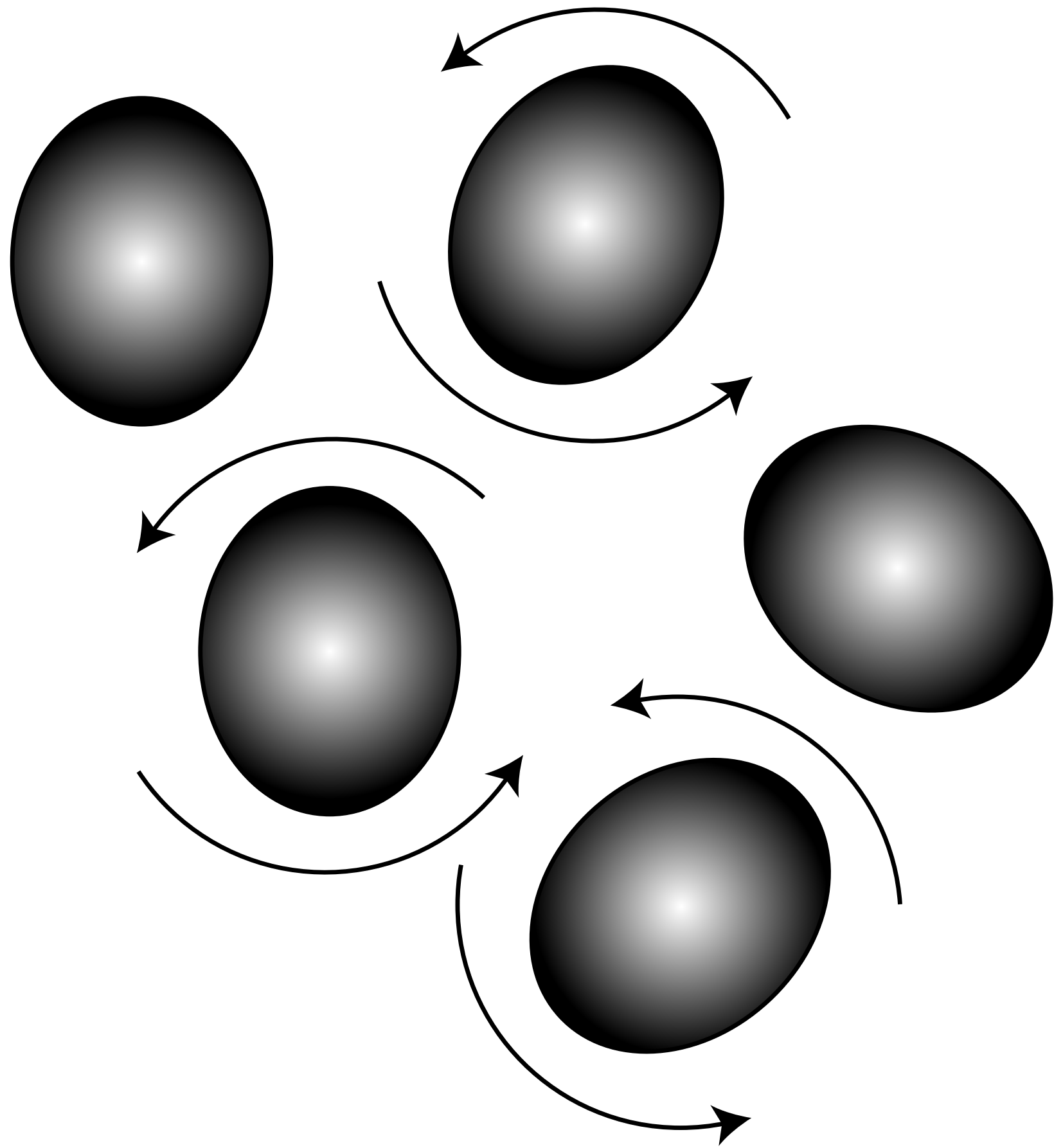


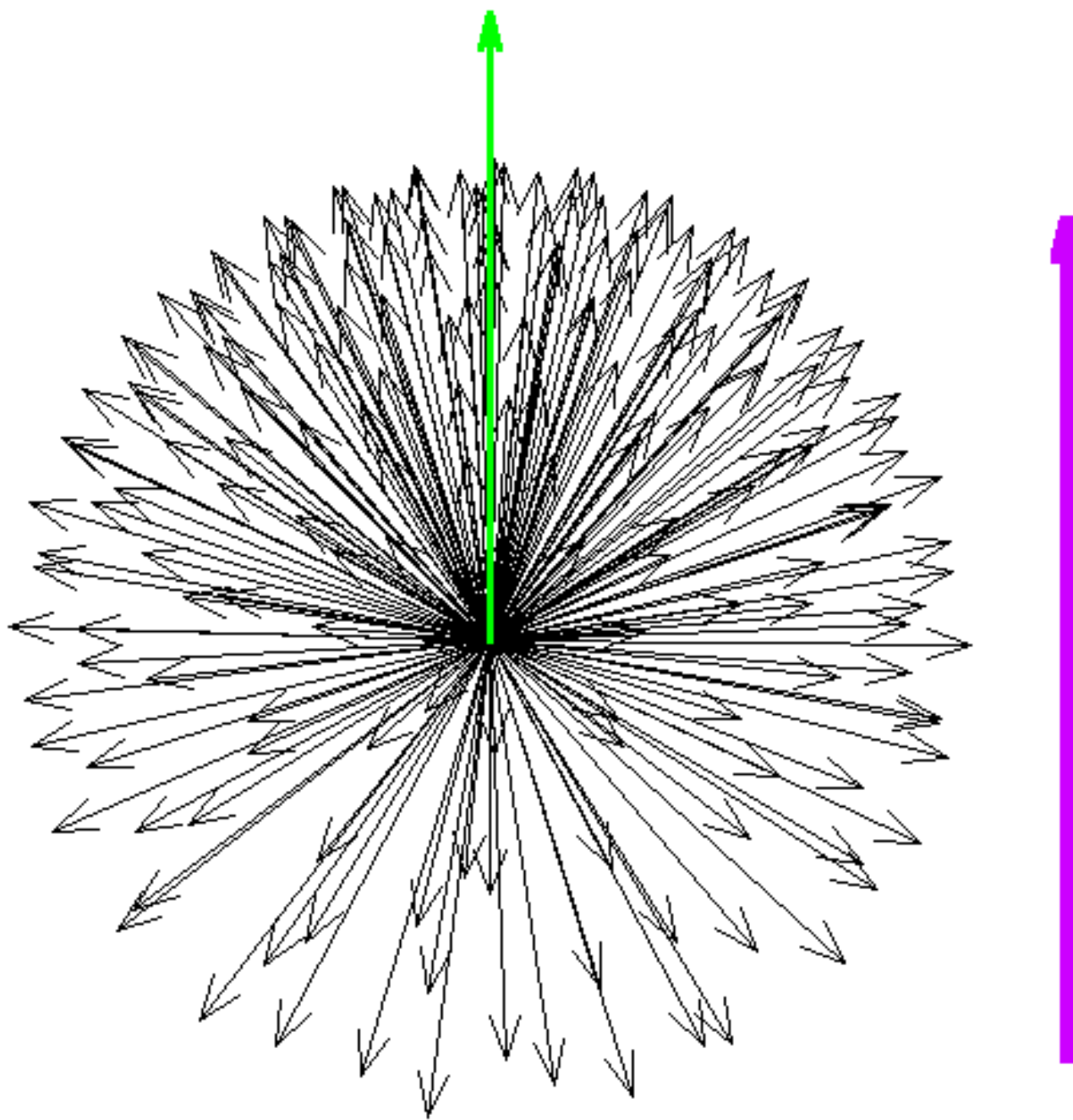
$$\vec{M} = (\vec{\mu}_1 + \vec{\mu}_2 + \vec{\mu}_3 + \vec{\mu}_4 + \vec{\mu}_5 + \vec{\mu}_6 + \dots)/V \quad \text{Magnetizace}$$



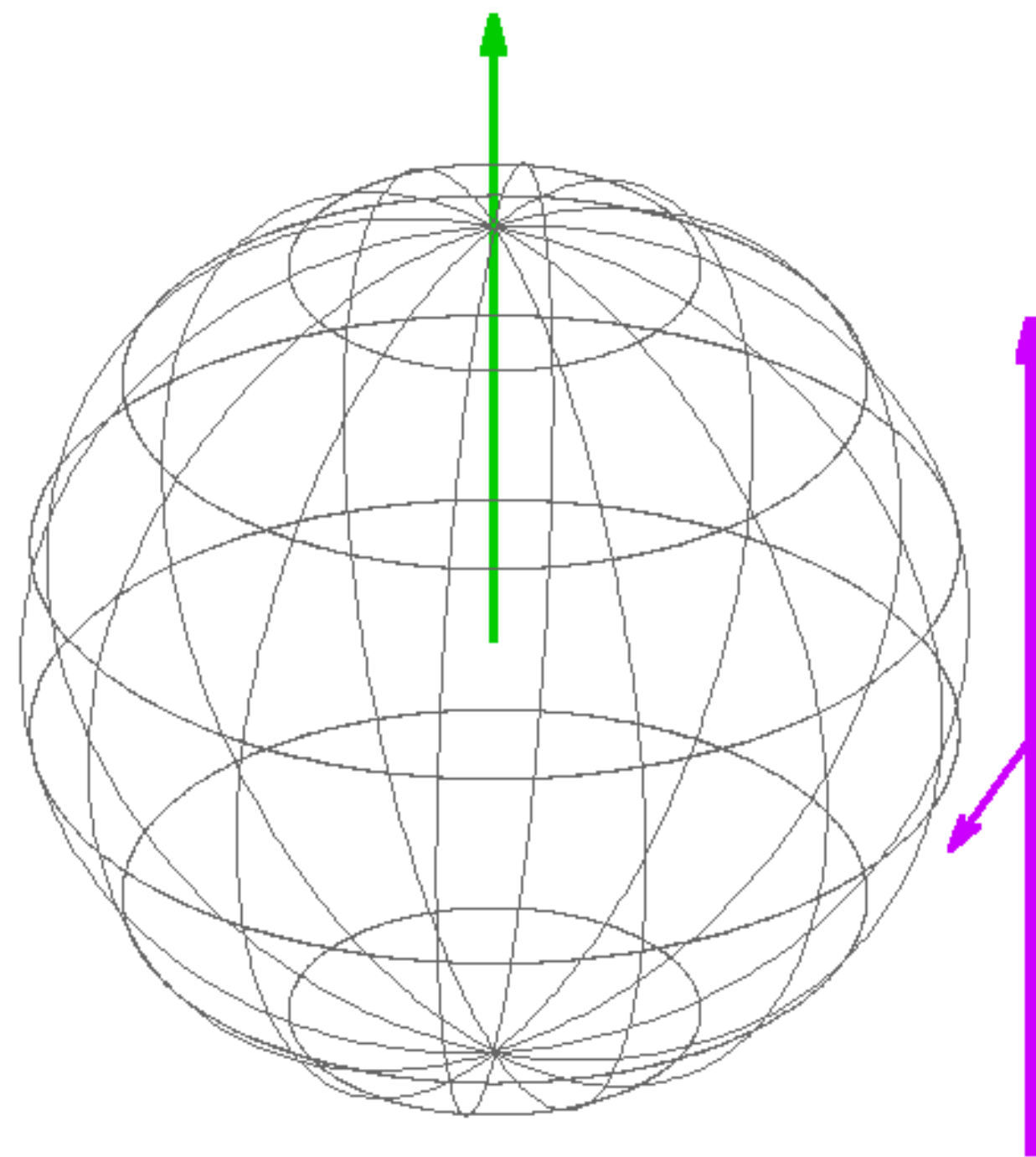


Magnetické momenty v magnetickém poli

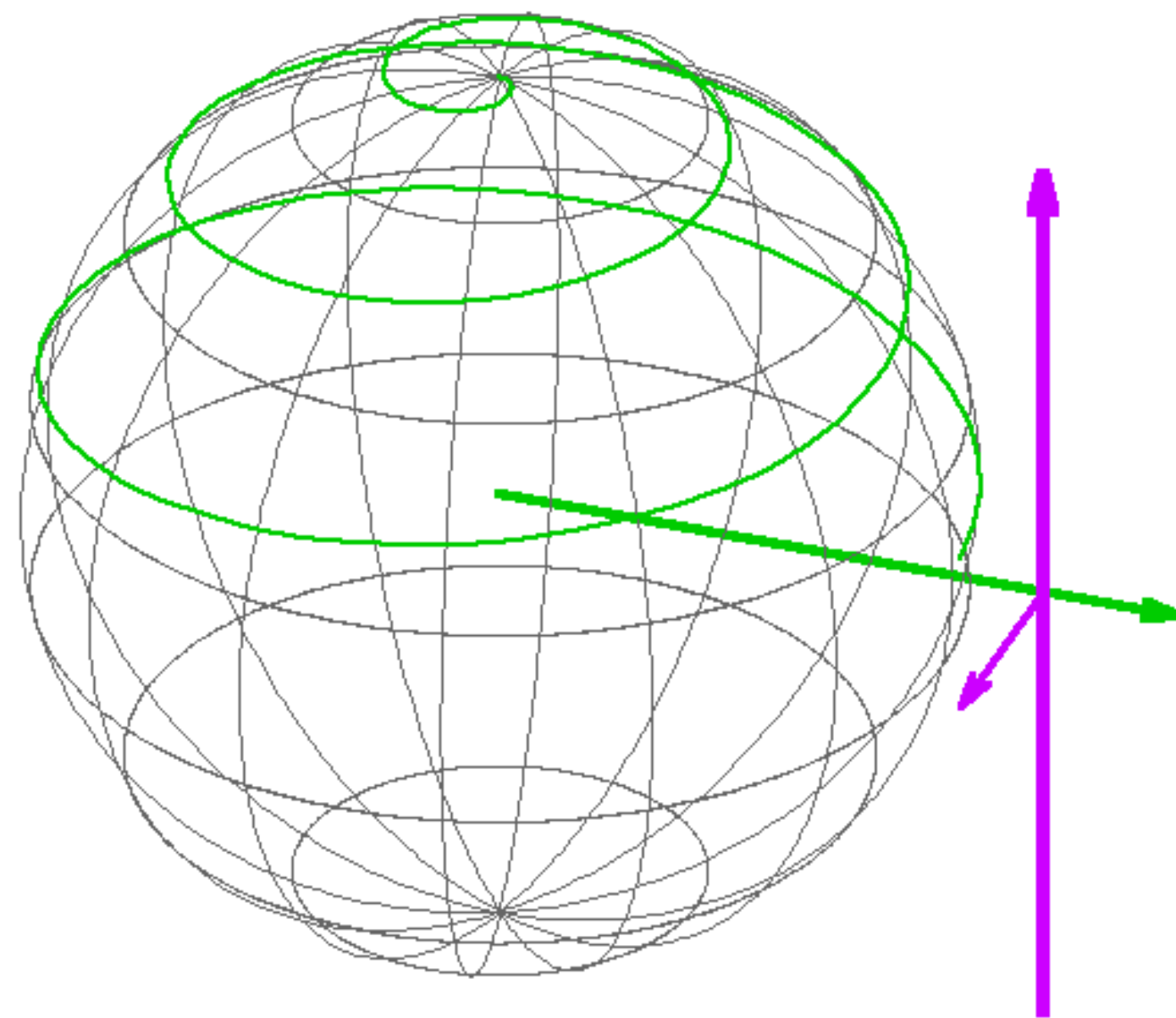


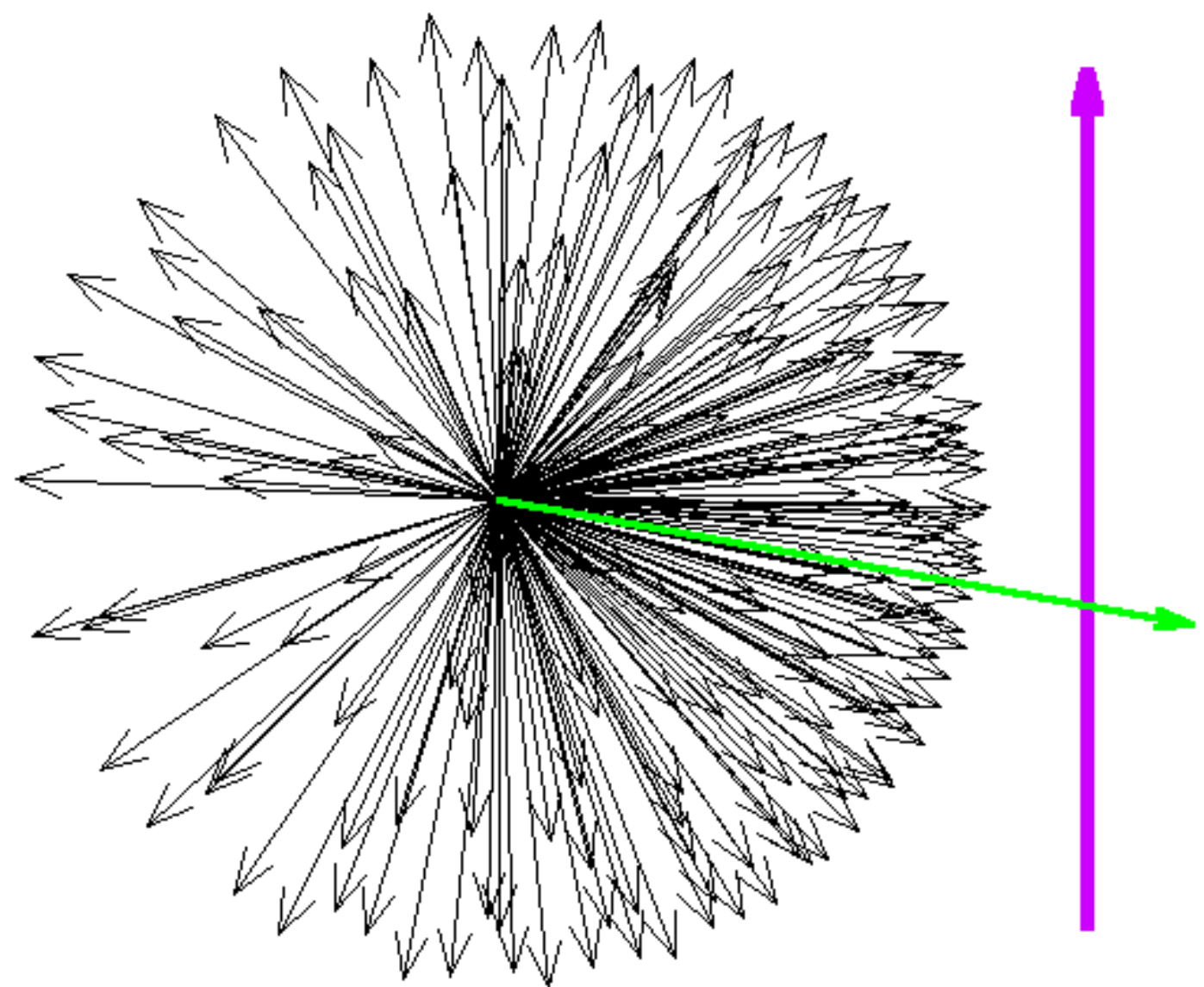


Vertikálně polarizované magnetické momenty
ve vertikálním magnetickém poli

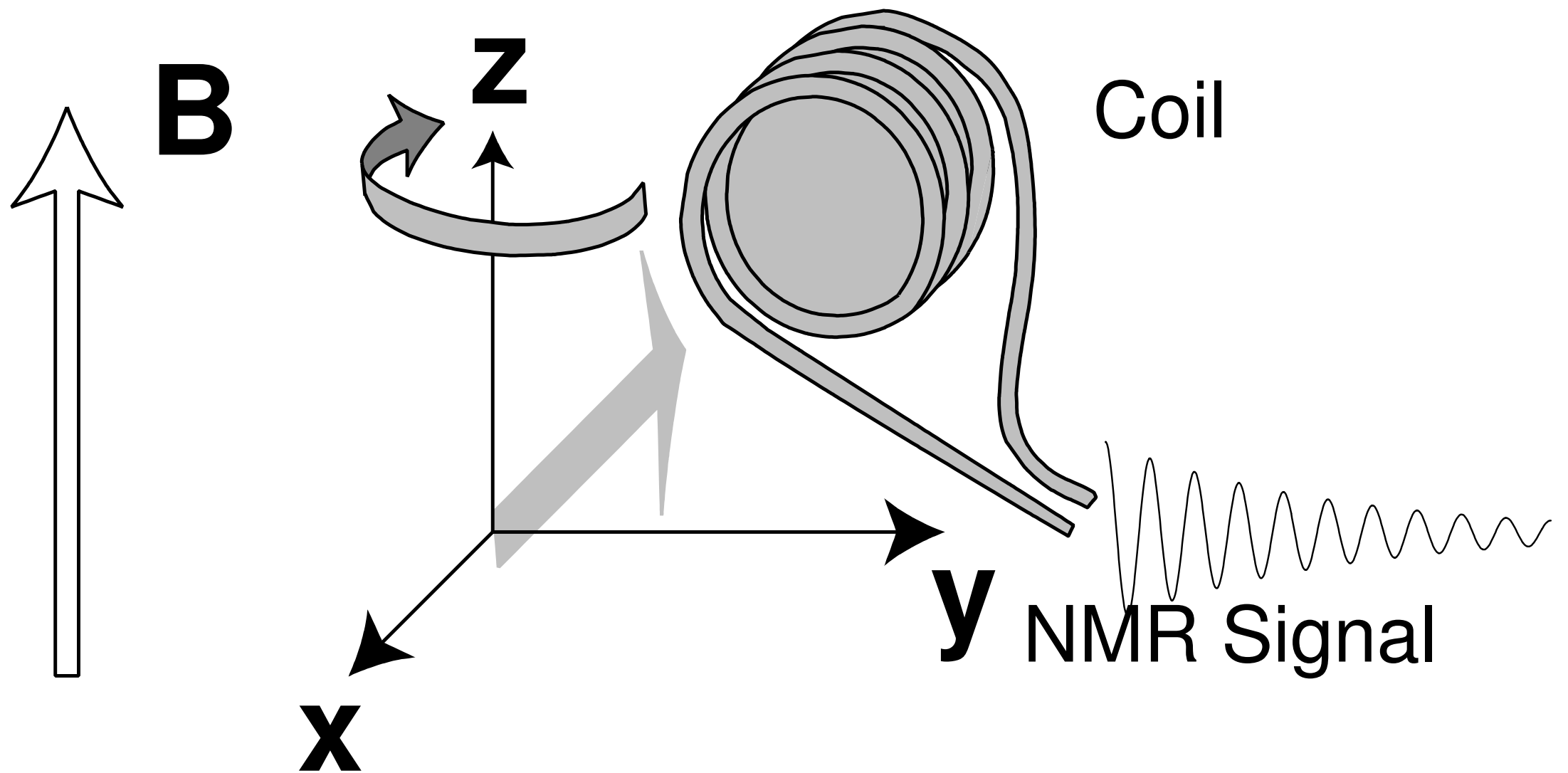


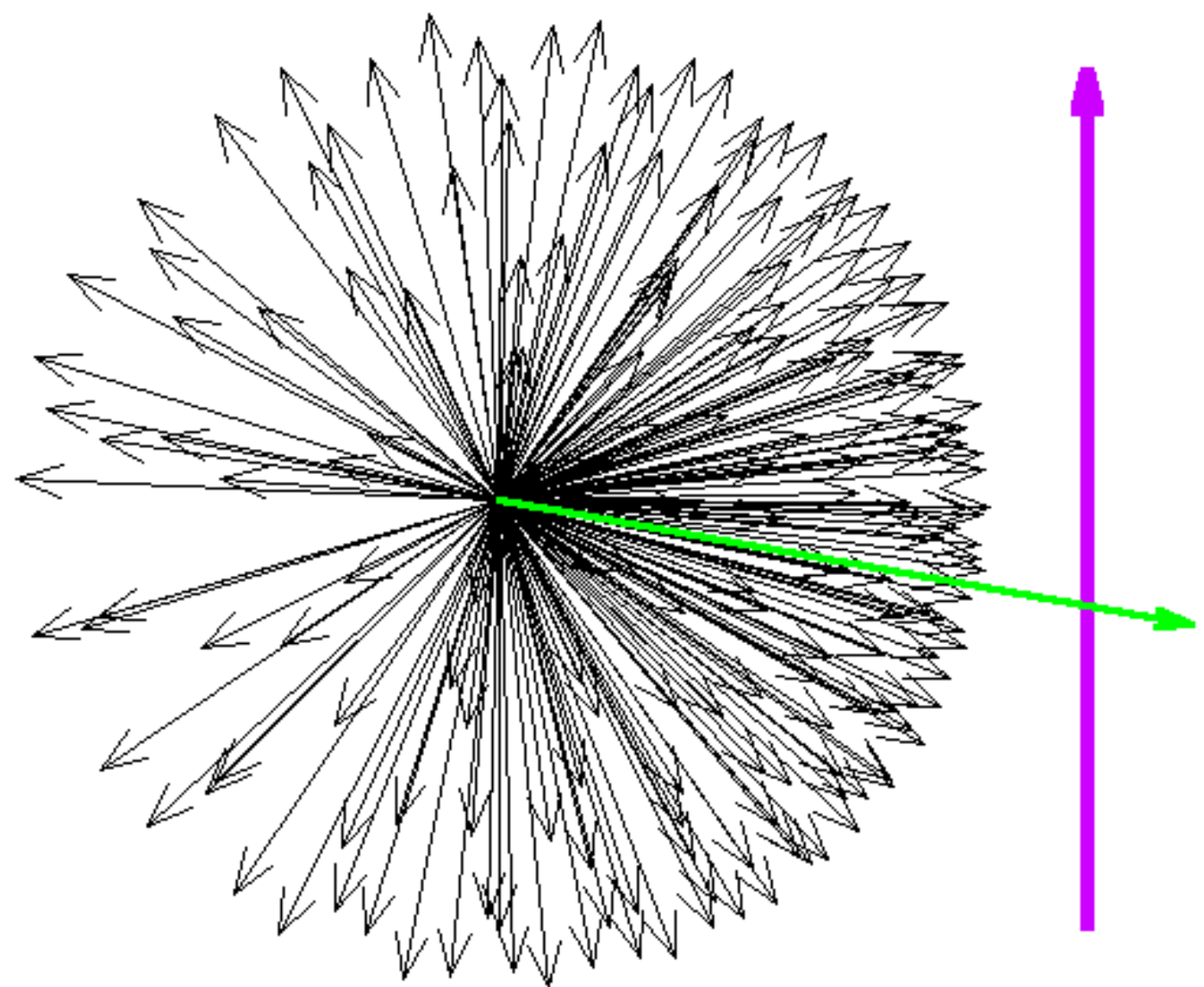
Sklopení vektoru magnetizace

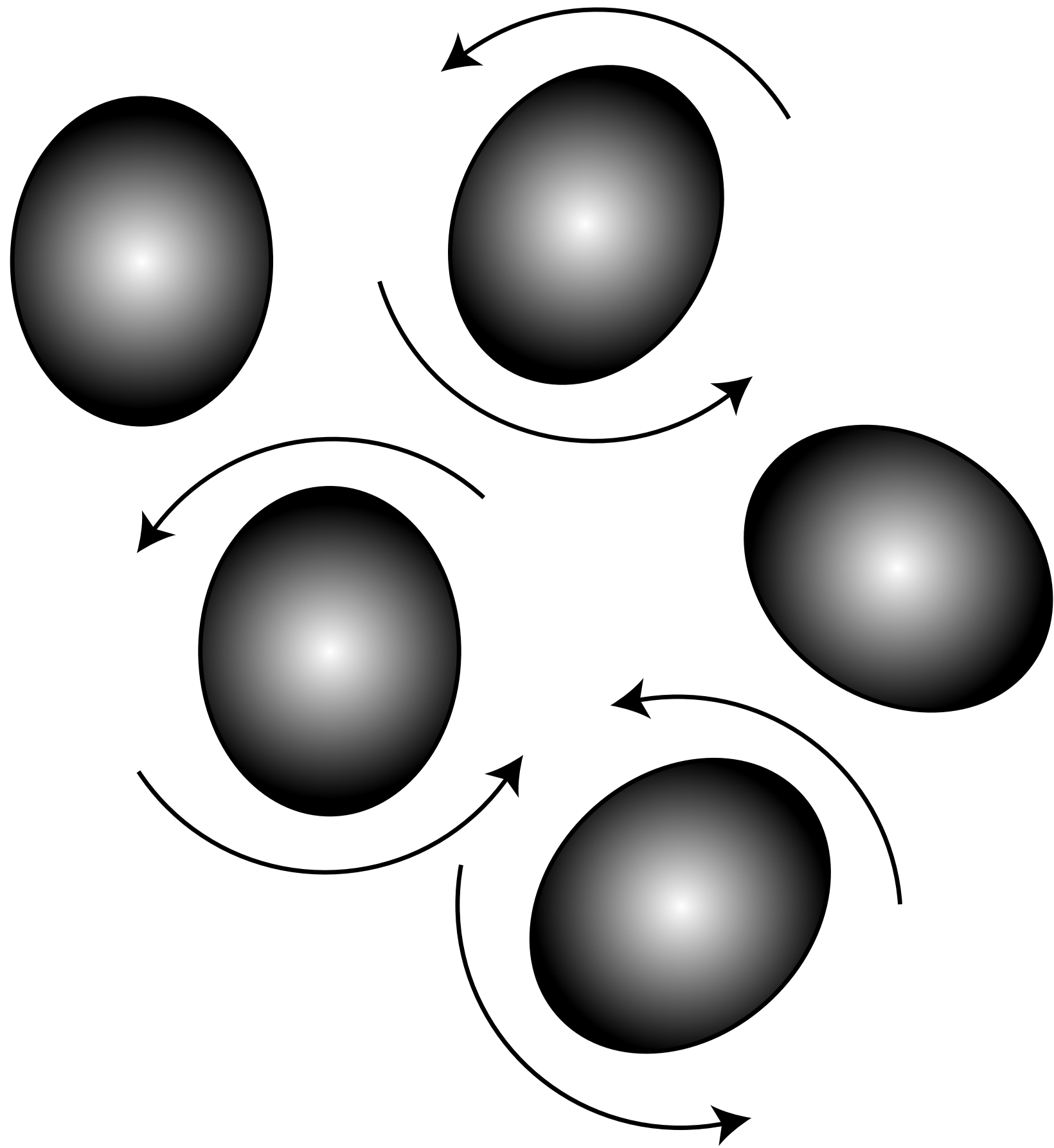


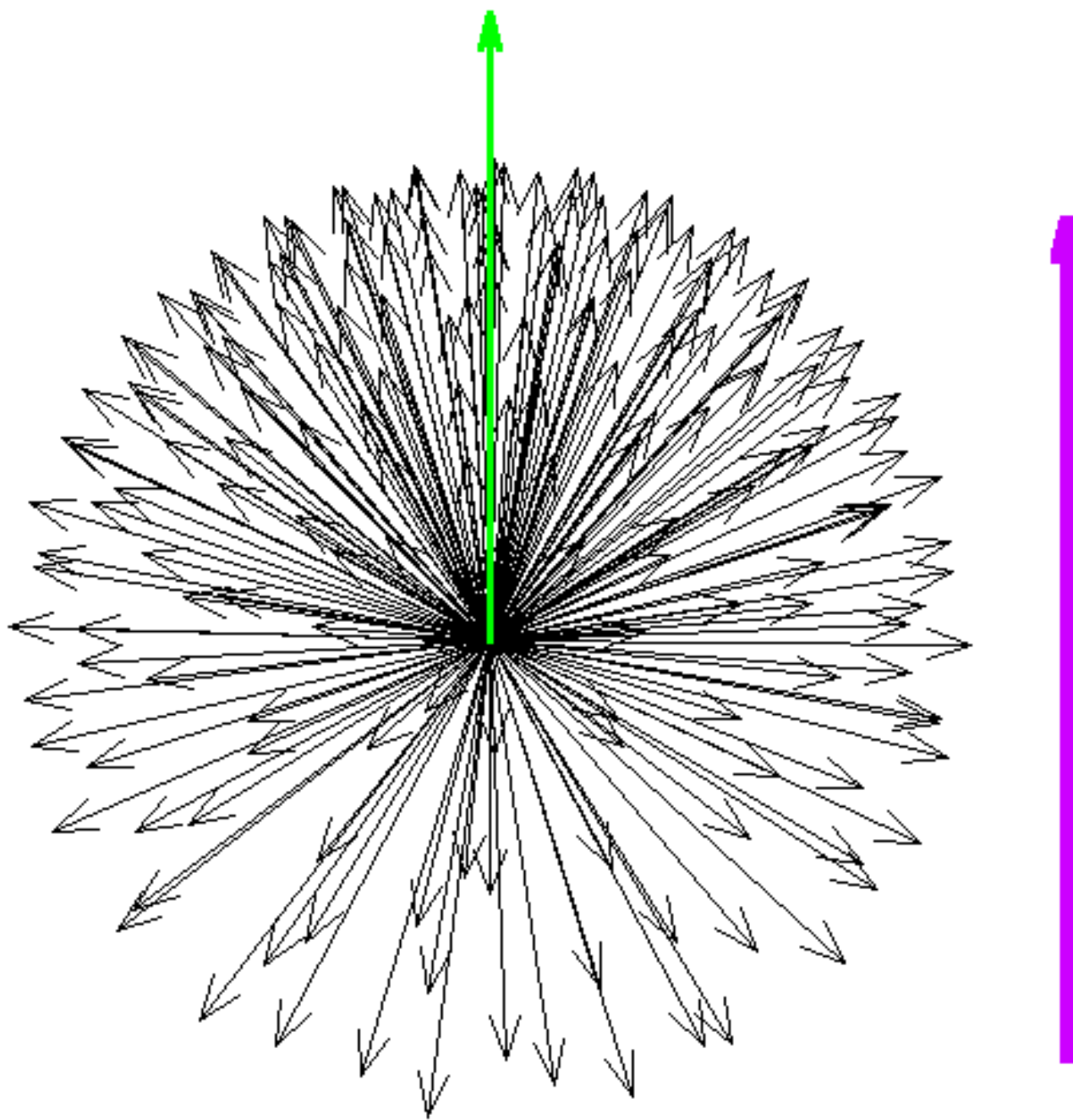


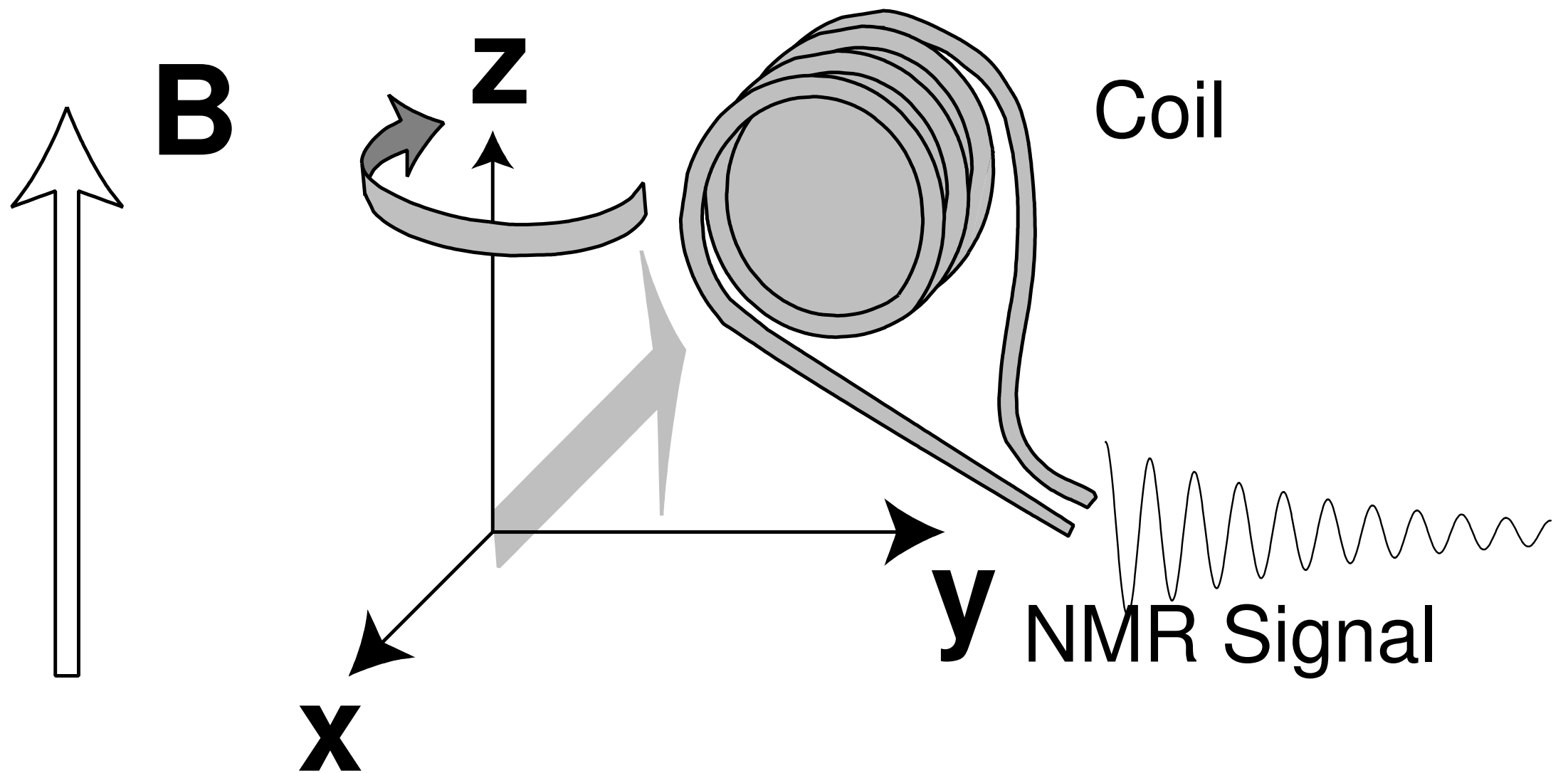
Horizontálně polarizované koherentní
magnetické momenty
ve vertikálním magnetickém poli

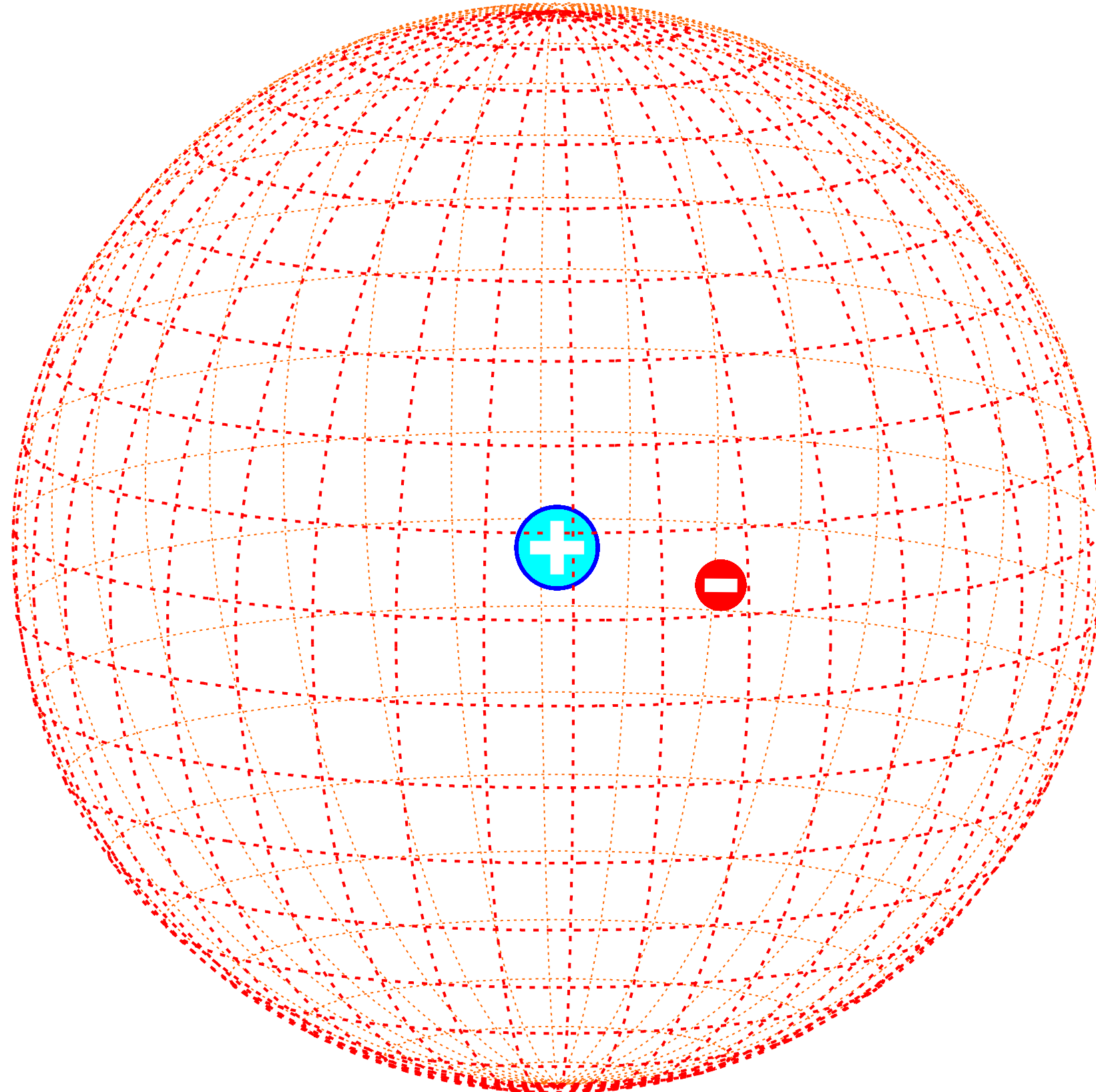


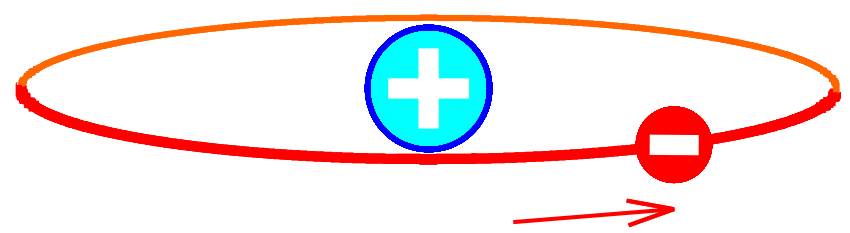


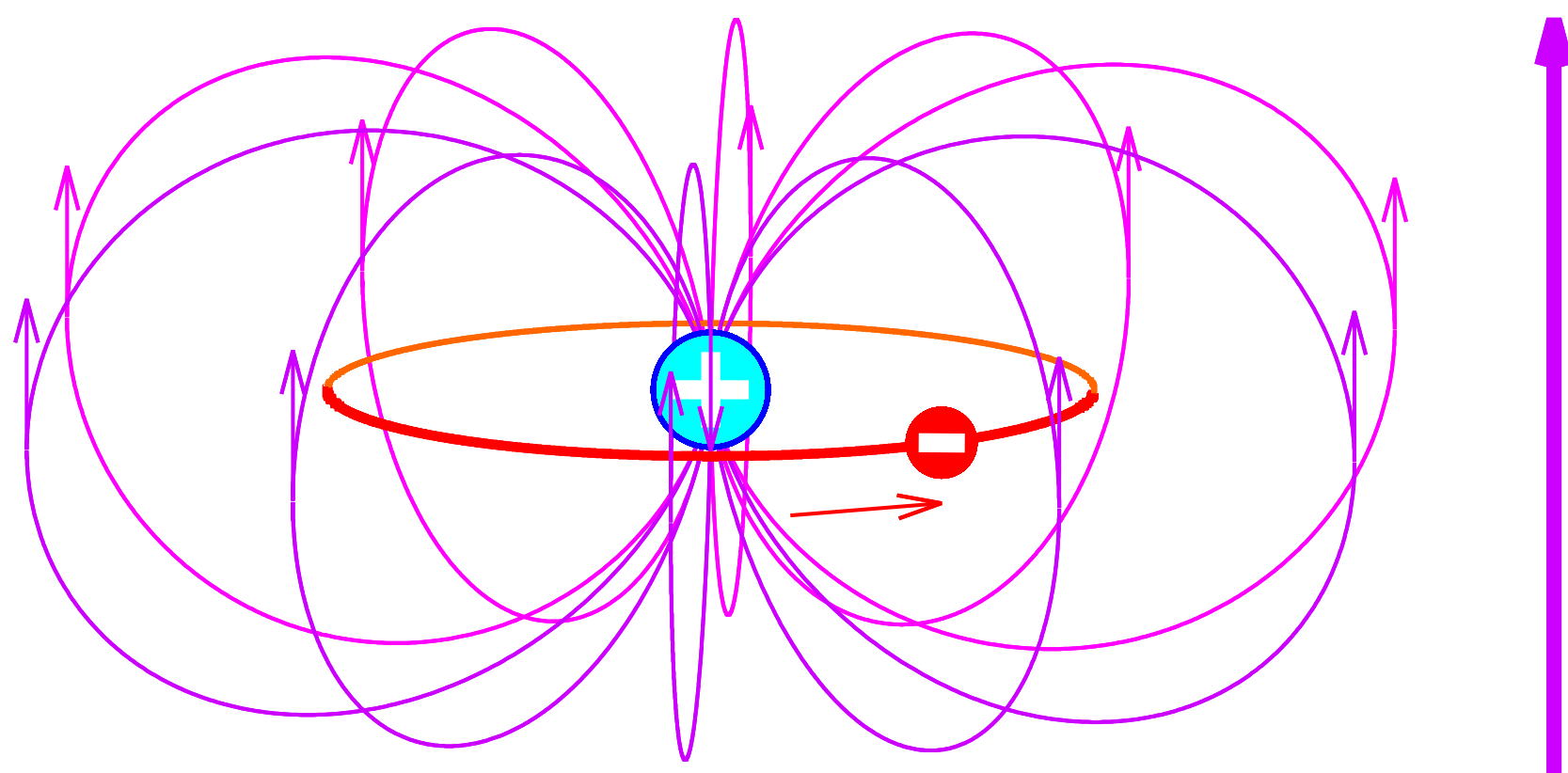


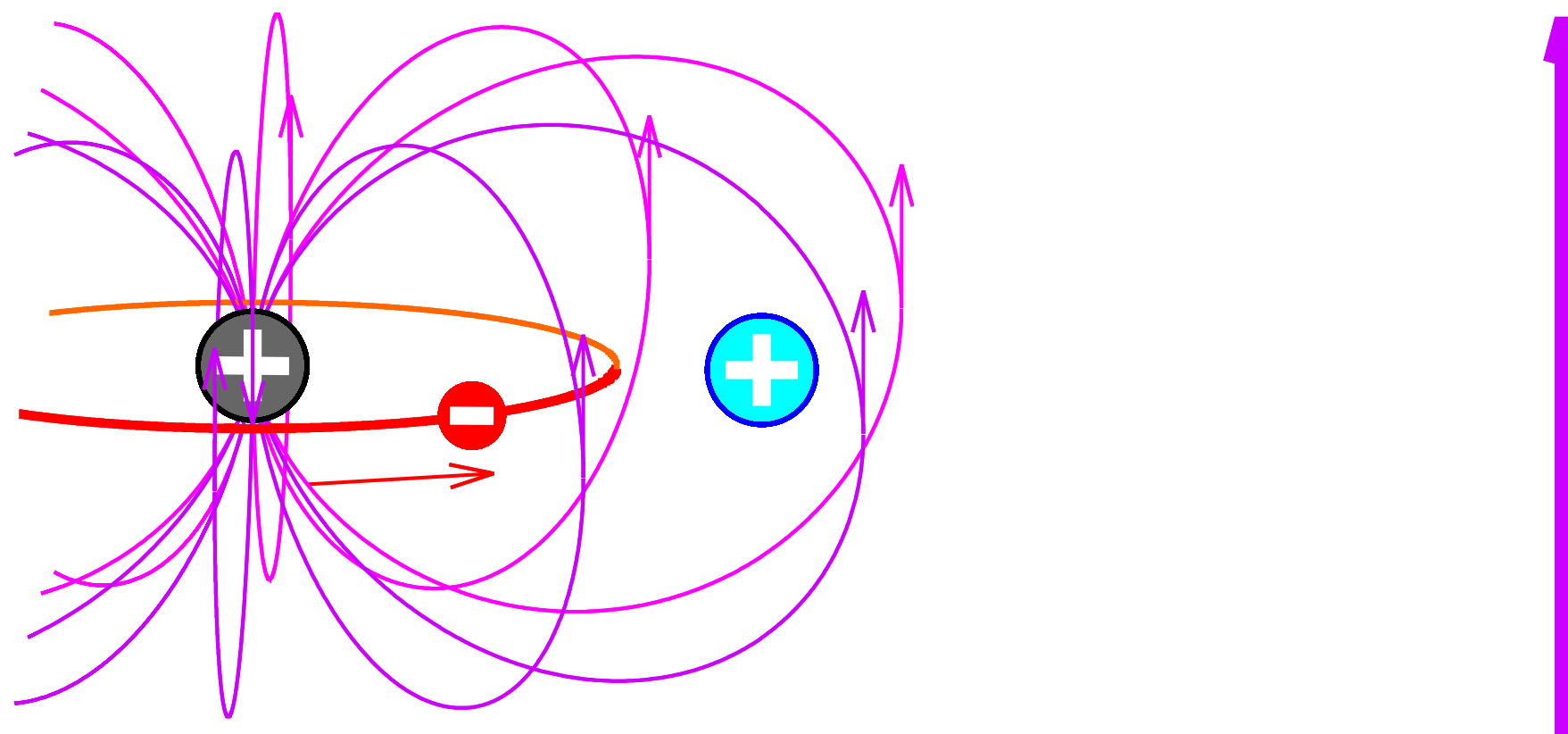


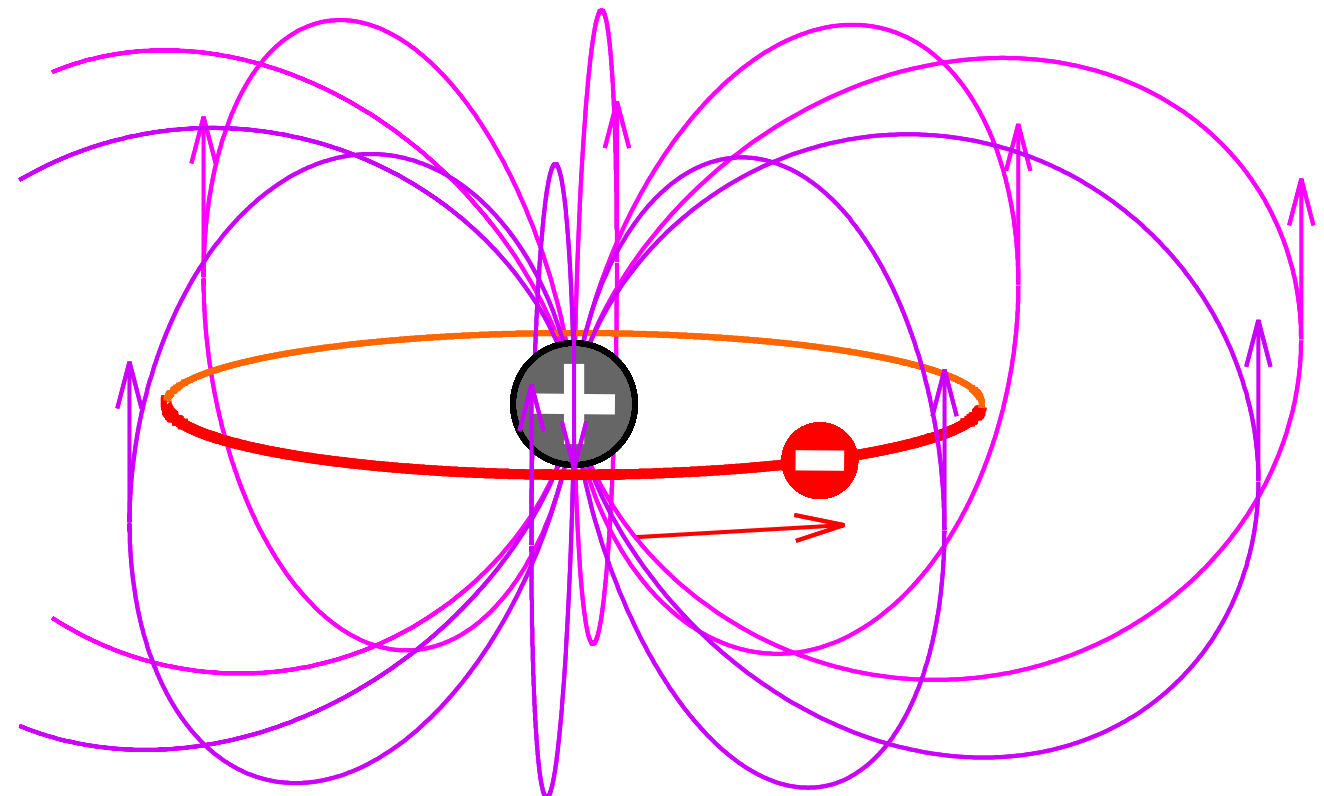


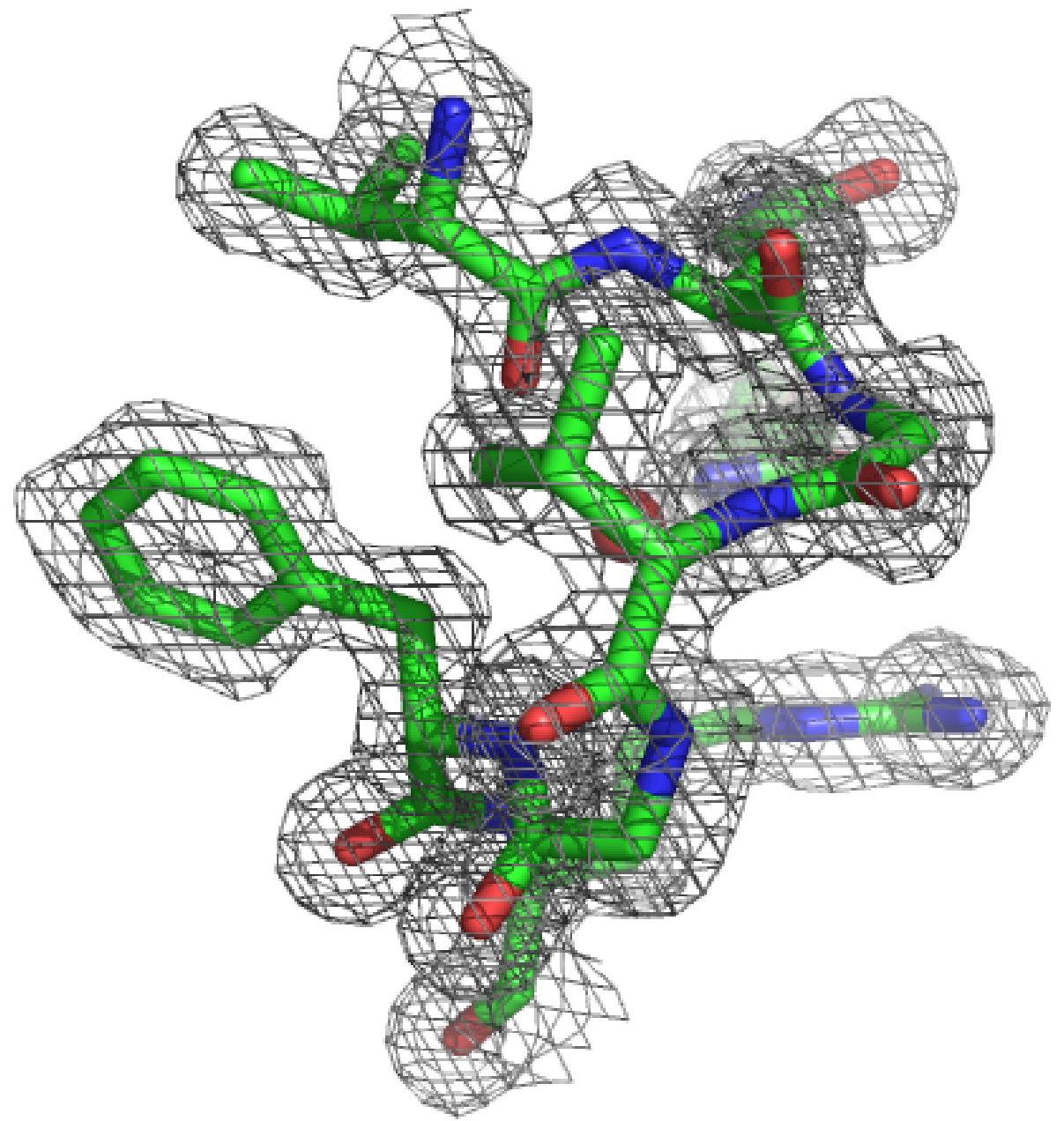




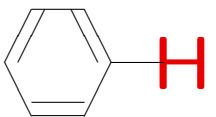








$-\text{CH}=\text{O}$



$-\text{C}=\text{CH}-$

$-\text{CH}_2-\text{O}-$

$-\text{CH}_2-\text{C}=\text{O}$

$-\text{CH}_2-\text{C}-$

$(\text{CH}_3)_4\text{Si}$ H_2

H^+

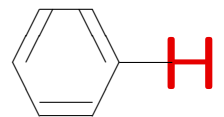
499.9985

499.9990

499.9995

500.0000 MHz

$-\text{CH}=\text{O}$



$-\text{C}=\text{CH}-$

$-\text{CH}_2\text{--O--}$

$-\text{CH}_2\text{--C=O}$

$-\text{CH}_2\text{--C--}$

$(\text{CH}_3)_4\text{Si}$ H_2
↓ ↓

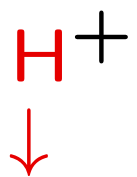
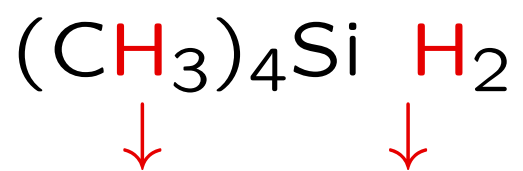
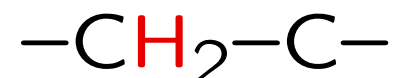
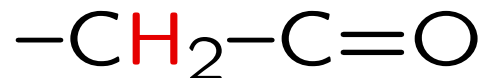
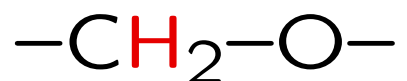
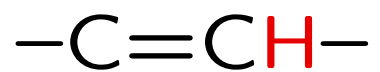
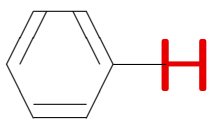
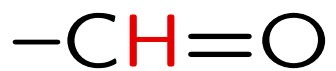
H^+
↓

99.997 %

99.998 %

99.999 %

100.000 %

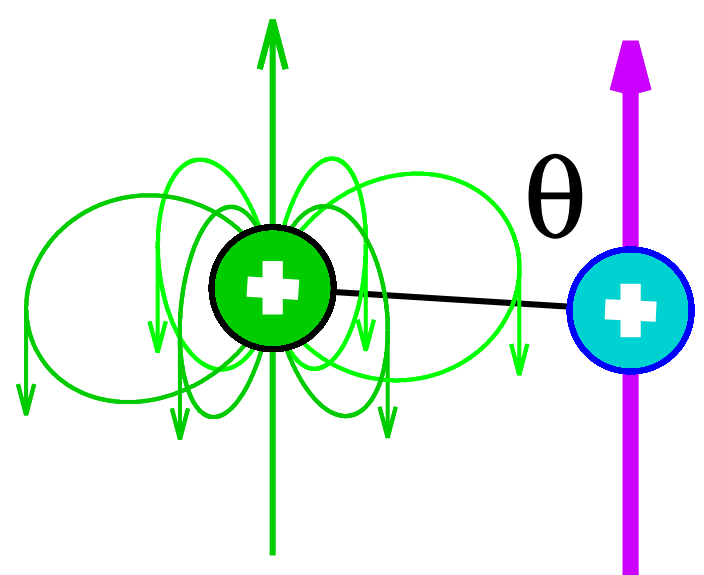


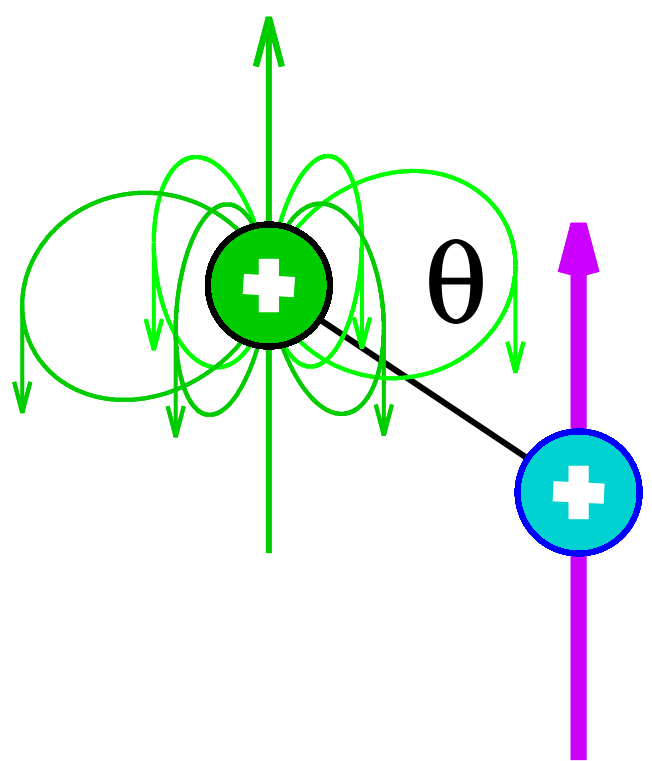
0 ppm

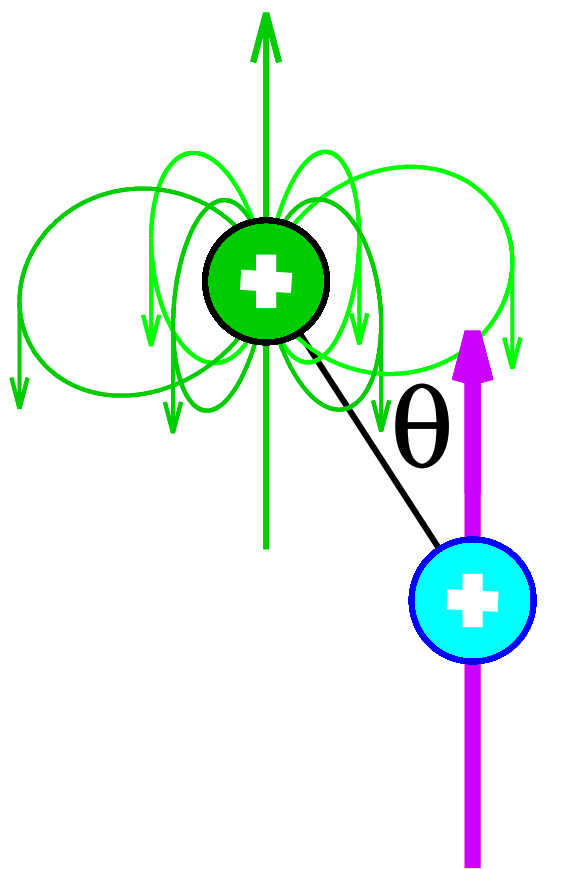
10 ppm

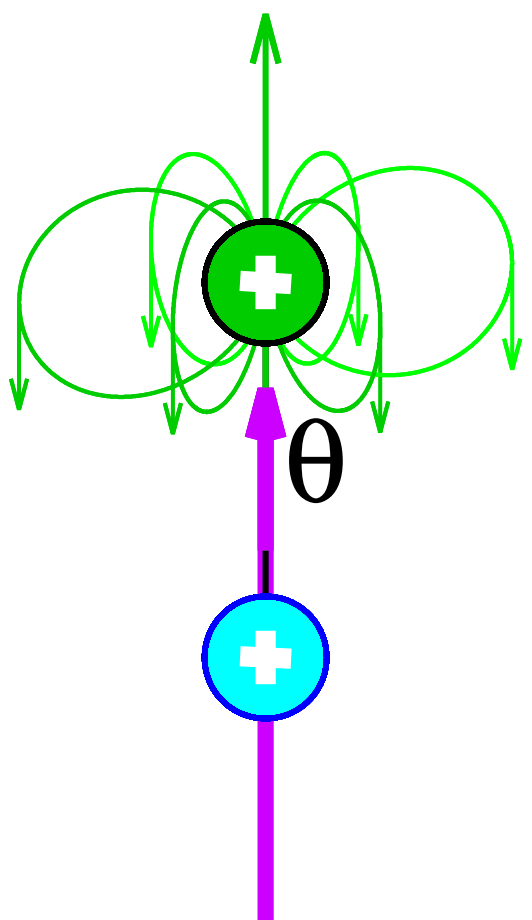
20 ppm

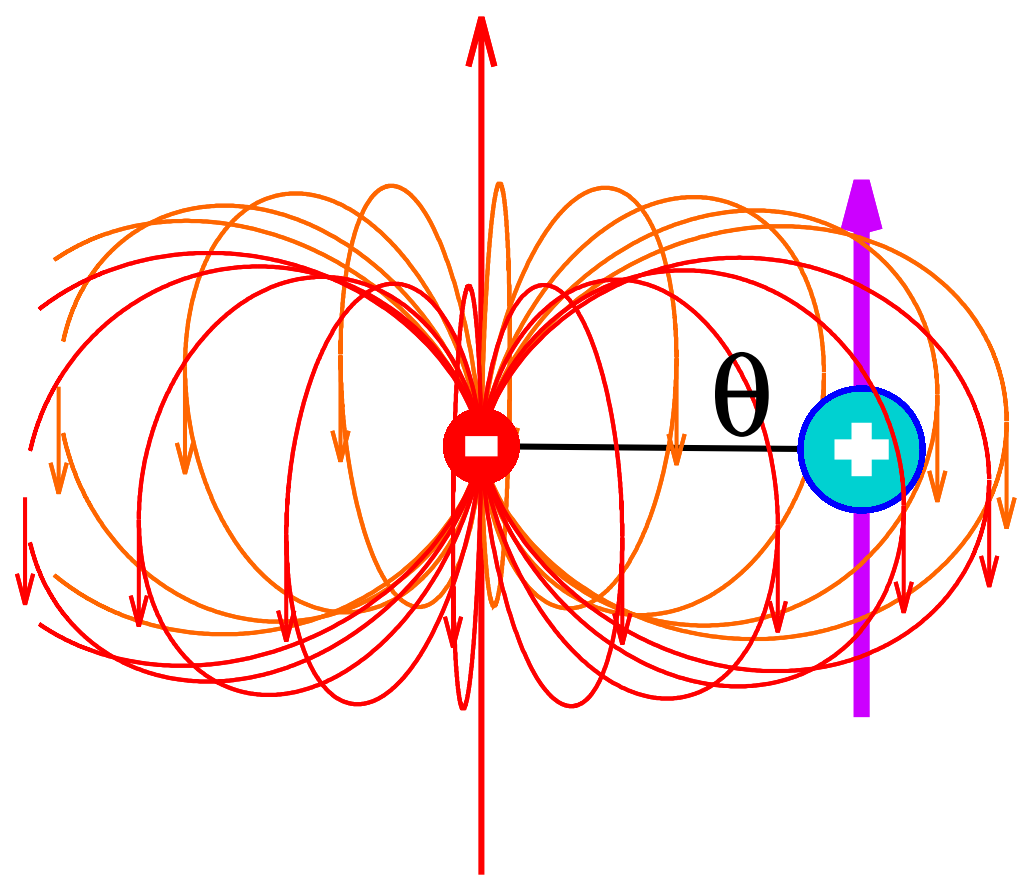
30 ppm

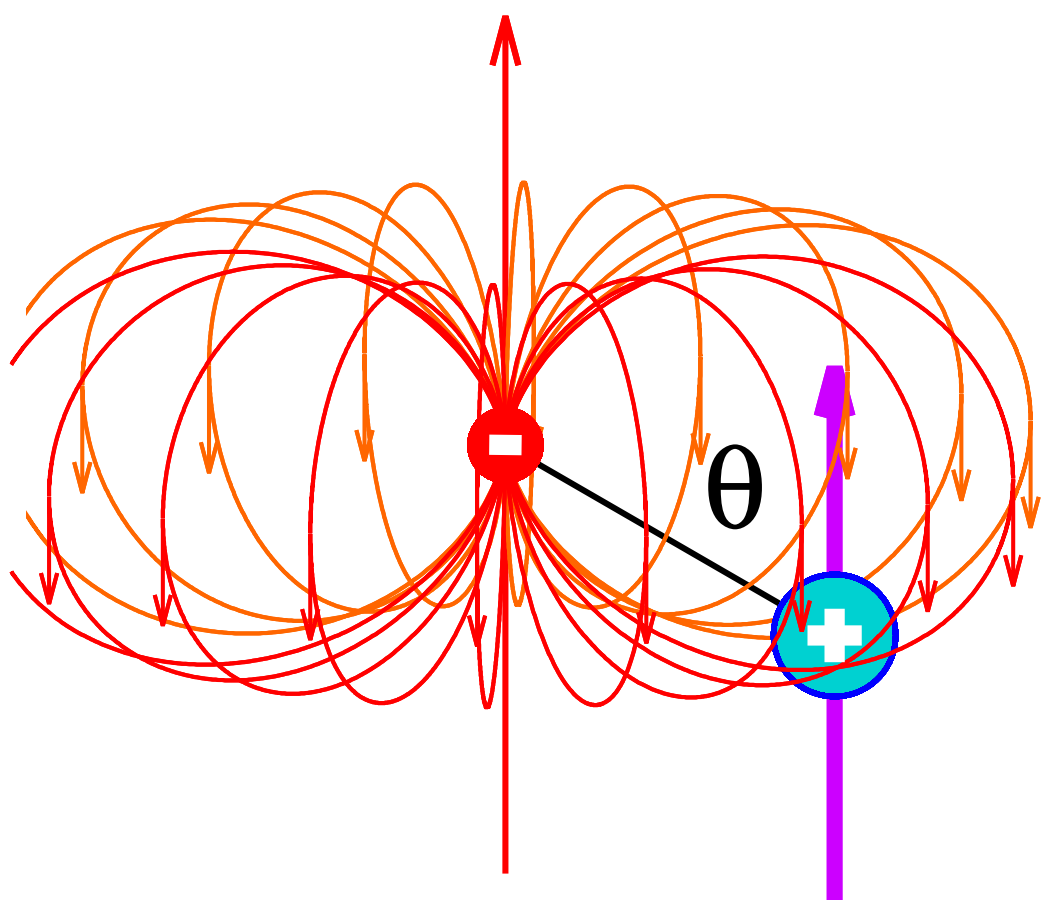


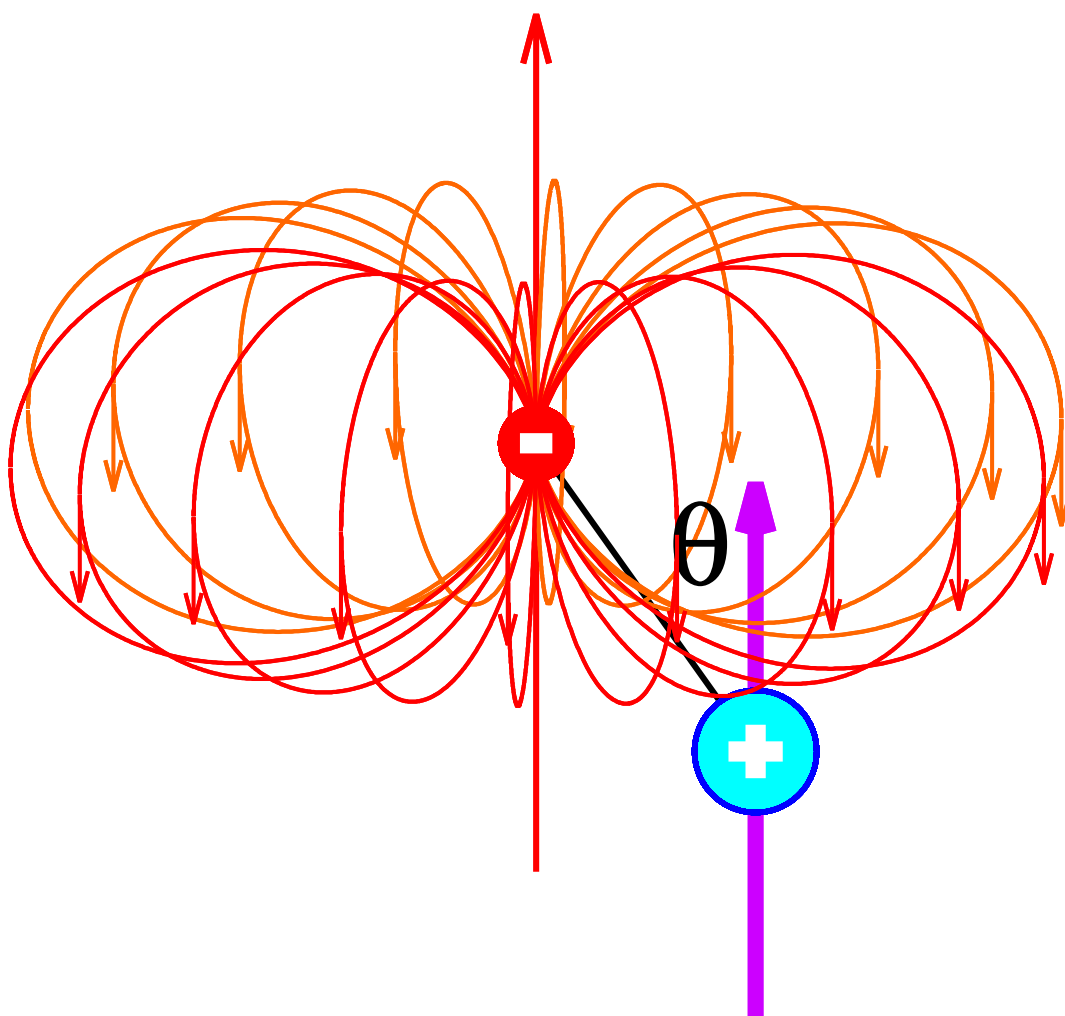


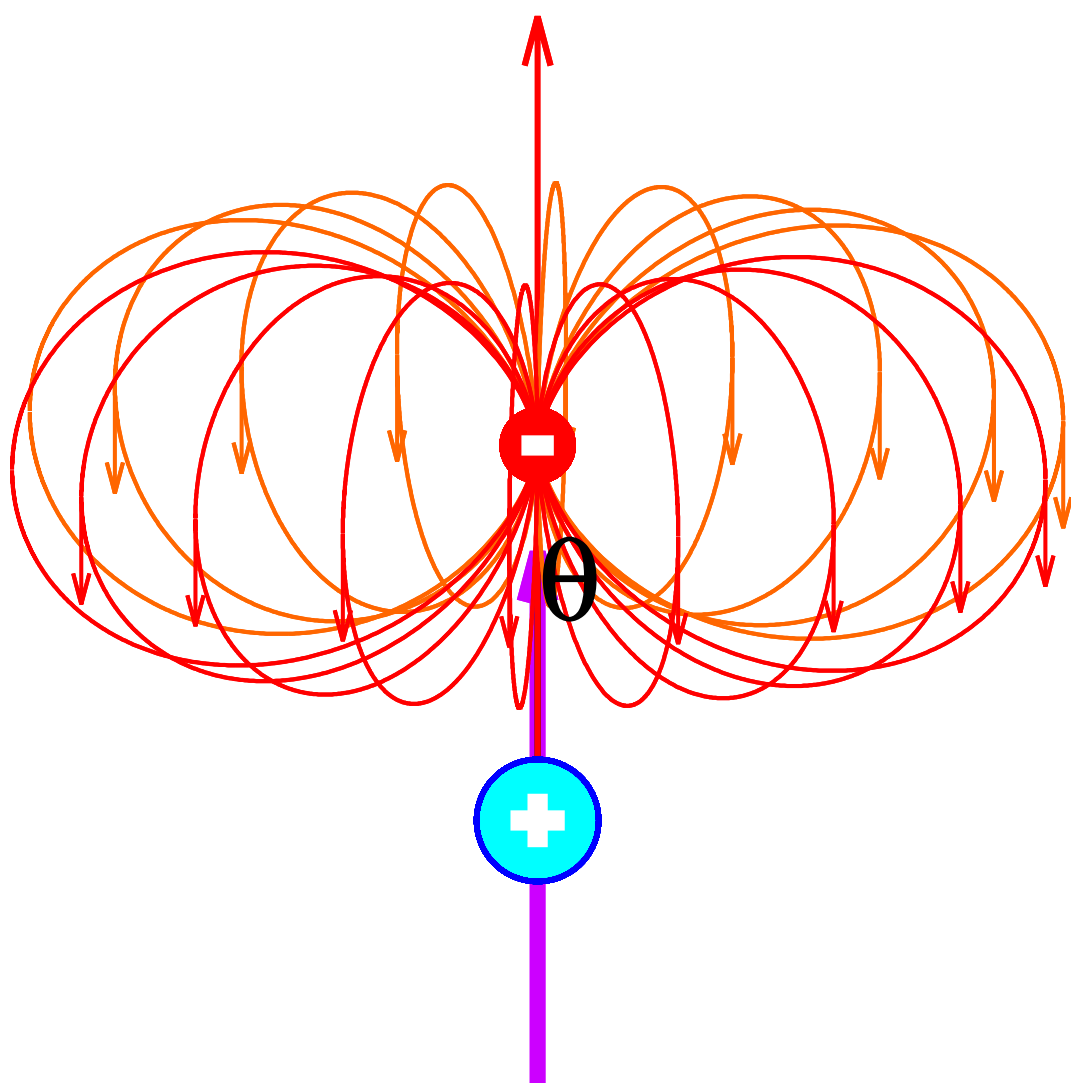


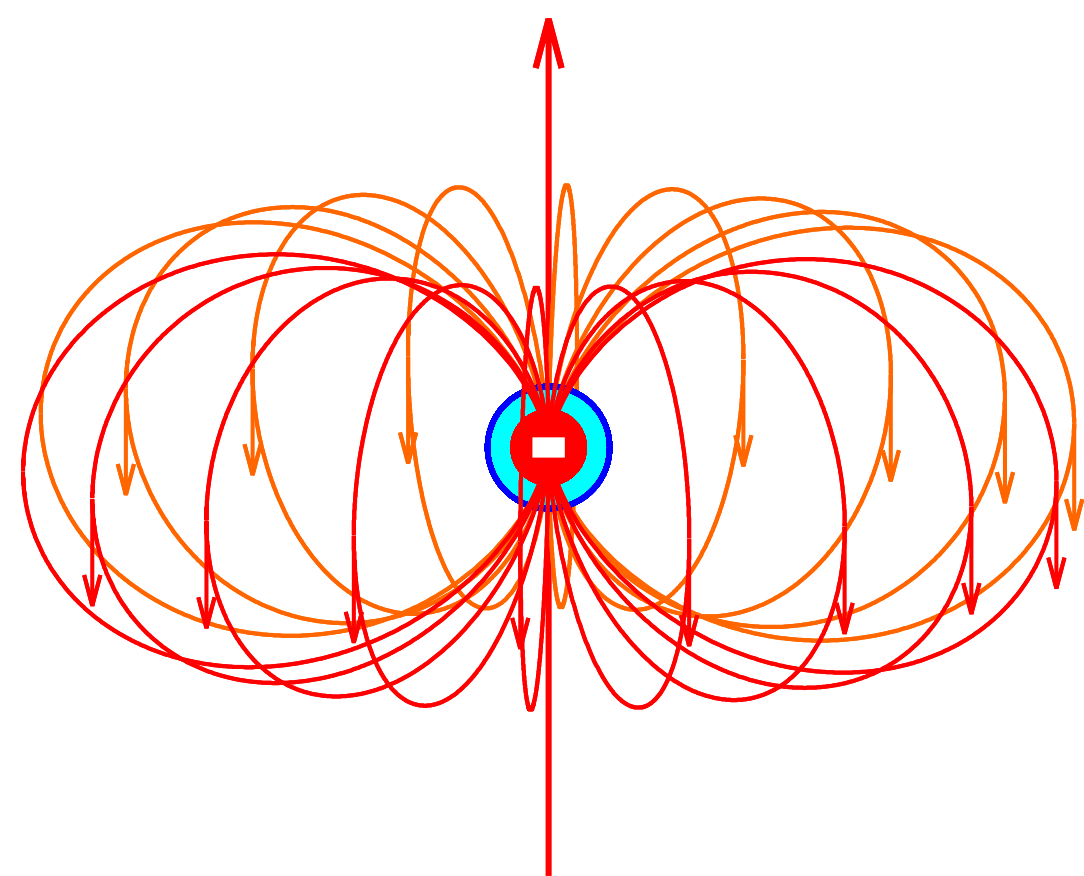




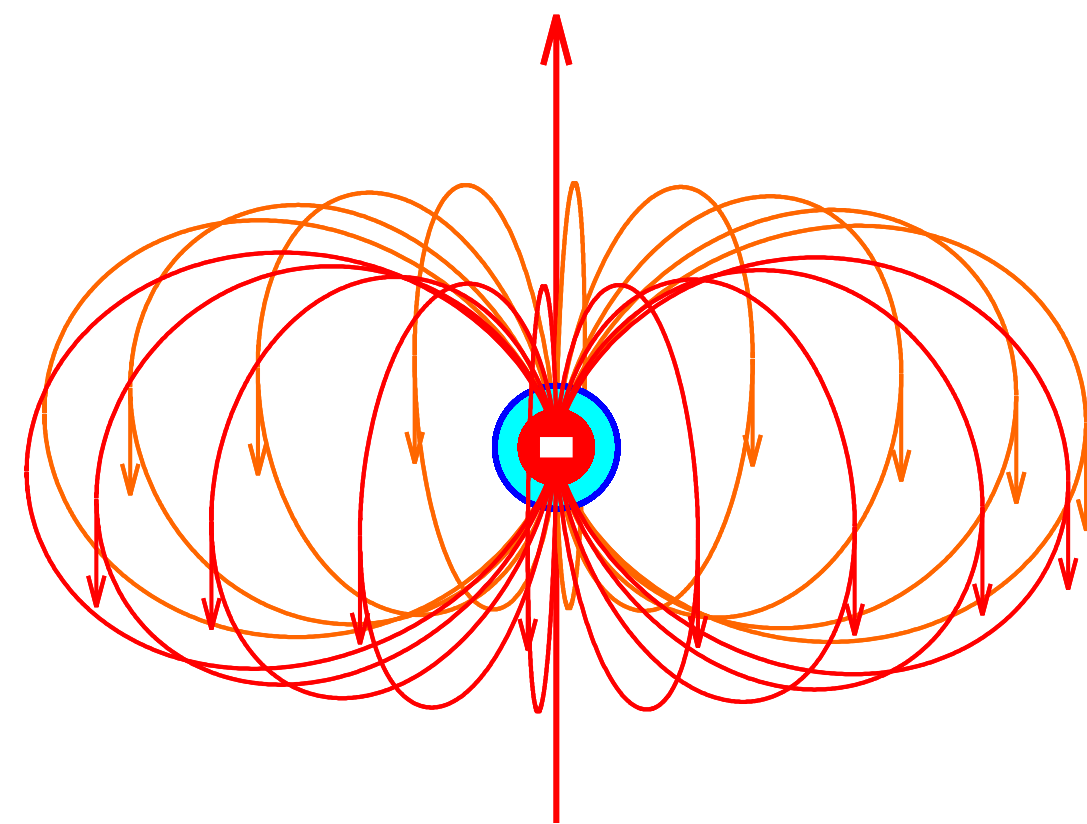


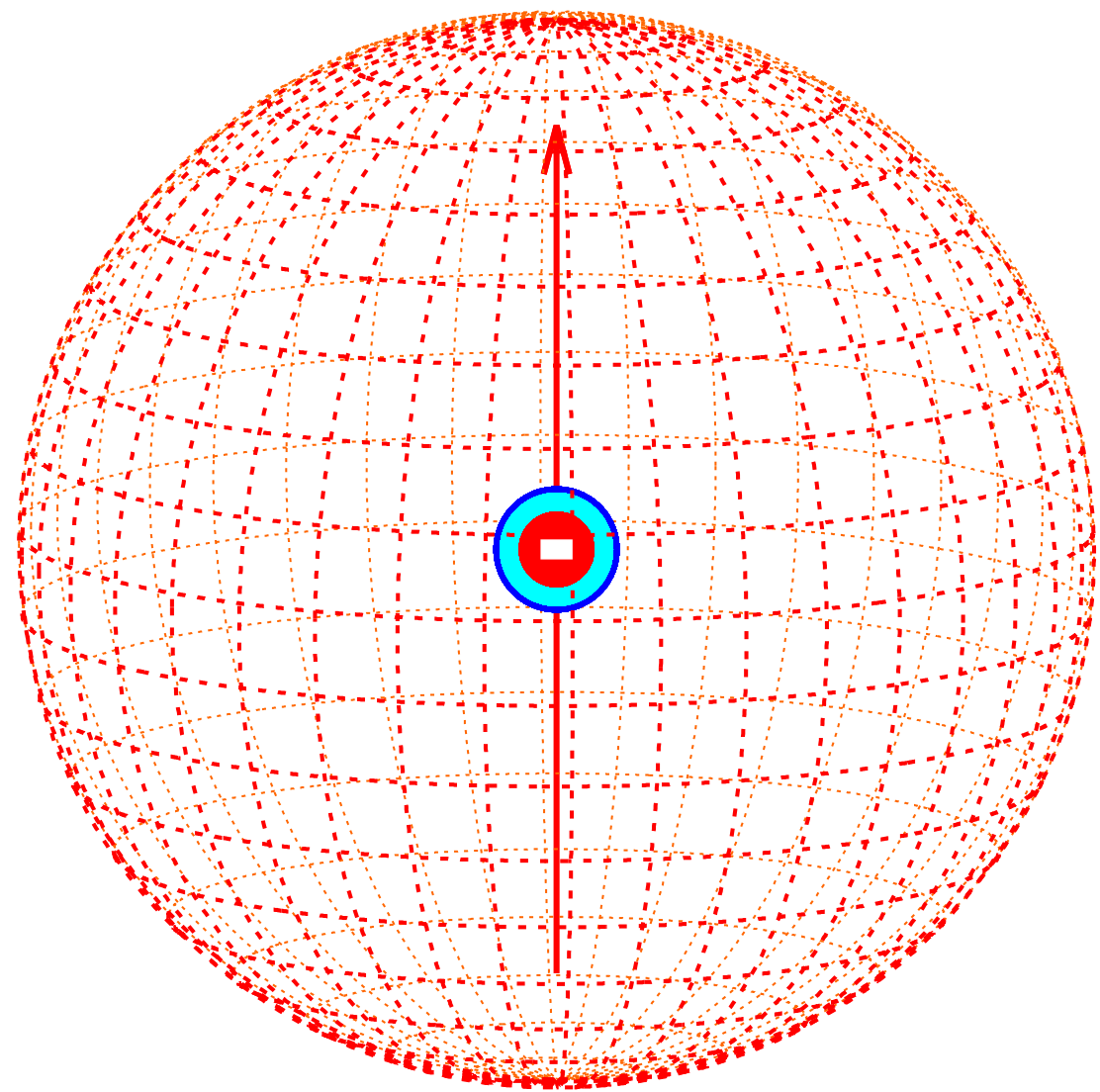


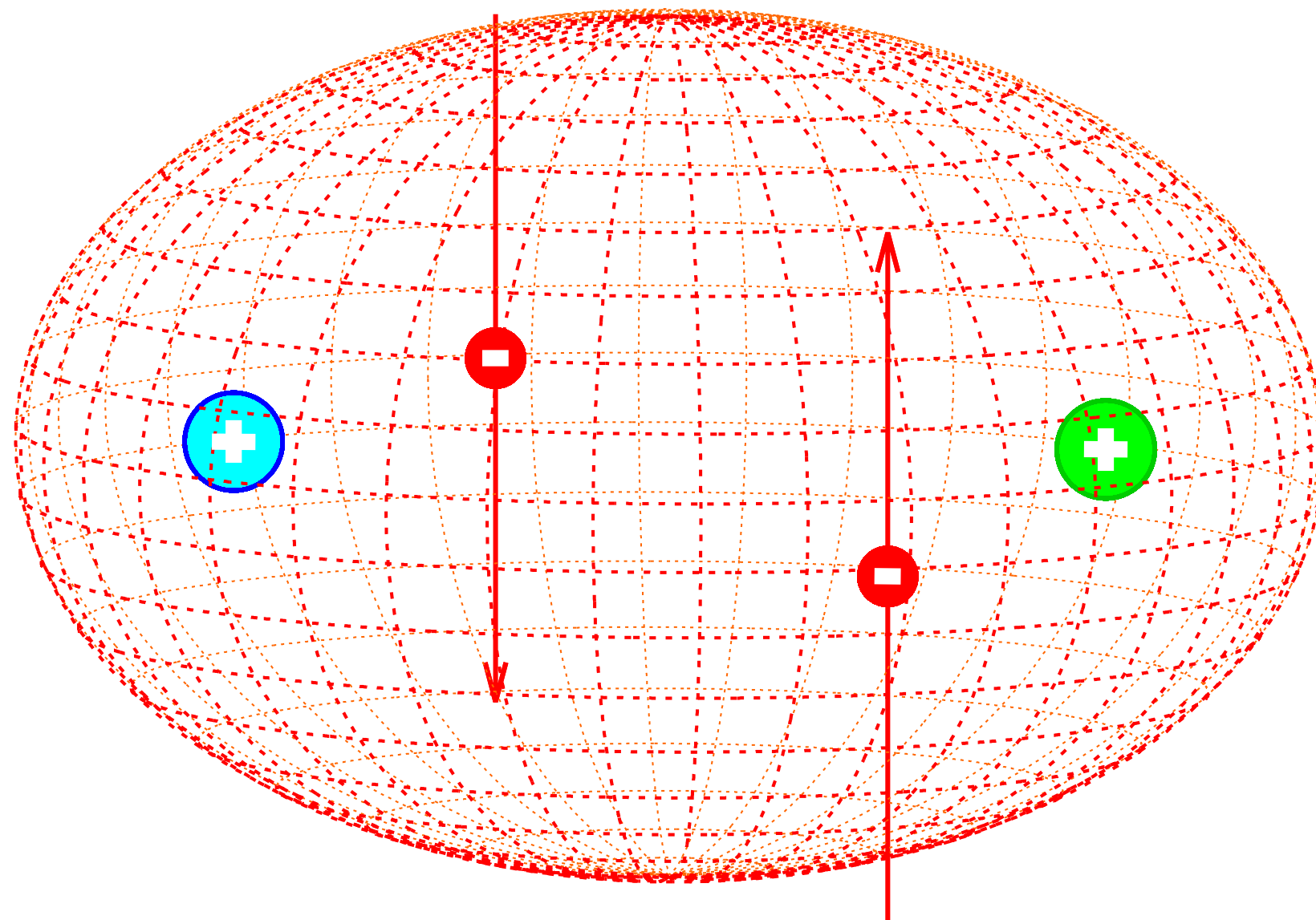


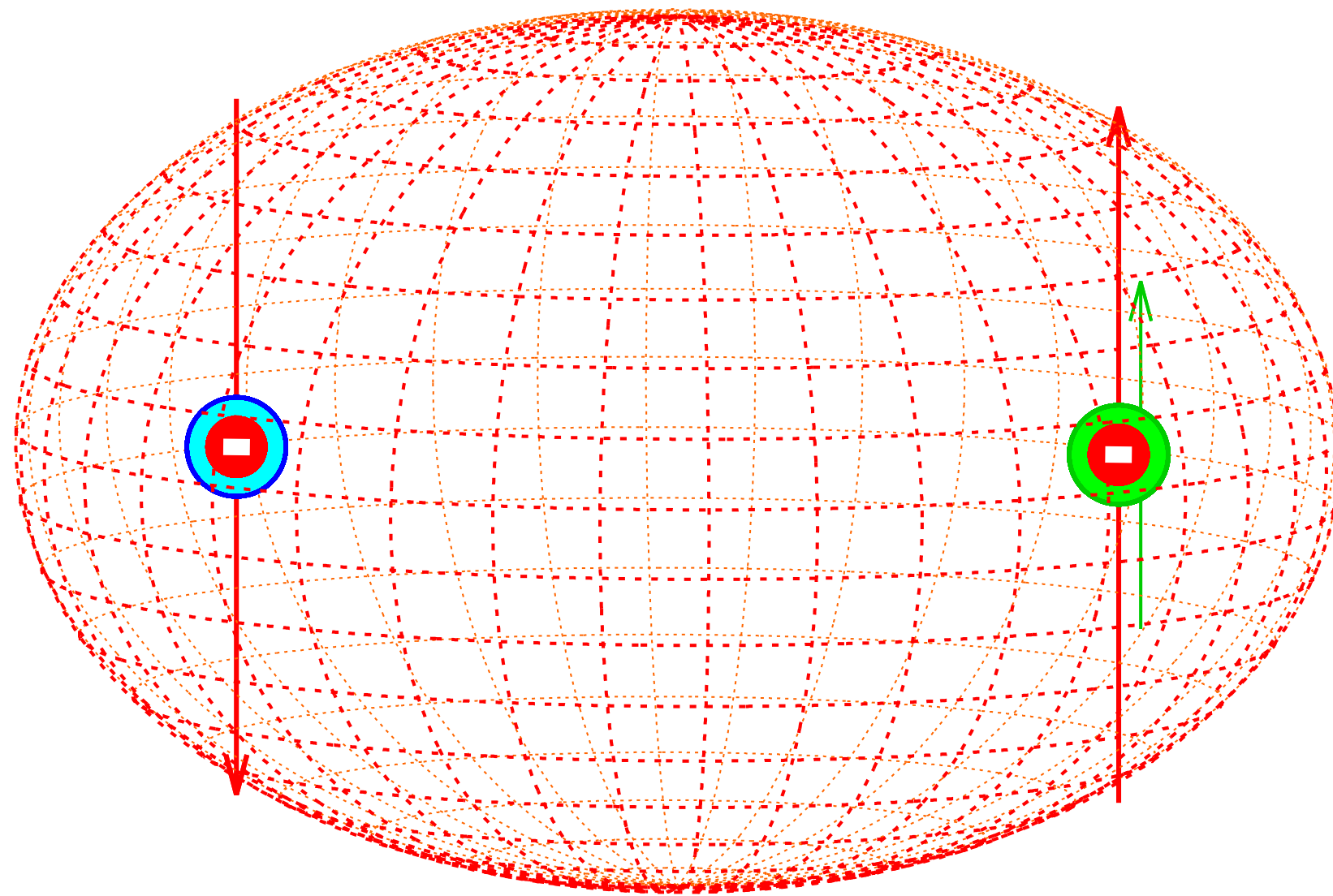


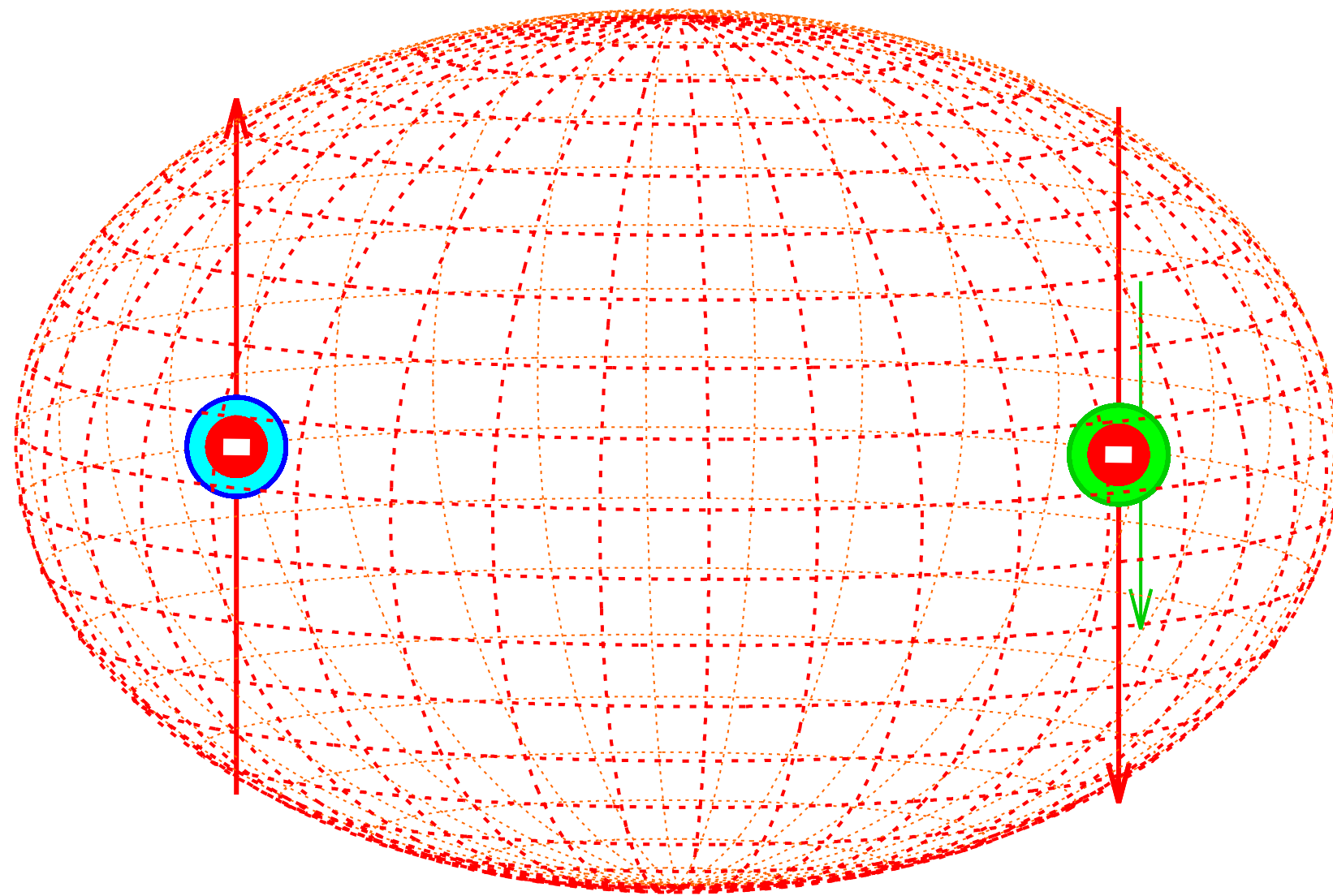
$$E = -\vec{\mu}_{\text{elektron}} \cdot \vec{\mu}_{\text{jádro}} \cdot P(\text{elektron v jádře})$$



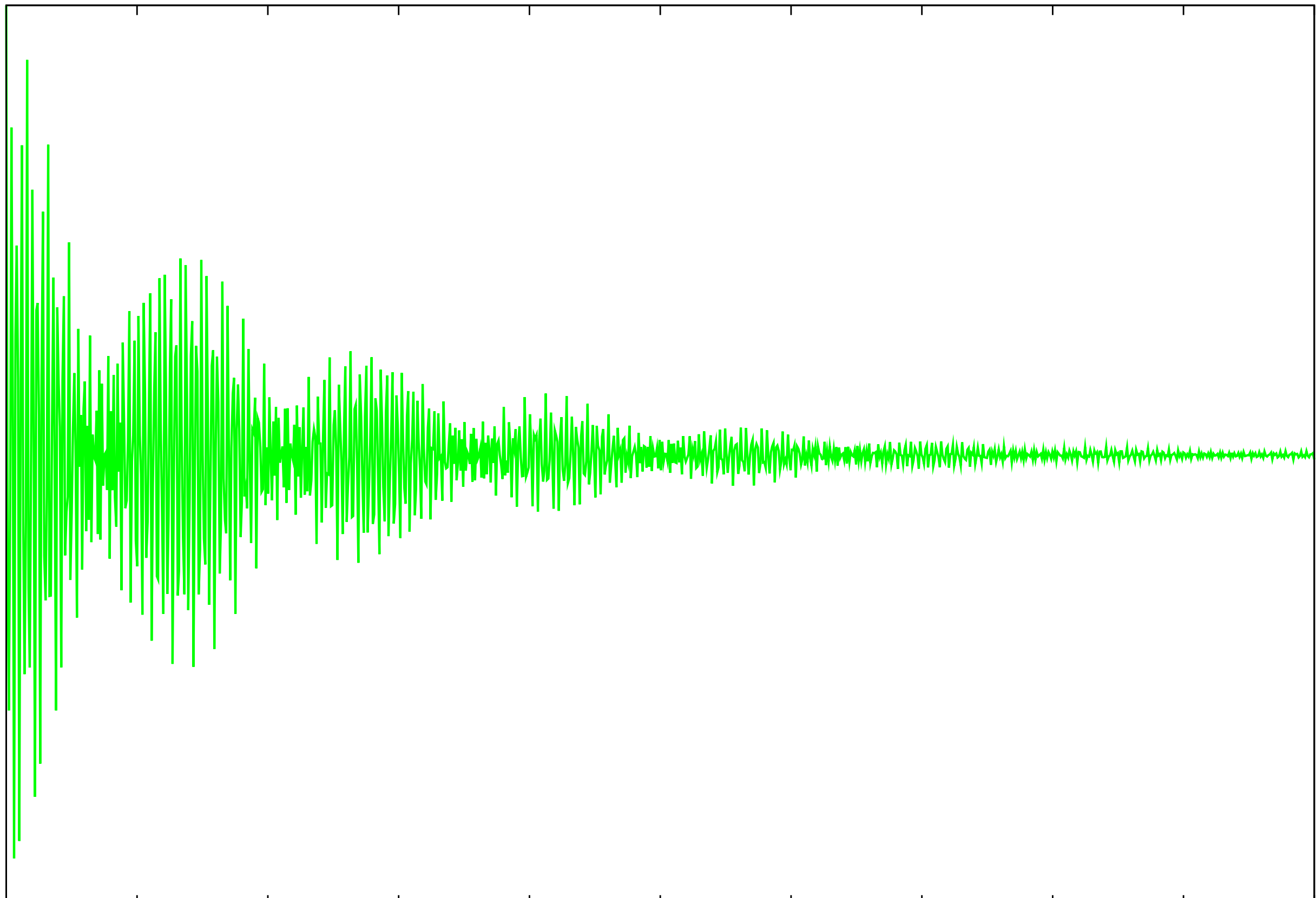






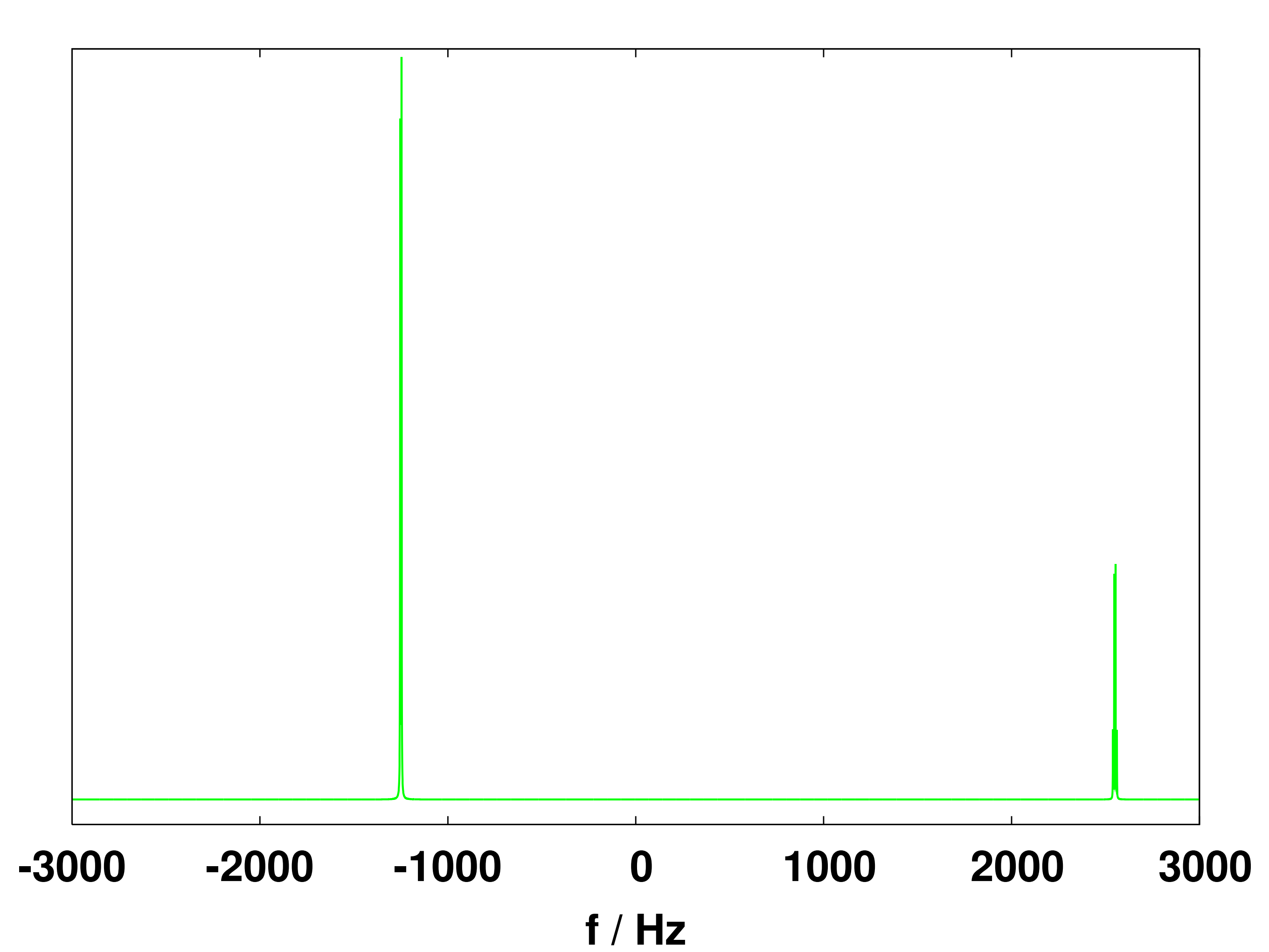


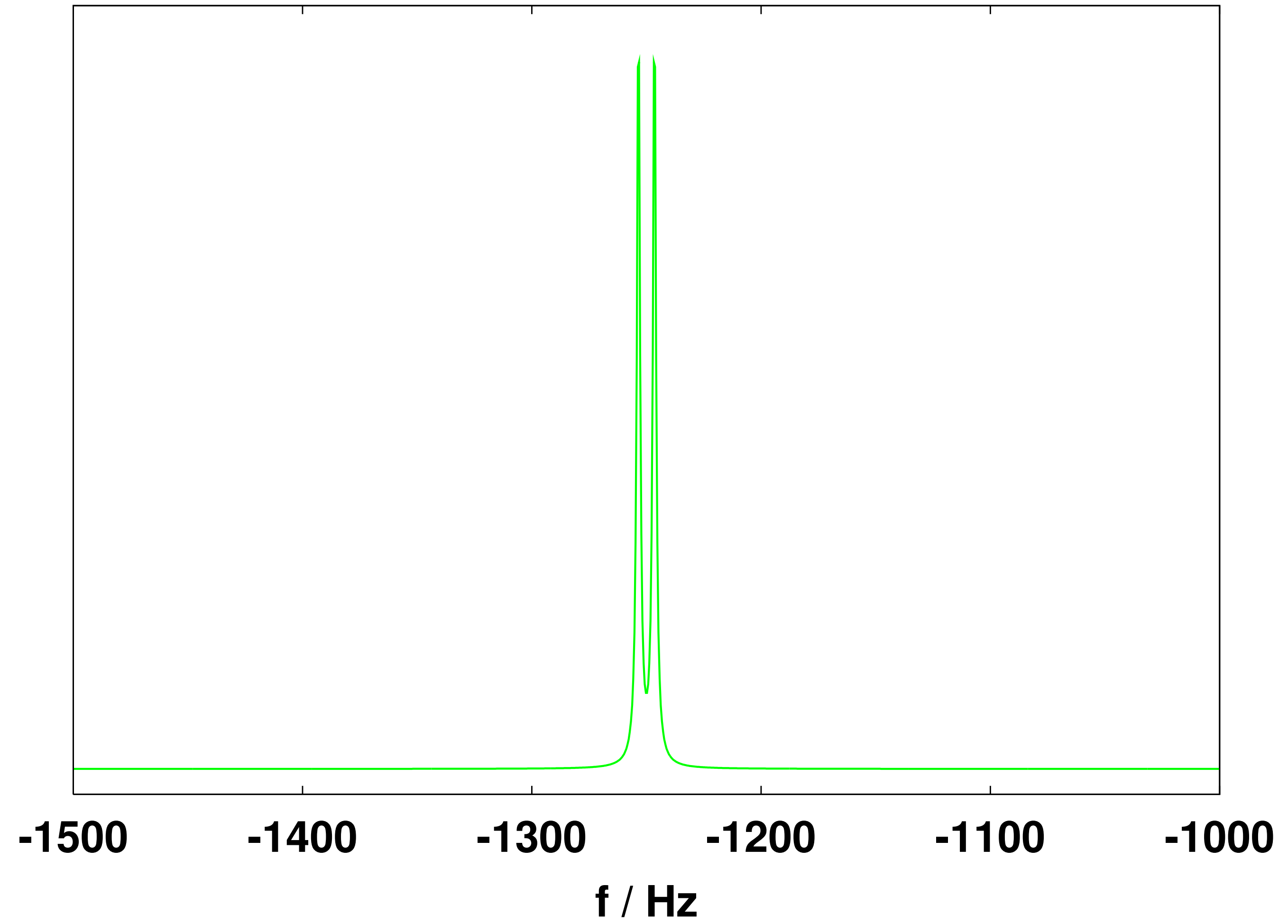
J (C–H)	130–230 Hz
J (N–H)	90 Hz
J (C–C)	35–55 Hz
J (N–C)	10–15 Hz
J (H–C–H)	14 Hz
J (H–C–C–H)	0–14 Hz
	závisí na torzním úhlu

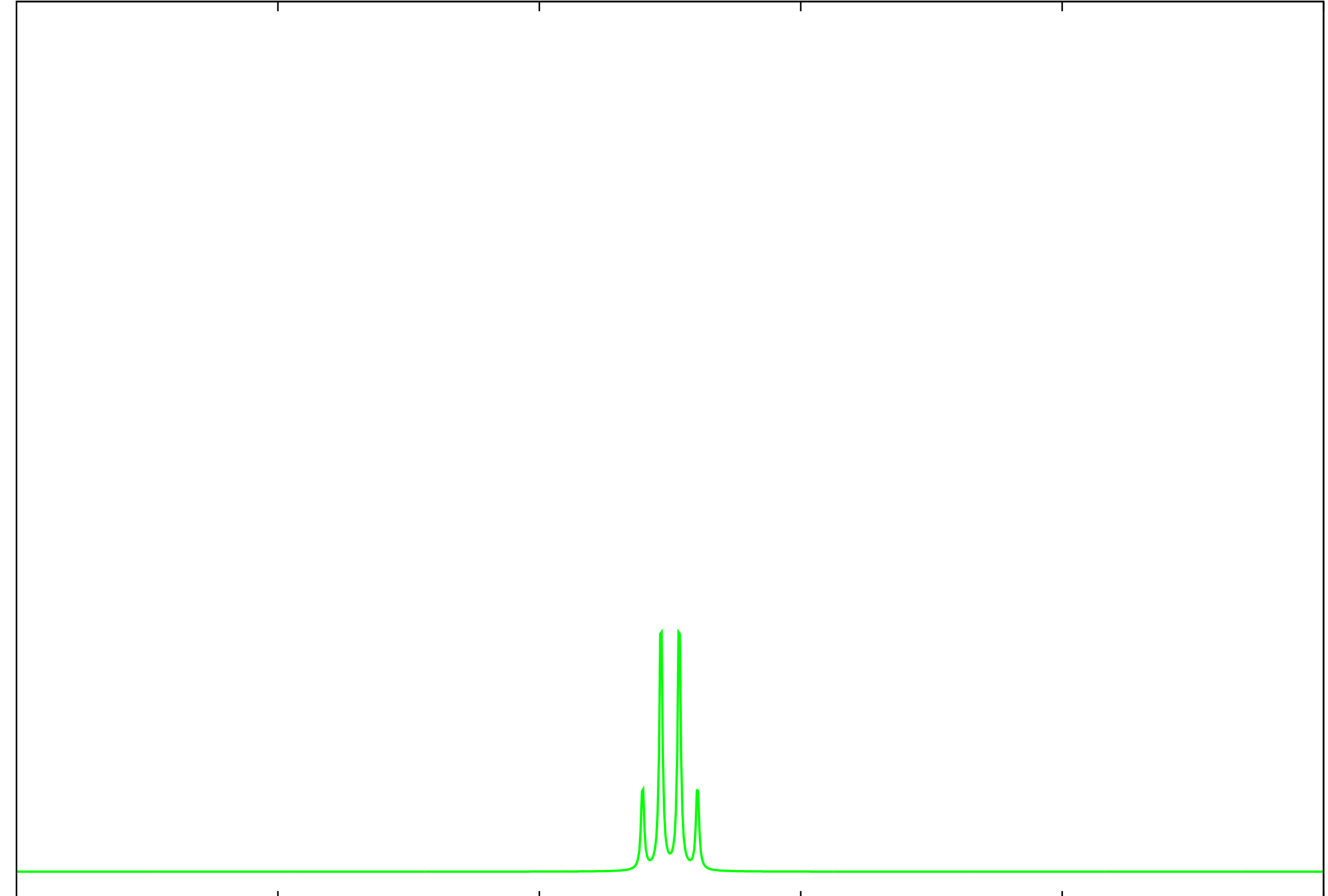


0 0.1 0.2 0.3 0.4 0.5 0.6 0.7 0.8 0.9 1

t / s







2300

2400

2500

2600

2700

2800

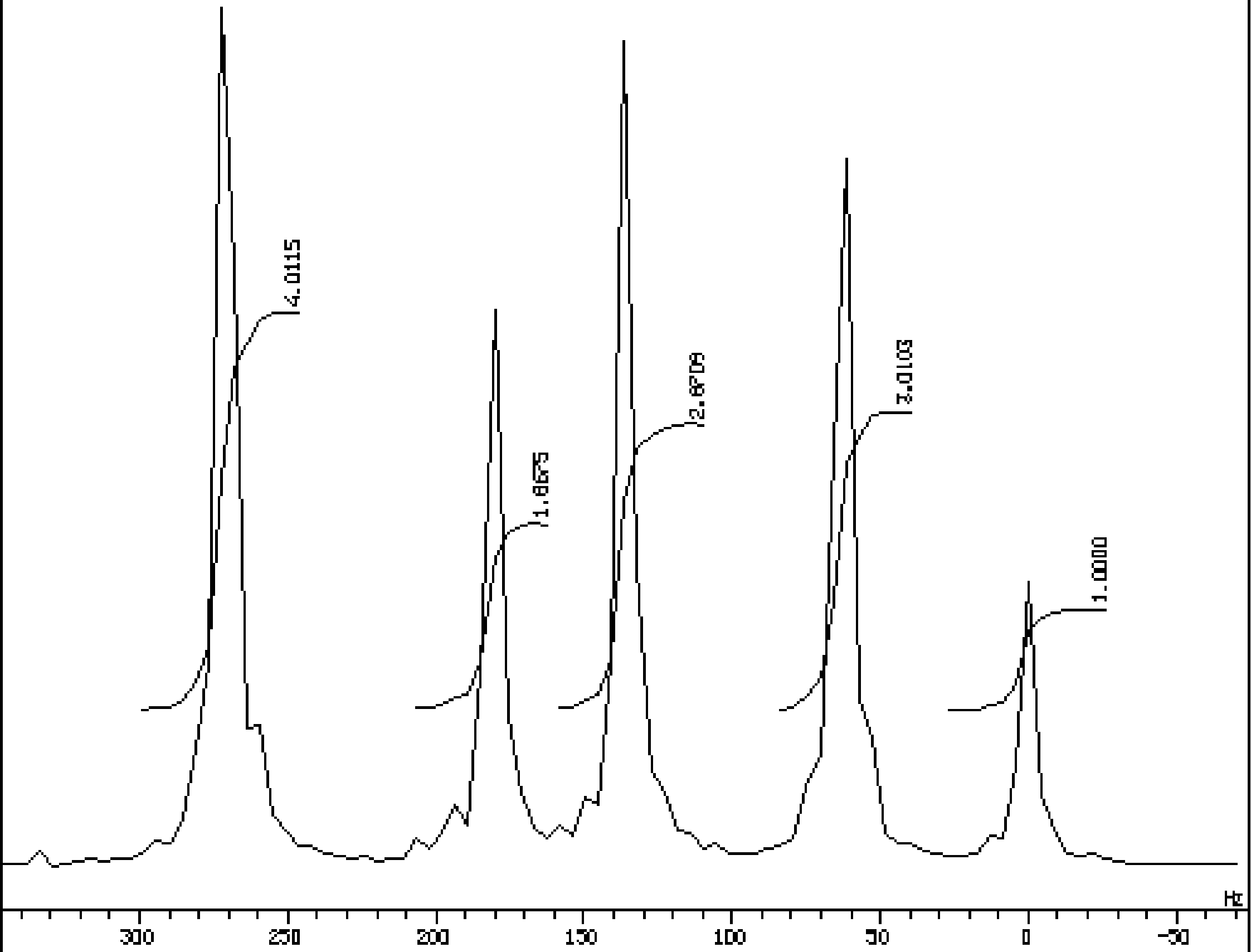
f / Hz

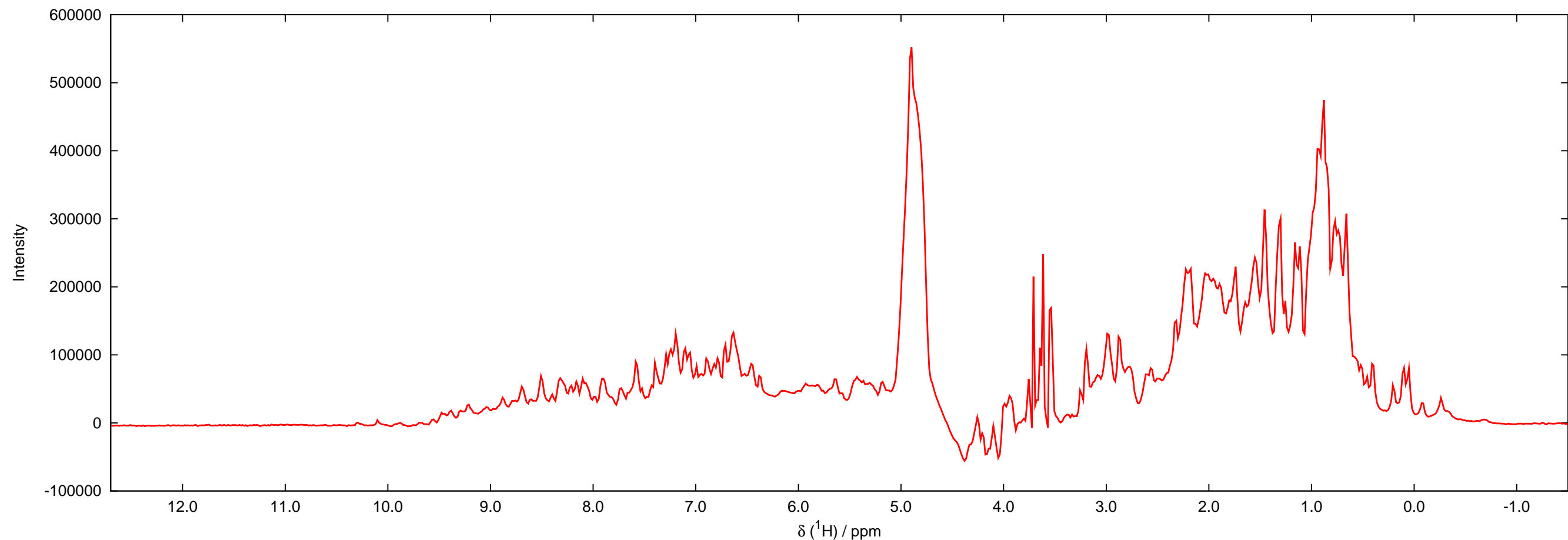
Acetaldehyd

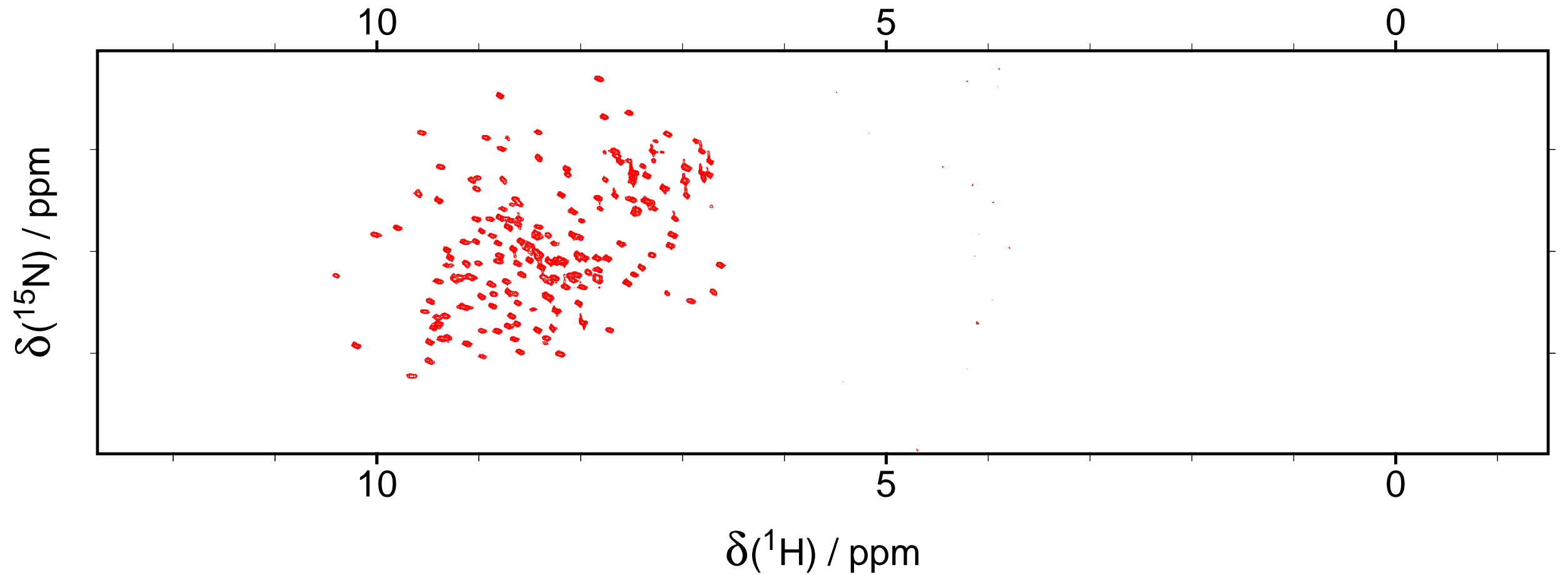
Methyl acetaldehydu

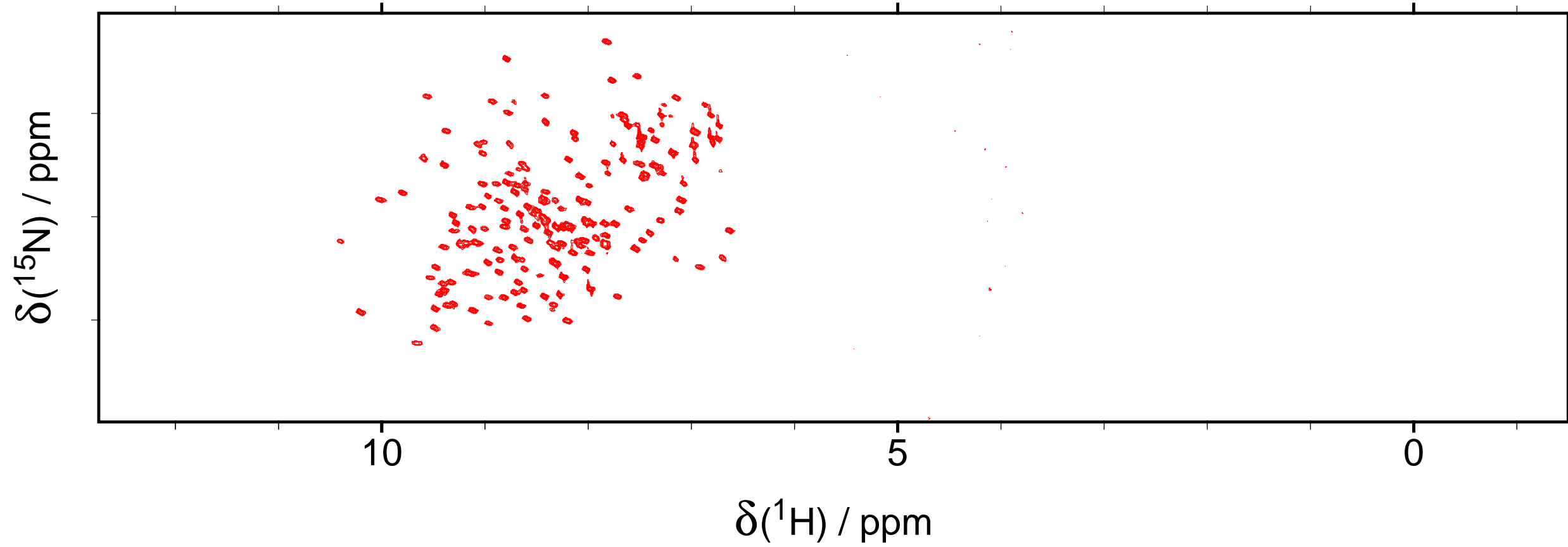
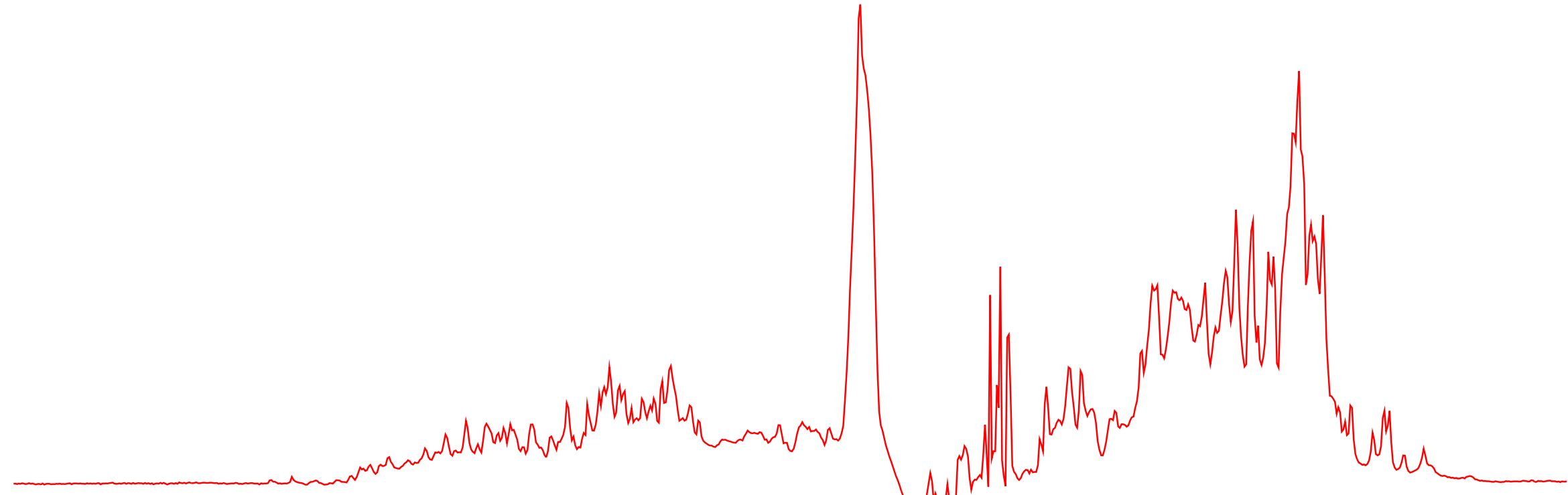
Hänschen klein

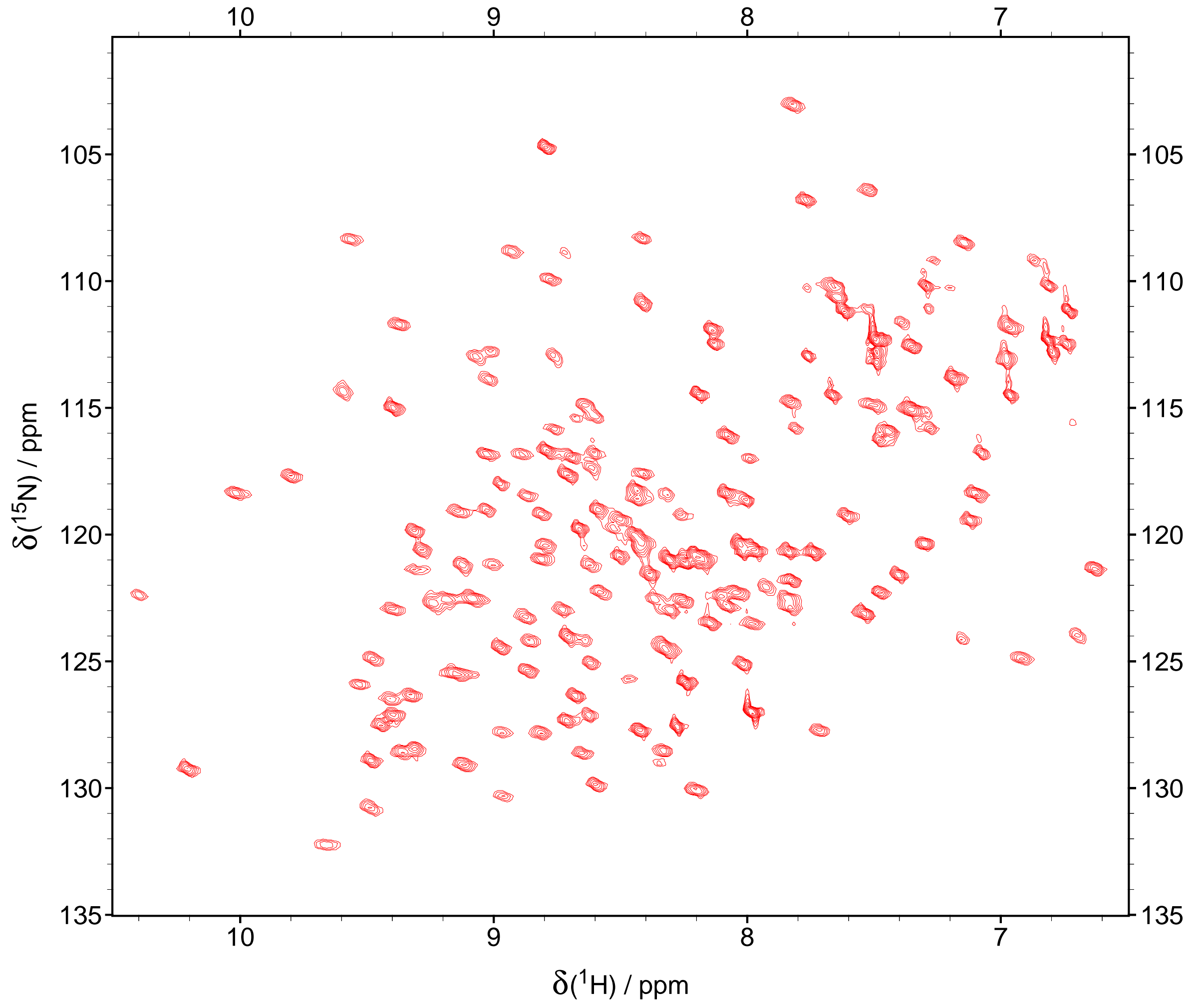
12-AUG-1996 19:16:29.54
SFILE :HANS
EXHOD :HANS
IRHOD :NON
POINT : 2048
SAMPO : 2048
FREQU : 5000.00 Hz
FILTR : 4300 Hz
SCANS : 1
DURATY : 0
ACQTY : 0.1275 sec
PO : 2.7232 sec
RGAIN : 10
PH1 : 1.00 usec
DRHUC : 1H
DRFRQ : 500.00 MHz
DRSET : 160200.00 Hz
IRHUC : 13C
IRFRQ : 125.65 MHz
IRGET : 127958.00 Hz
IRATN : 511
IRRPW : 50.0 usec
IRBP1 : 50
IRBP2 : 6
IRRMS : 0
TRHUC : 1H
TRFRQ : 500.00 MHz
TRGET : 162410.00 Hz
TRATN : 511
TRRPW : 50.0 usec
TRBP1 : 30
TRBP2 : 6
TRRMS : 0
CTEMP : 24.1 °
CSPEED : 11 Hz
SLVNT : C6D6
RESOL : 4.39 Hz
MNOMD : 8
BF : 0.10 Hz
OF : 0.00 Hz
PP : 840 cp
ABSP0 : -92.11 deg
ABSP1 : 0.00 deg
T1 : 0.00 s
T2 : 0.00 s
T3 : 90.00 s
T4 : 100.00 s
REFUL : 0.00 ppm
TMSP : 902
XE : 421.92 Hz
XS : -676.83 Hz
YE : 0.001]

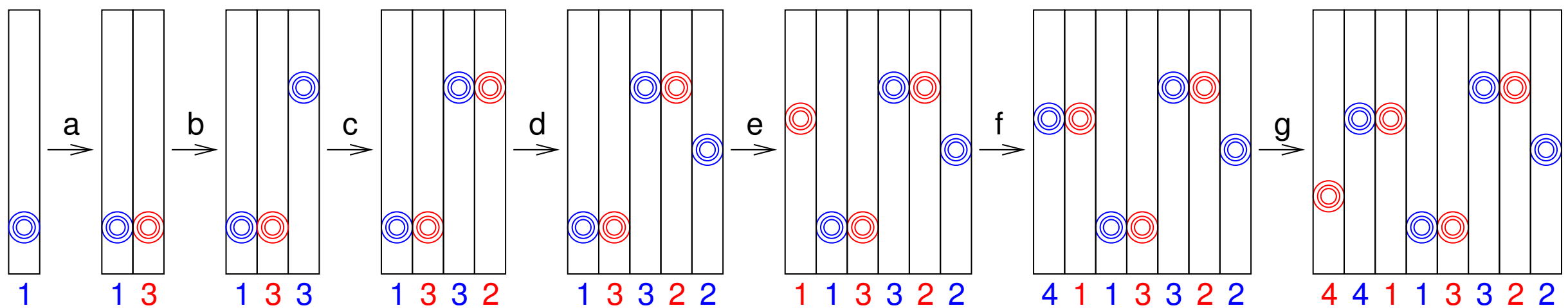
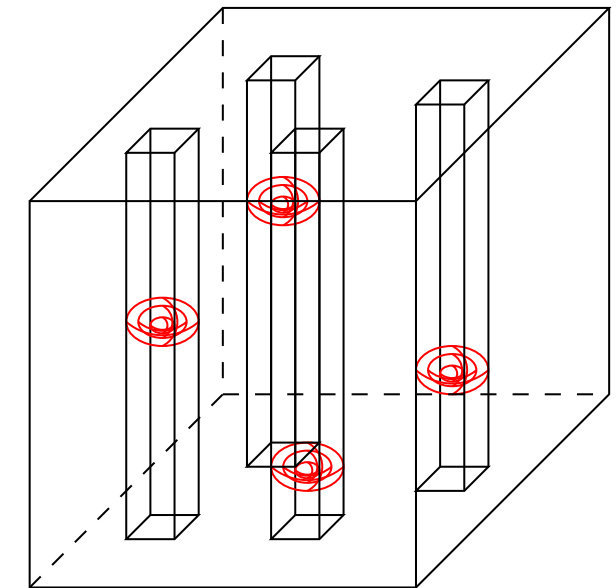
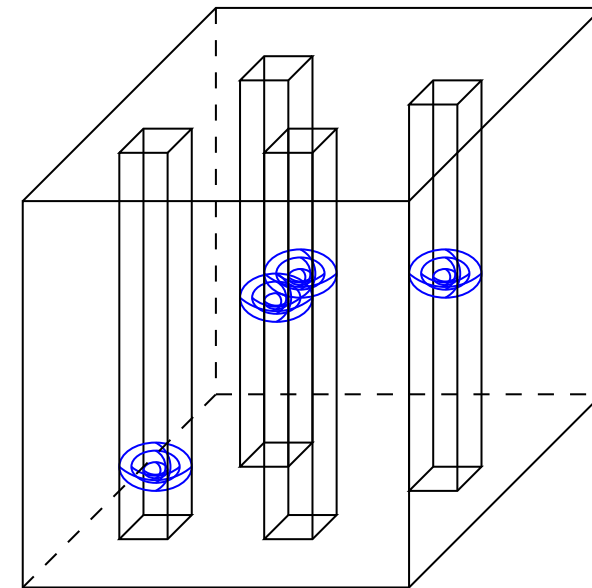
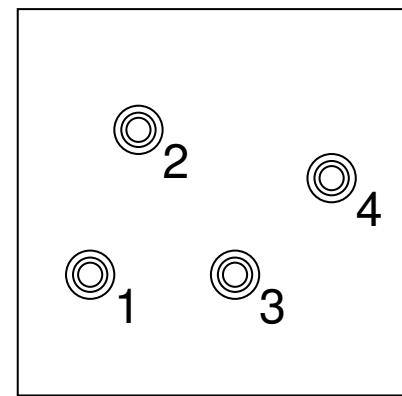
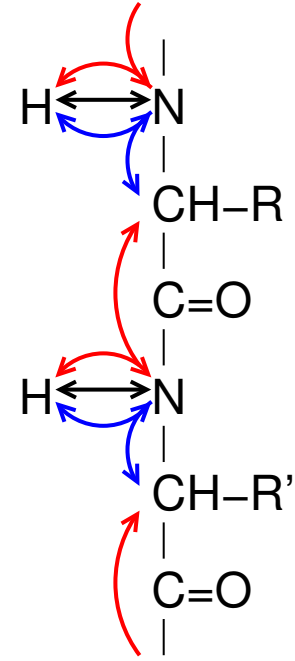


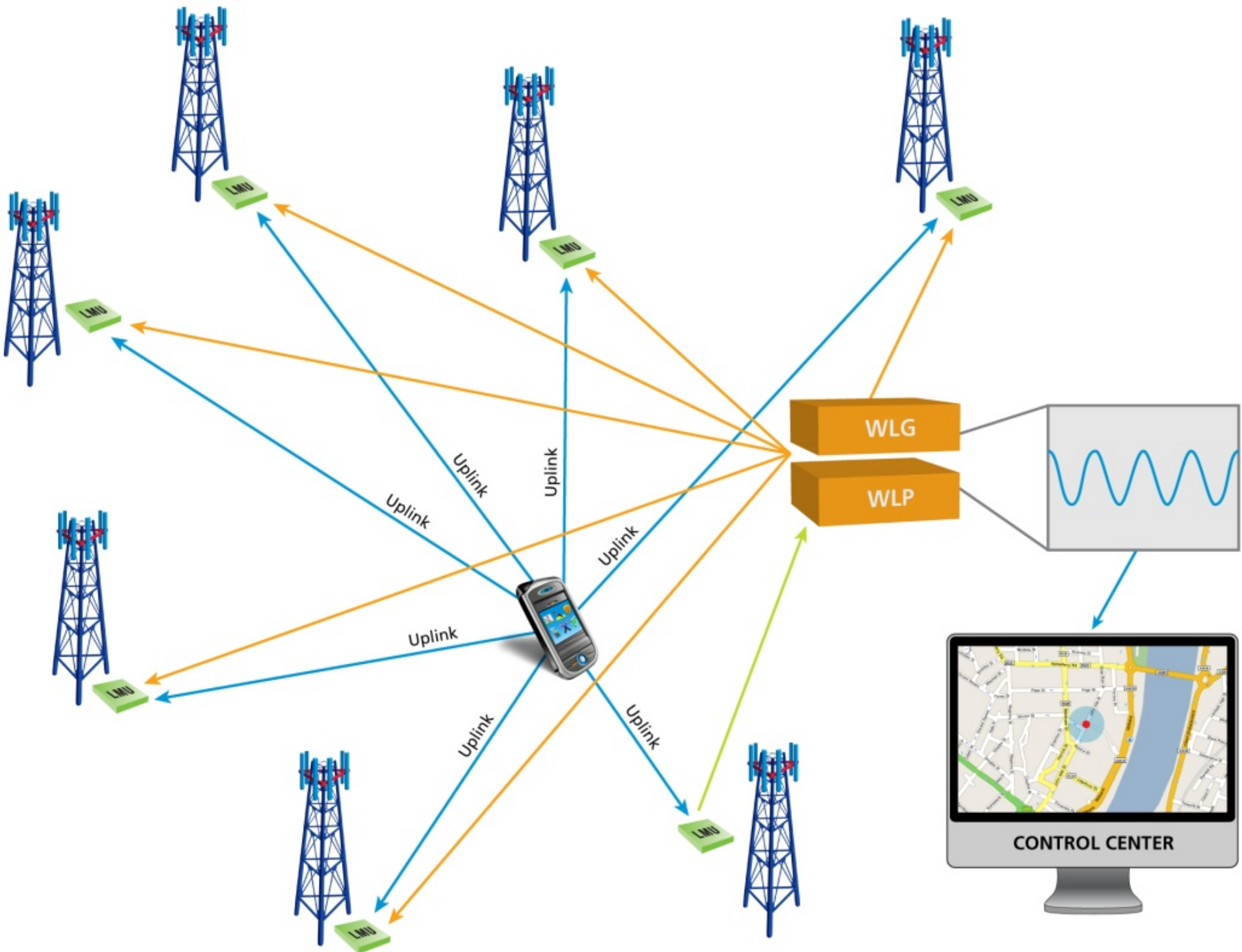


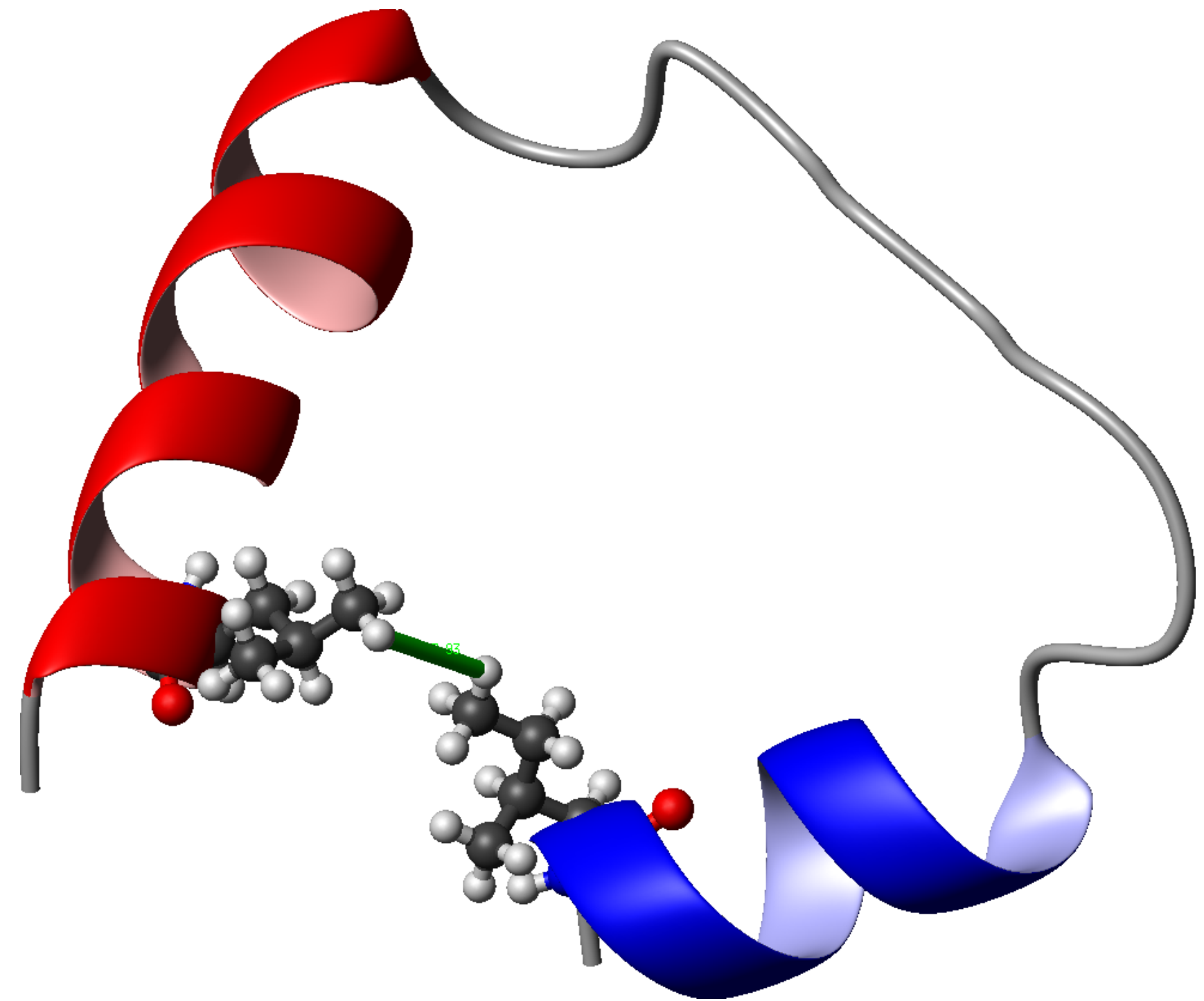


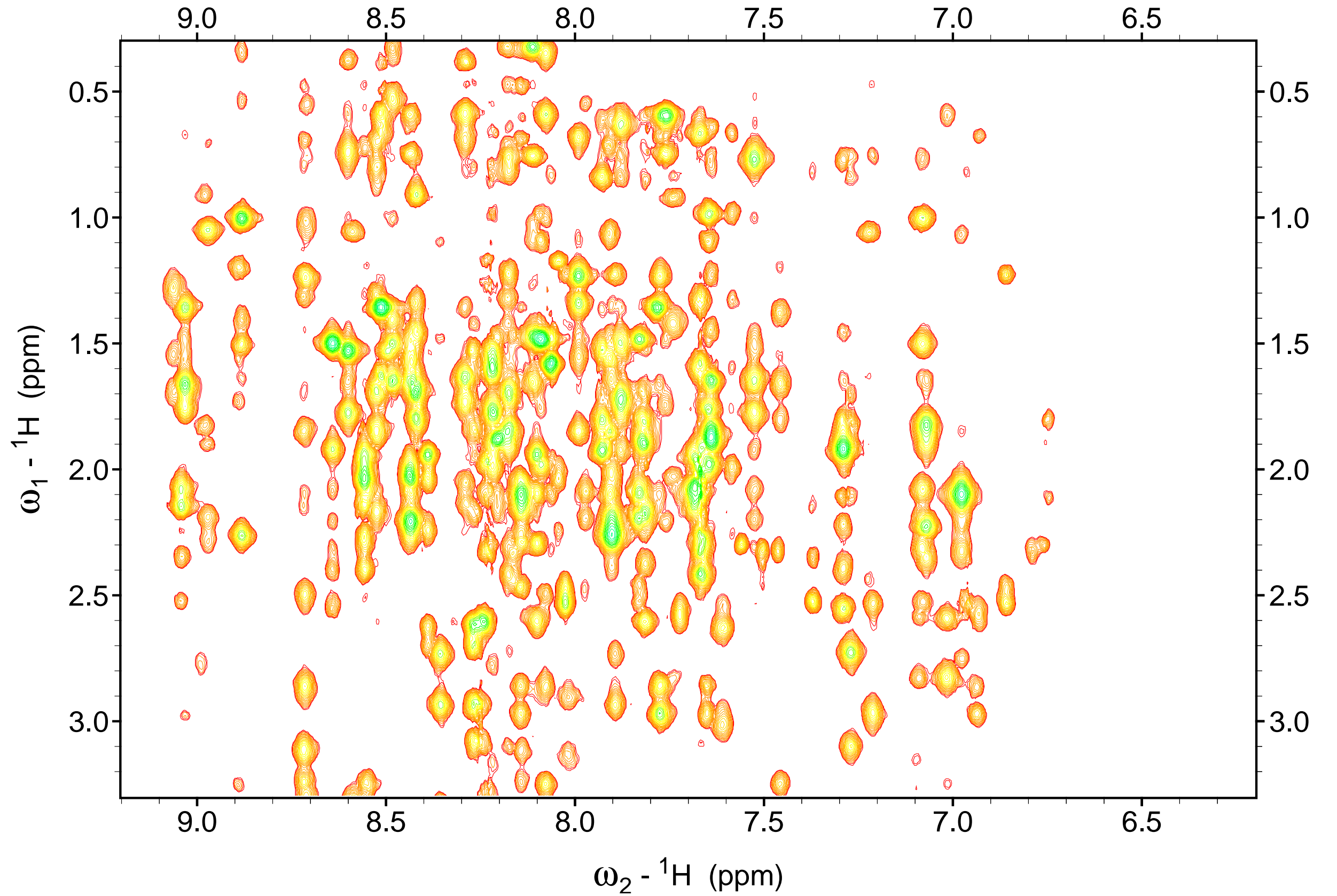


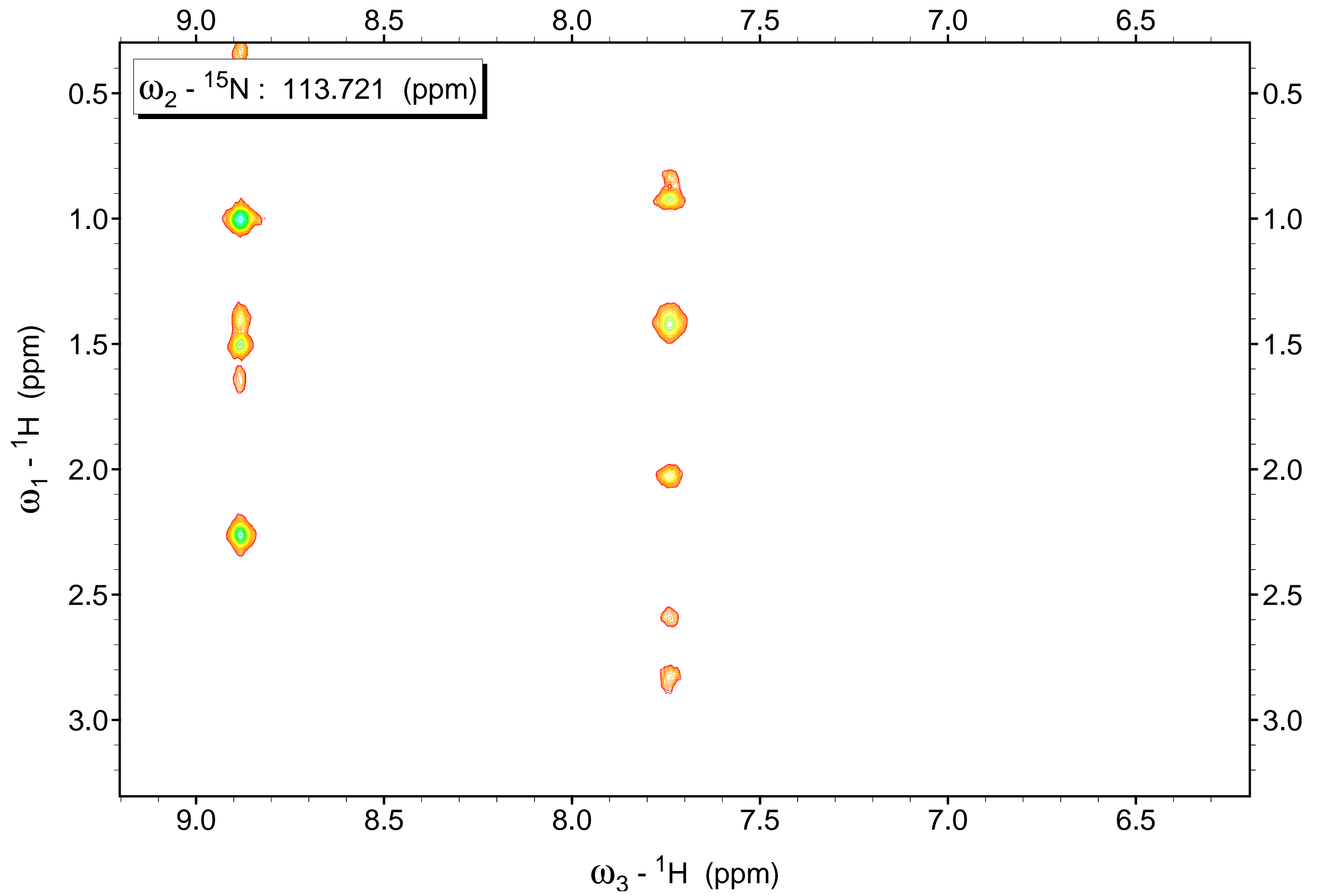


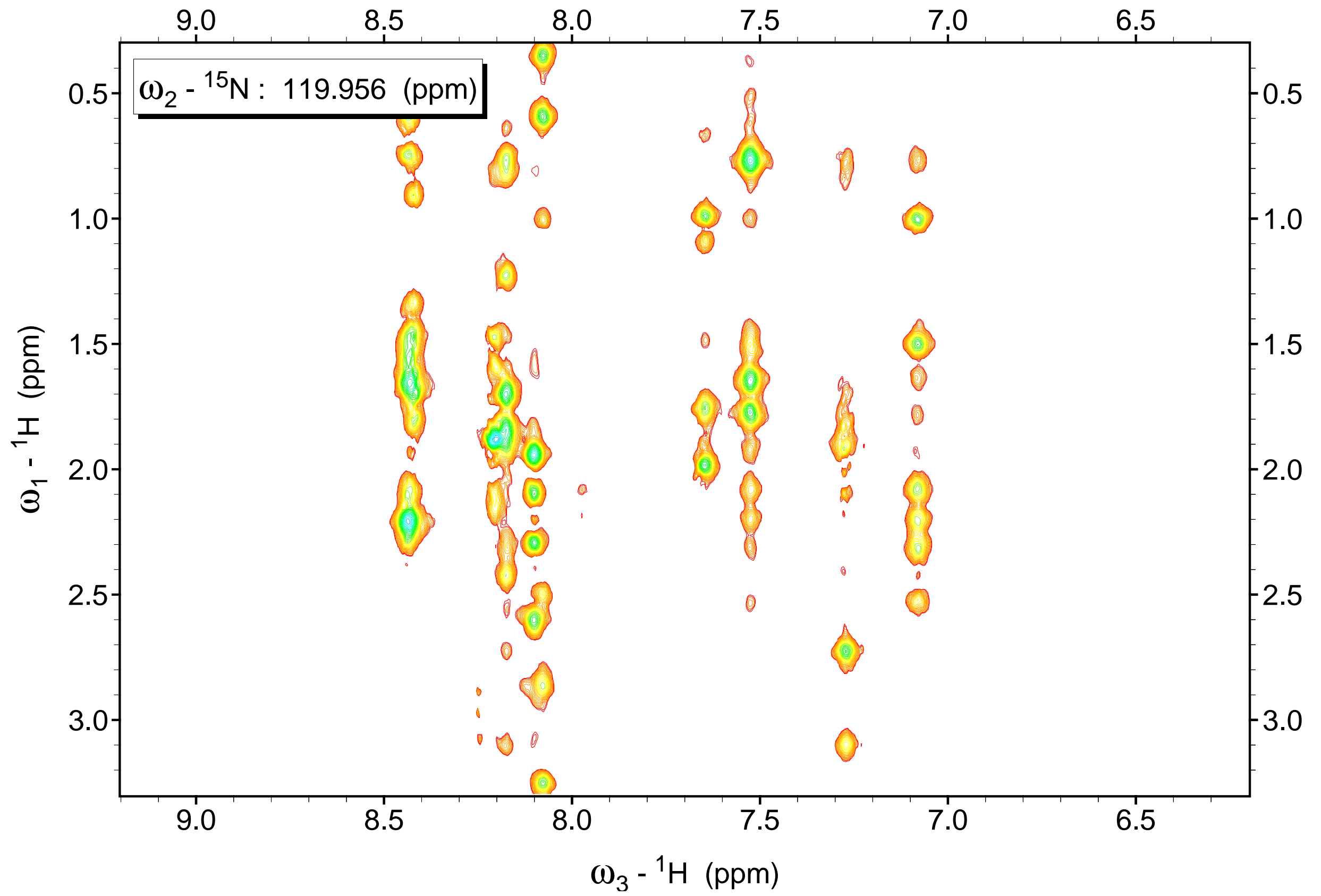


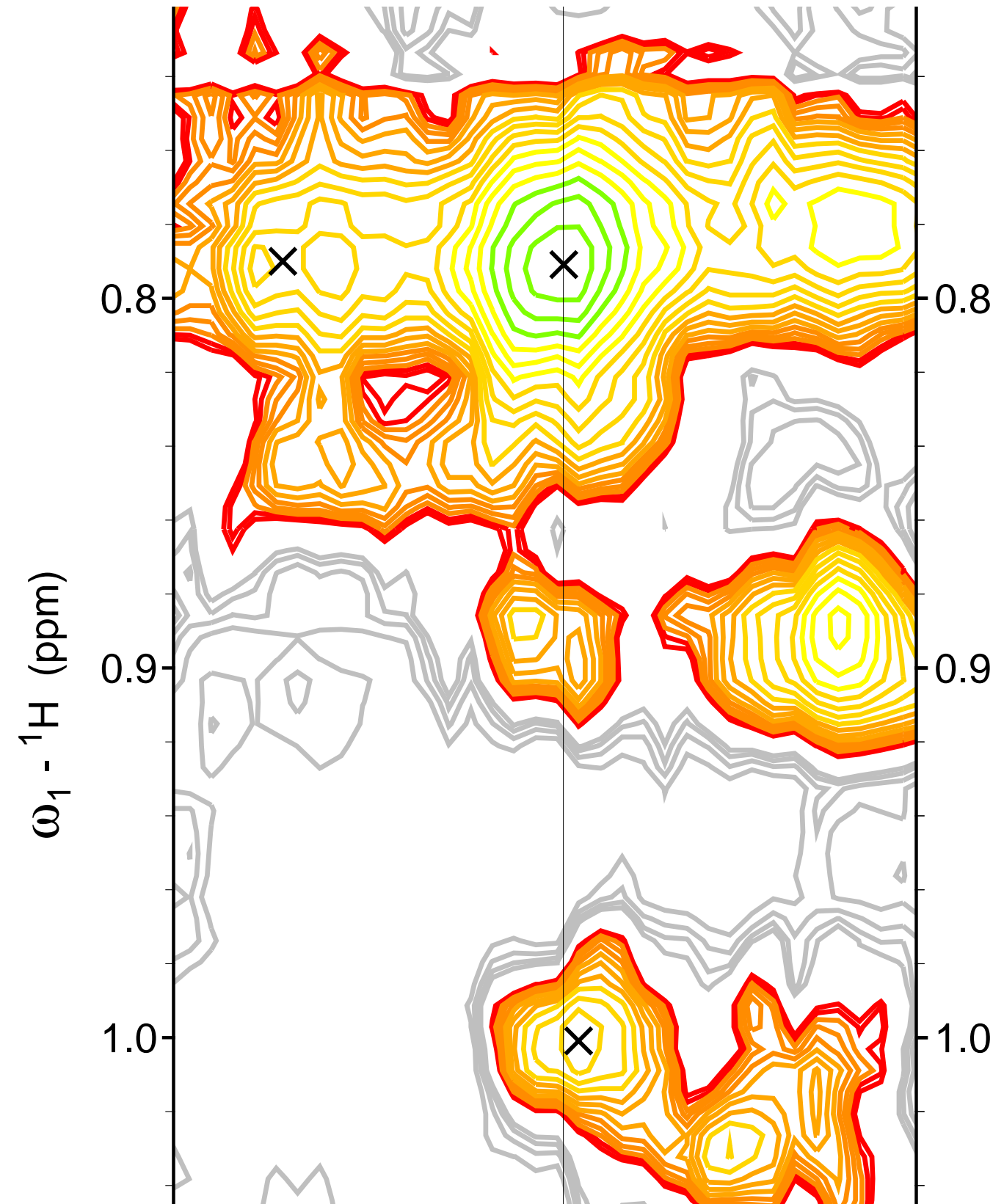


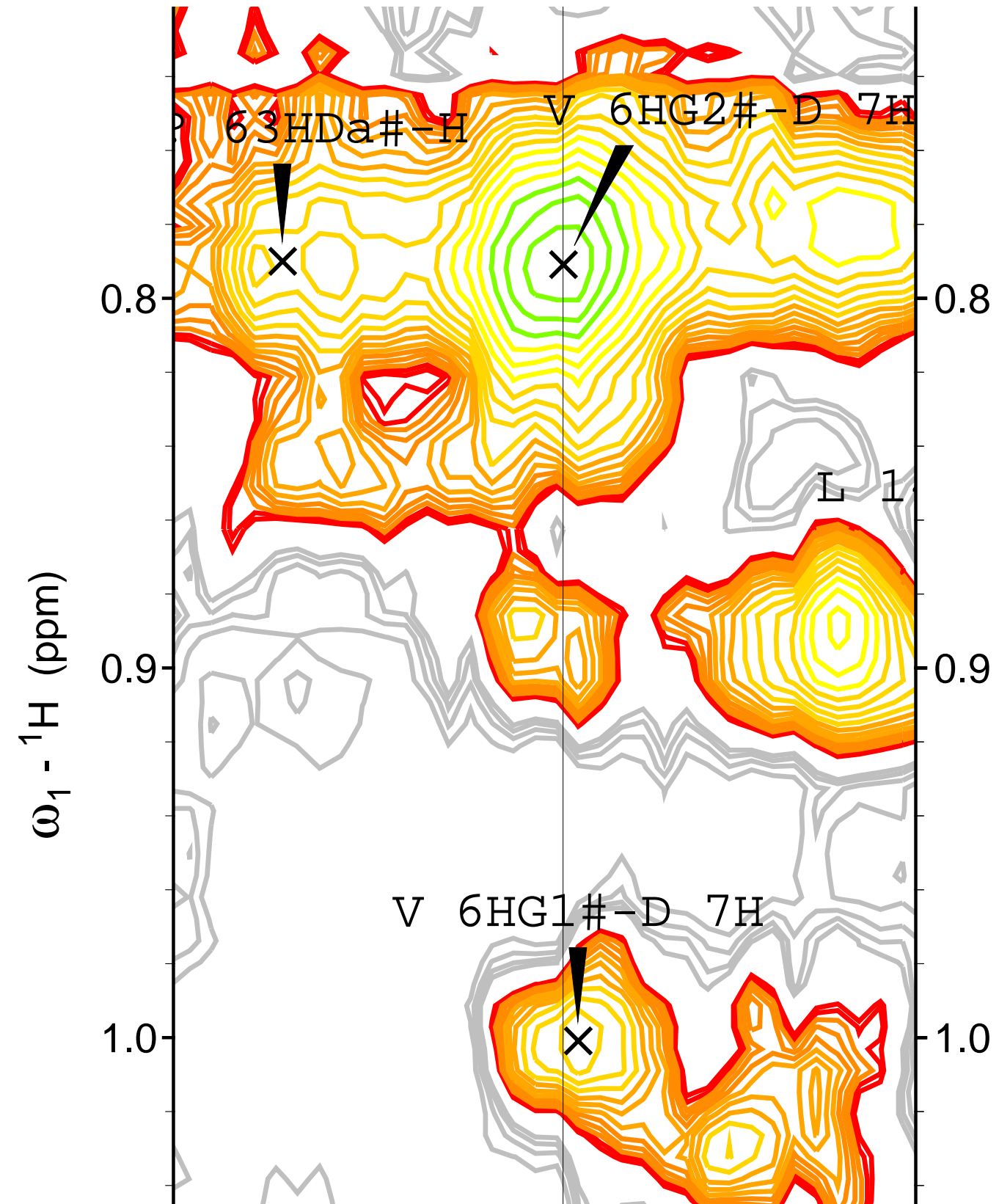










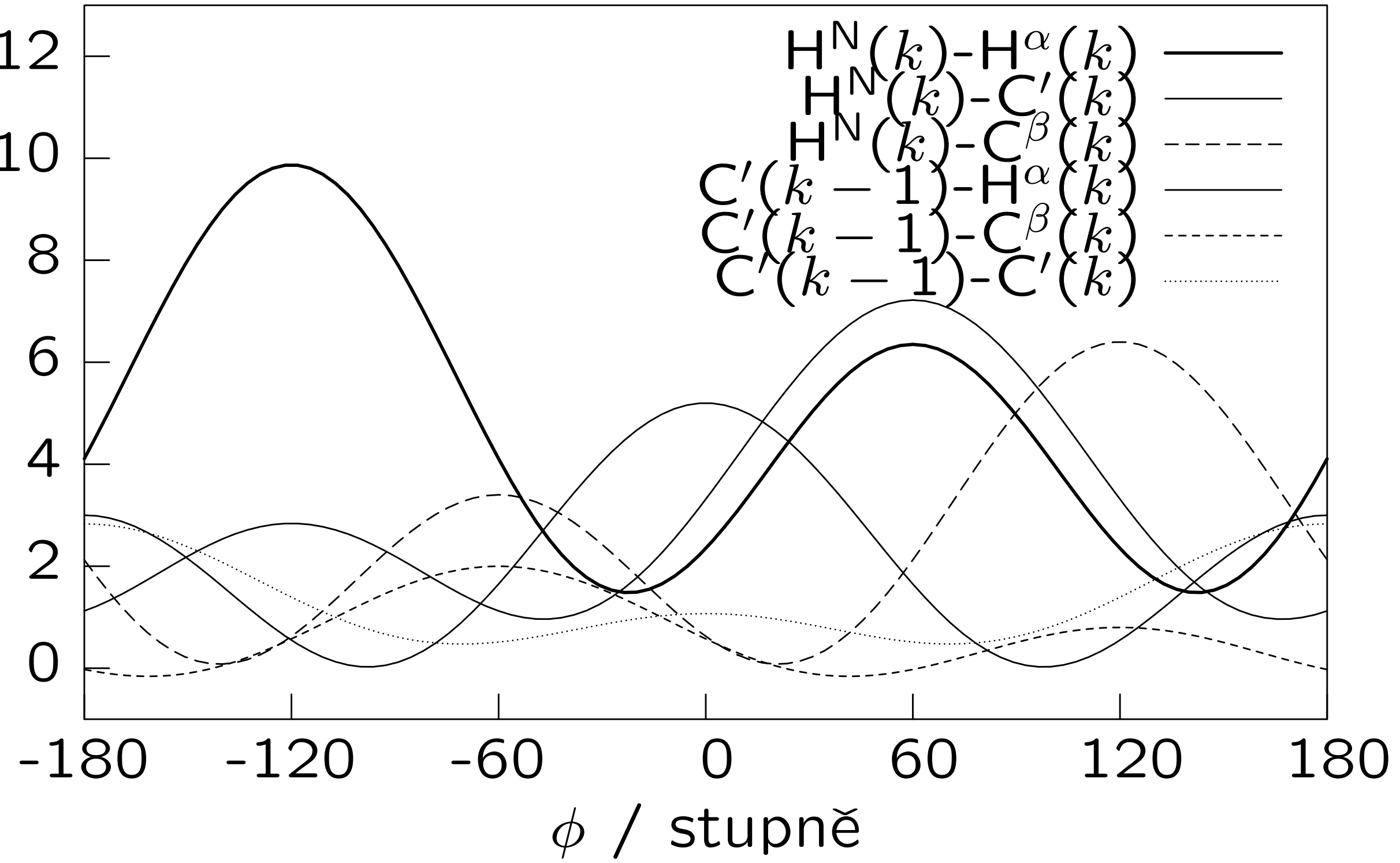


$$\frac{S}{S_{\text{ref}}} = \left(\frac{r_{\text{ref}}}{r} \right)^6 \quad (1)$$

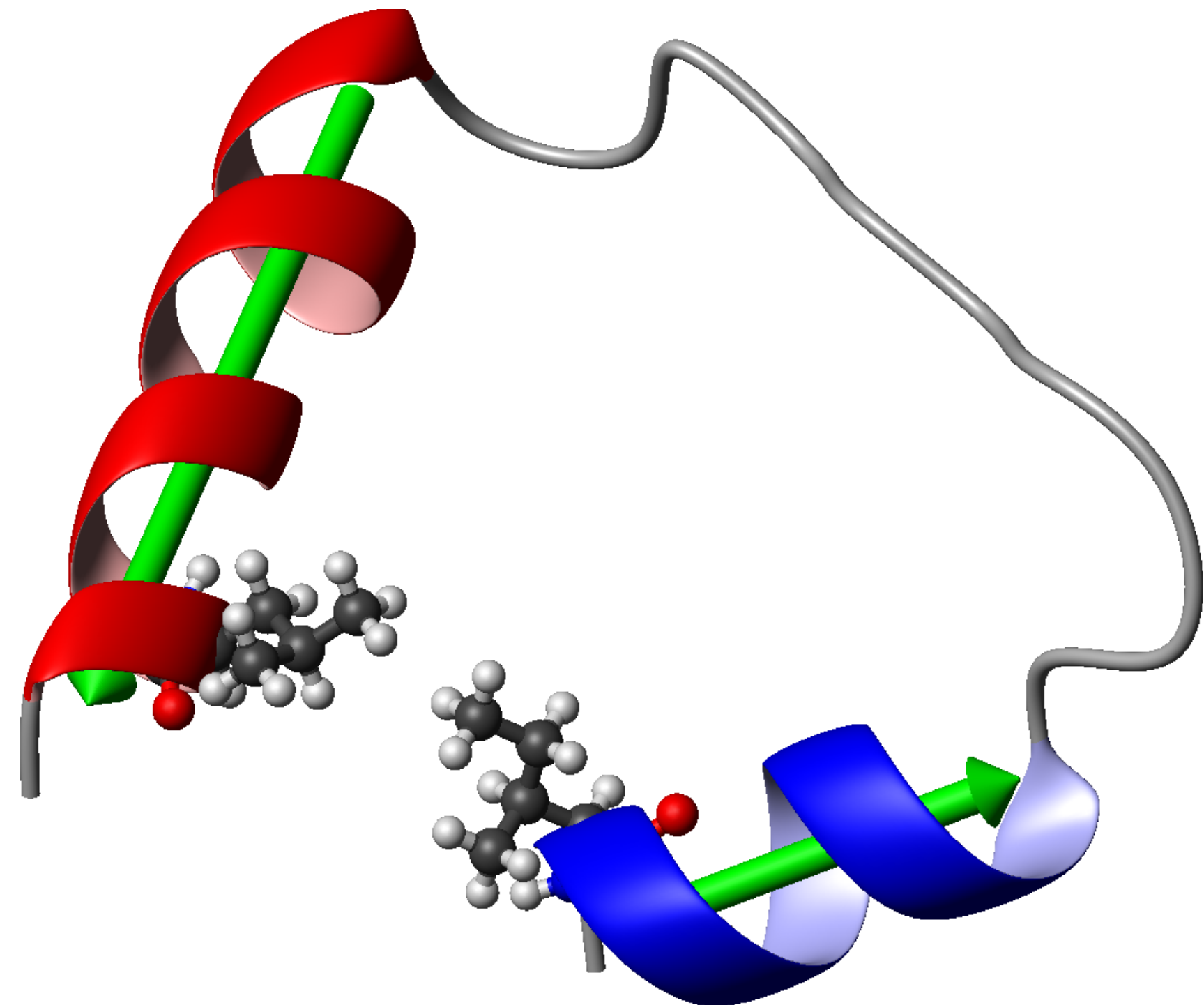
$$r = r_{\text{ref}} \sqrt[6]{\frac{S_{\text{ref}}}{S}} \quad (2)$$

Referenční protony	vzdálenost
geminální v methylenu	$\text{H}-\text{C}-\text{H}$ 0,17 nm
vicinální v aromatickém kruhu	$\text{H}-\text{C}=\text{C}-\text{H}$ 0,25 nm
meta v aromatickém kruhu	$\text{H}-\text{C}=\text{CH}-\text{C}-\text{H}$ 0,42 nm

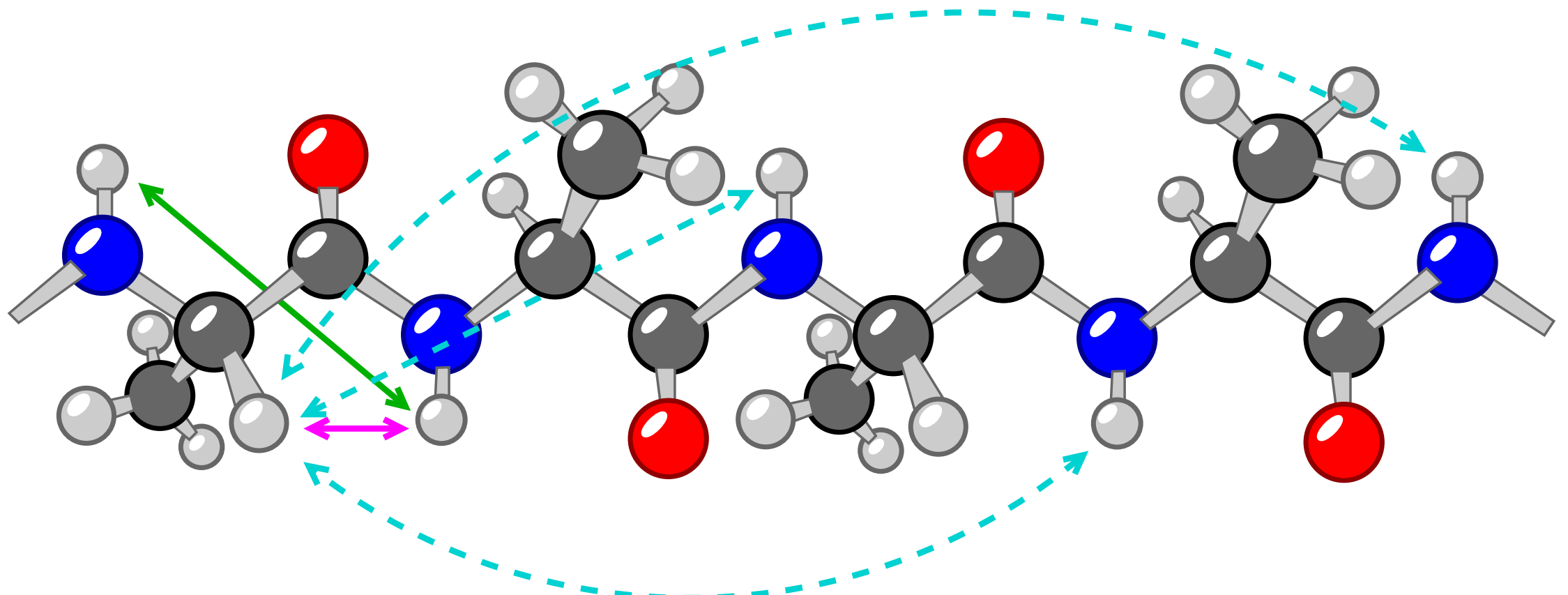
Interakční konstanta / Hz

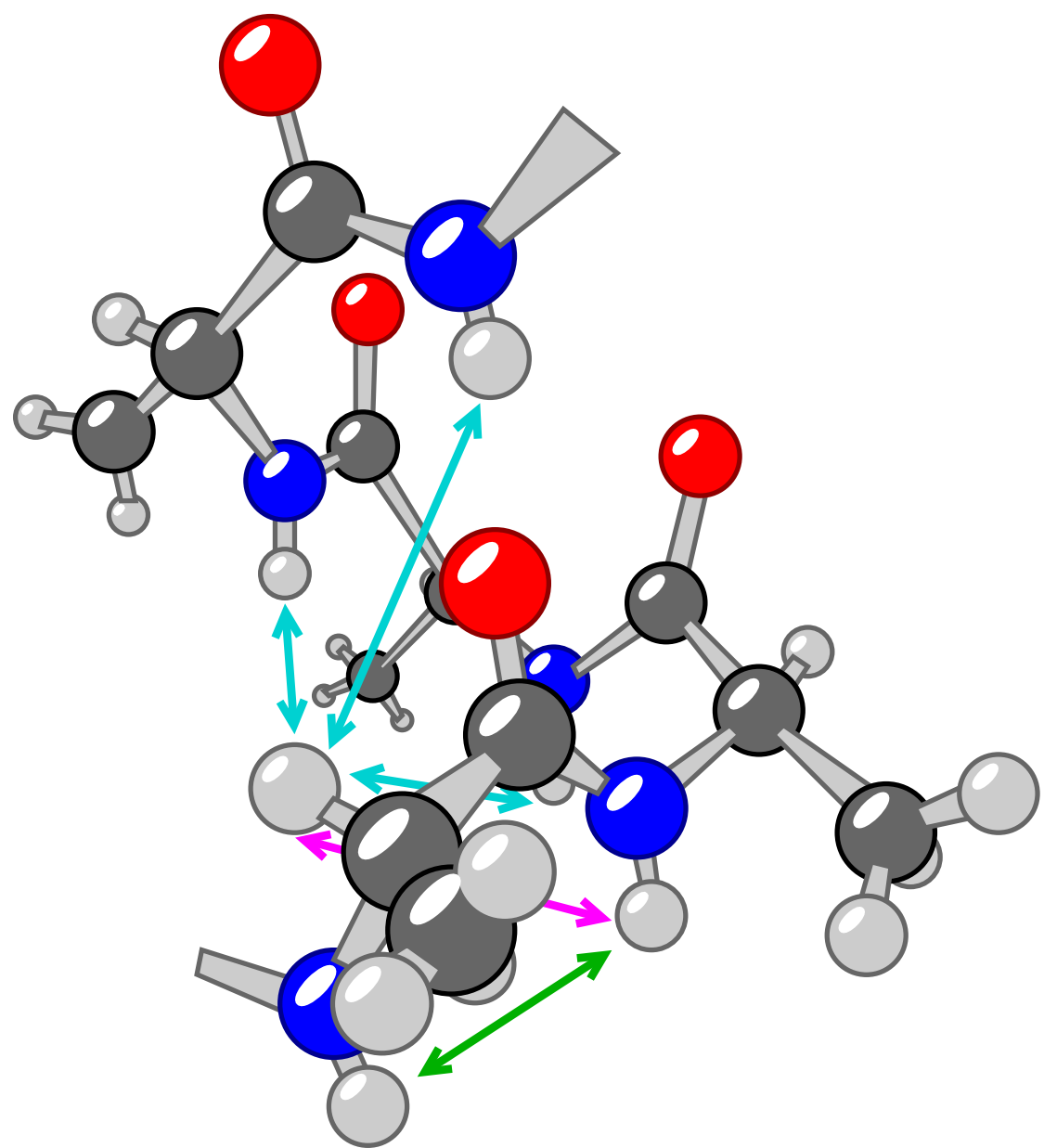


Zbytkové dipólové interakce $\propto \langle 3\cos^2\theta - 1 \rangle \Rightarrow$ orientace



Data	β -list	α -šroubovice
$\delta(C'), \delta(C^\alpha)$	↓	↑
$\delta(C^\beta), \delta(H^\alpha)$	↑	↓
$ H_i^\alpha H_{i+1}^N $	0,22 nm	0,35 nm
$ H_i^N H_{i+1}^N $	0,40 nm	0,28 nm
$ H_i^\alpha H_{i+2}^N $	daleko	0,42 nm
$ H_i^\alpha H_{i+3}^N $	daleko	0,34 nm
$ H_i^\alpha H_{i+4}^N $	daleko	0,42 nm
${}^3J(H_i^N H_i^\alpha)$	$> 8 \text{ Hz}$	$< 5 \text{ Hz}$



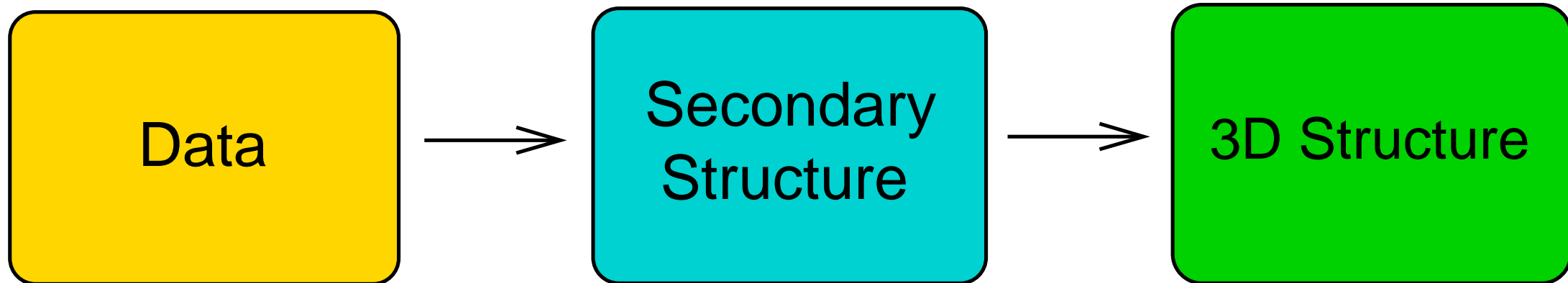


α -helix

3_{10} -helix

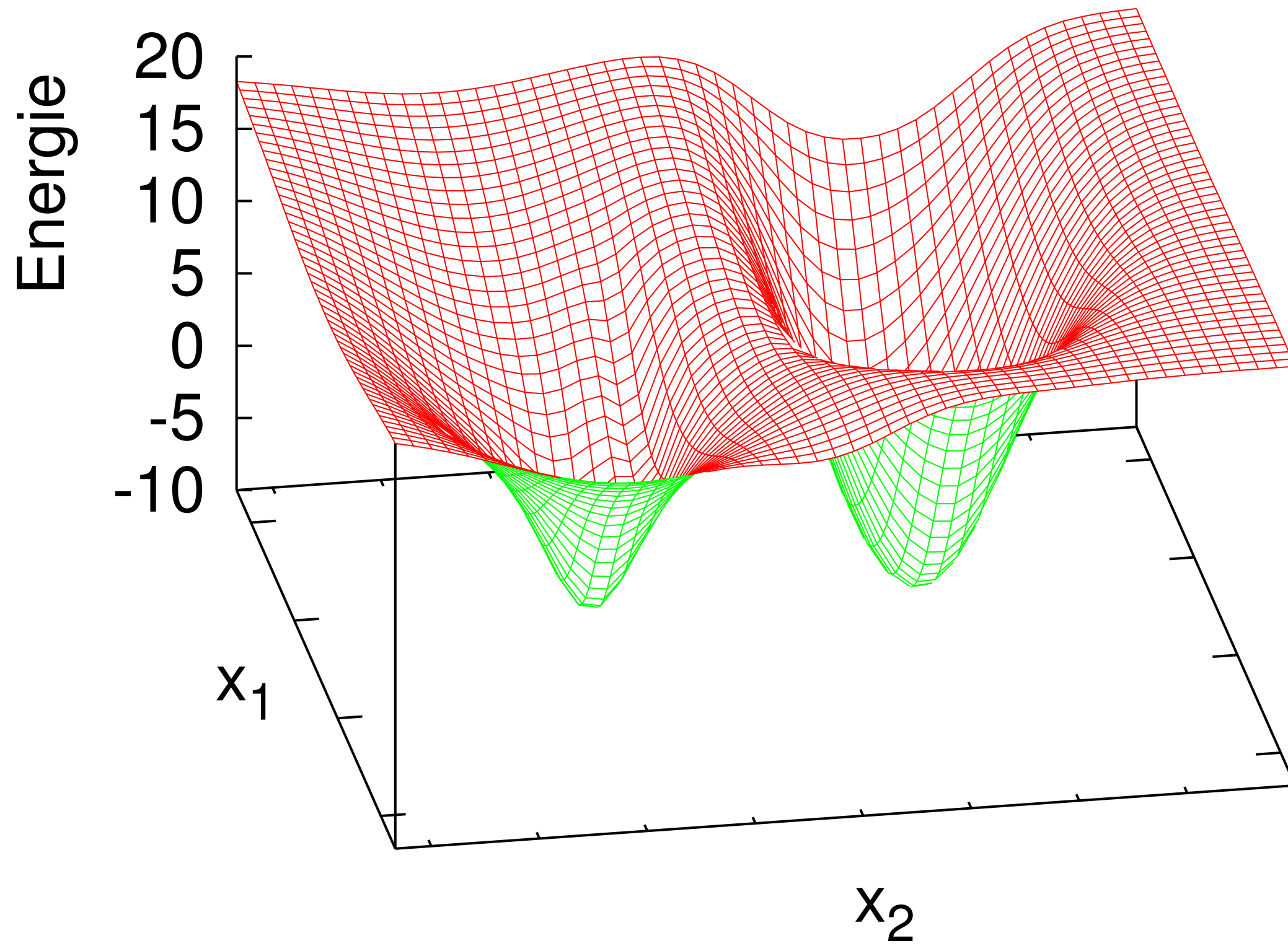
antiparallel β -sheet

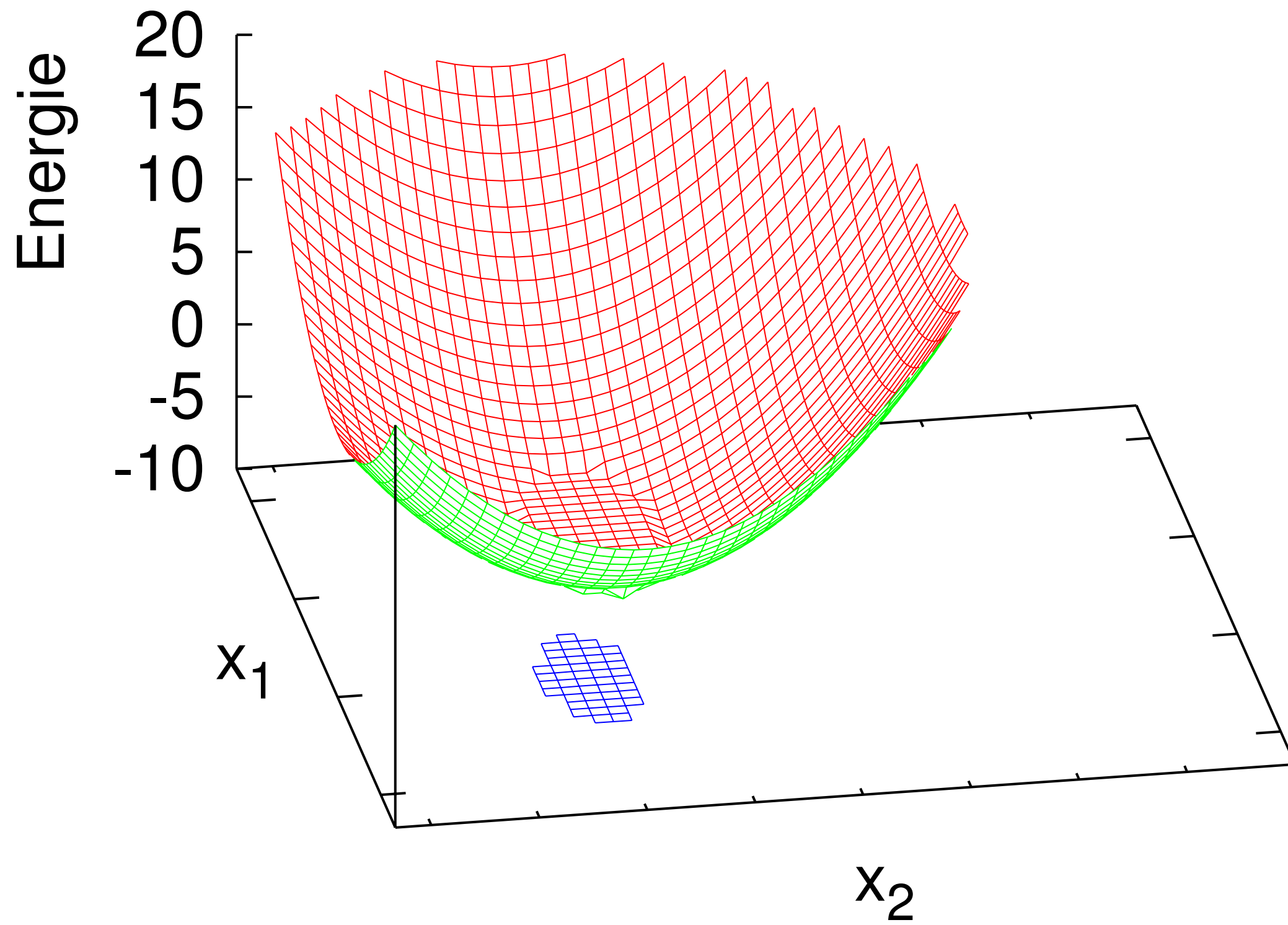
parallel β -sheet

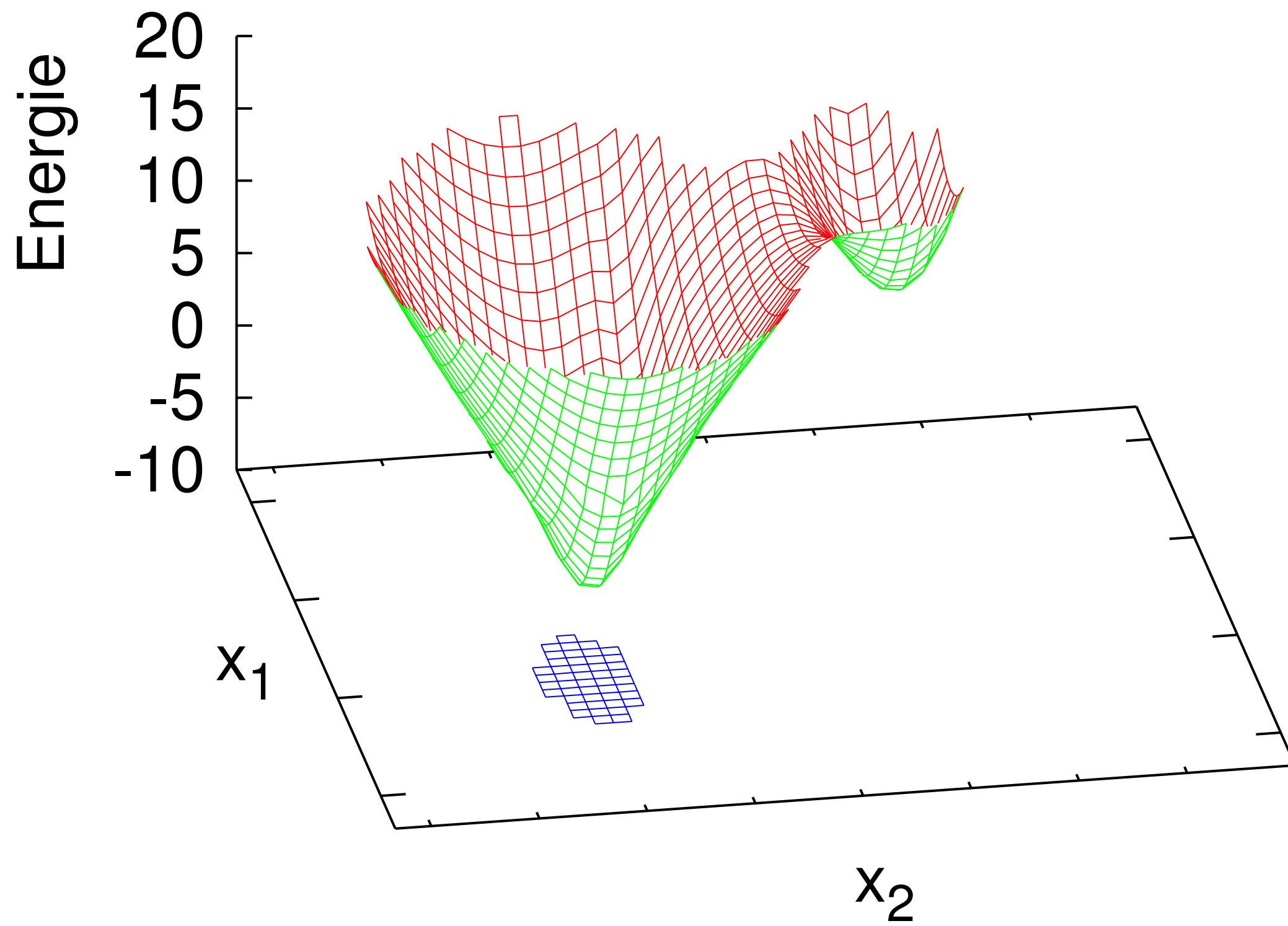


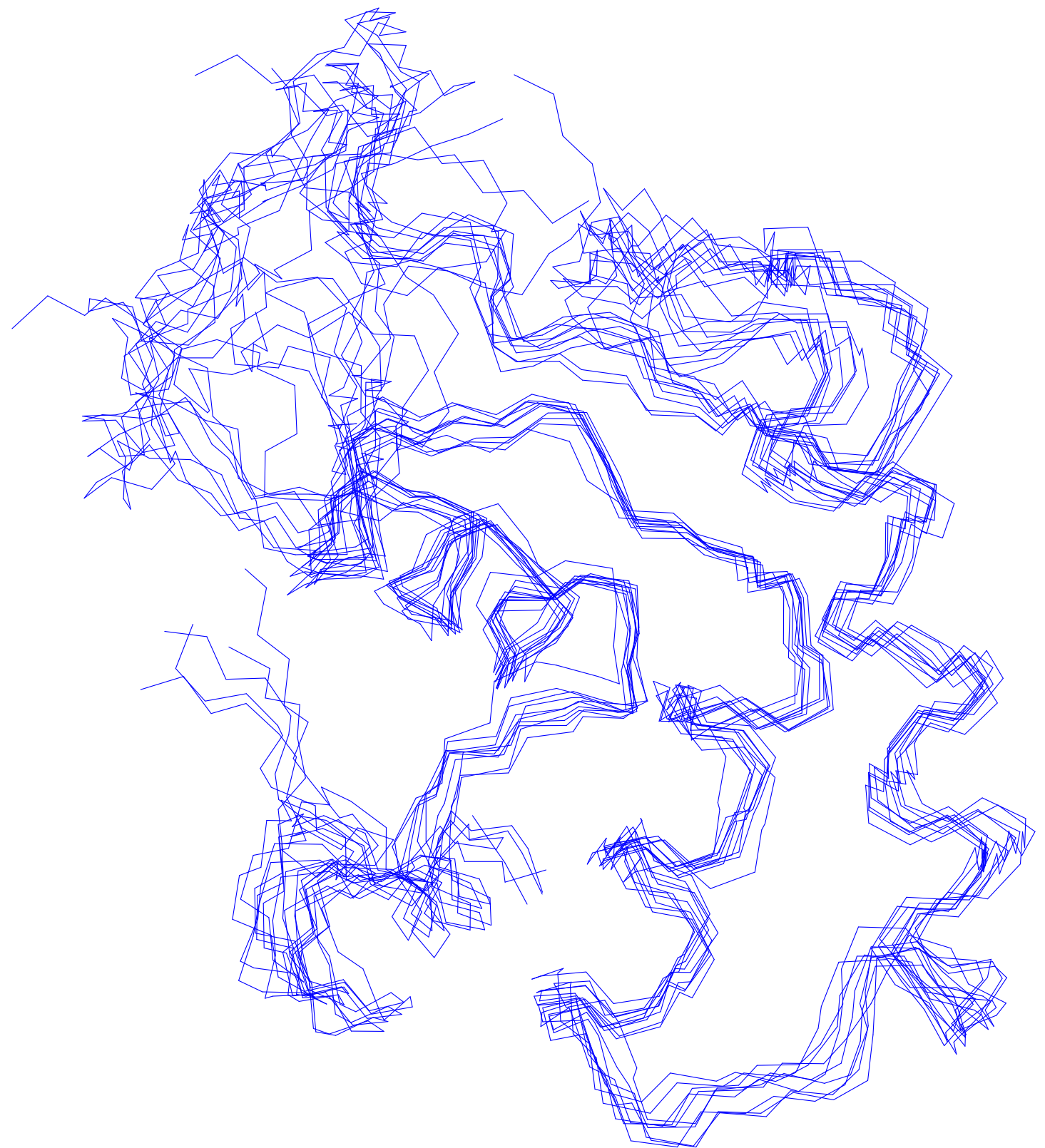
TALOS prediction (oo) (ooooooo) ... \Leftrightarrow (ooooooo) (oo oooooo)
 3J prediction (ooo) (ooo) (ooooooo oooooo) \Rightarrow \Leftarrow
 NOE prediction (ooo) ... (oooooooooooo) ... (oooooooooooo) ... (o oooooooo) (oo) . $\Leftarrow\Rightarrow$
 CSI prediction (ooo) ... (ooooooo) ... (ooooooo) ... (oo oooooooo)

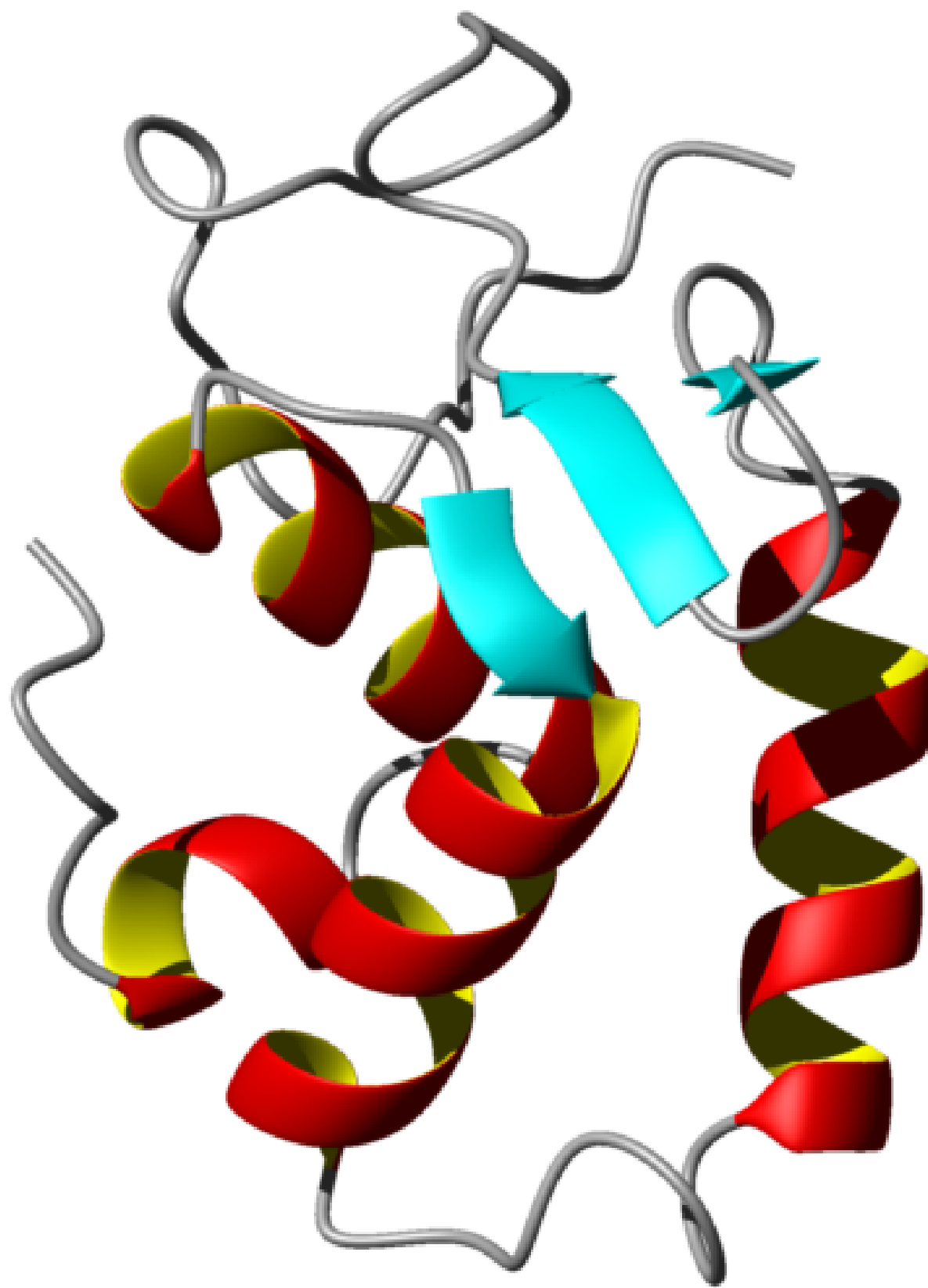
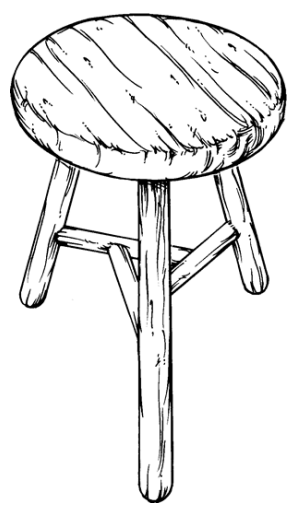


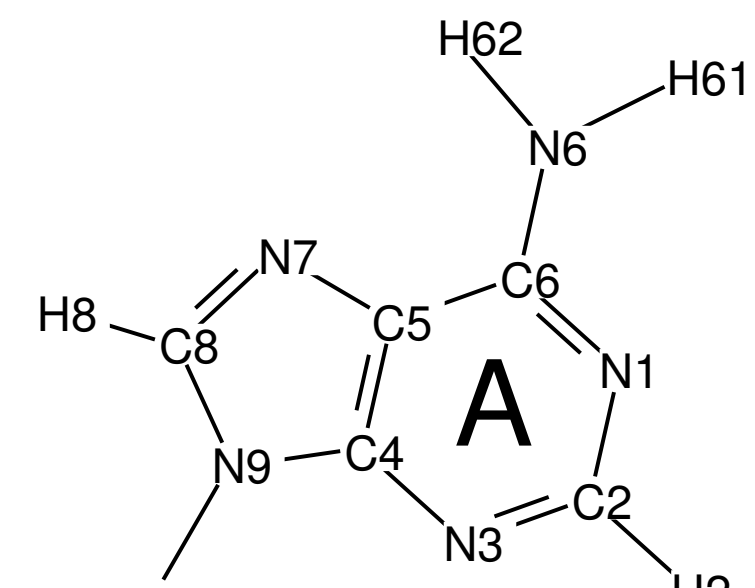
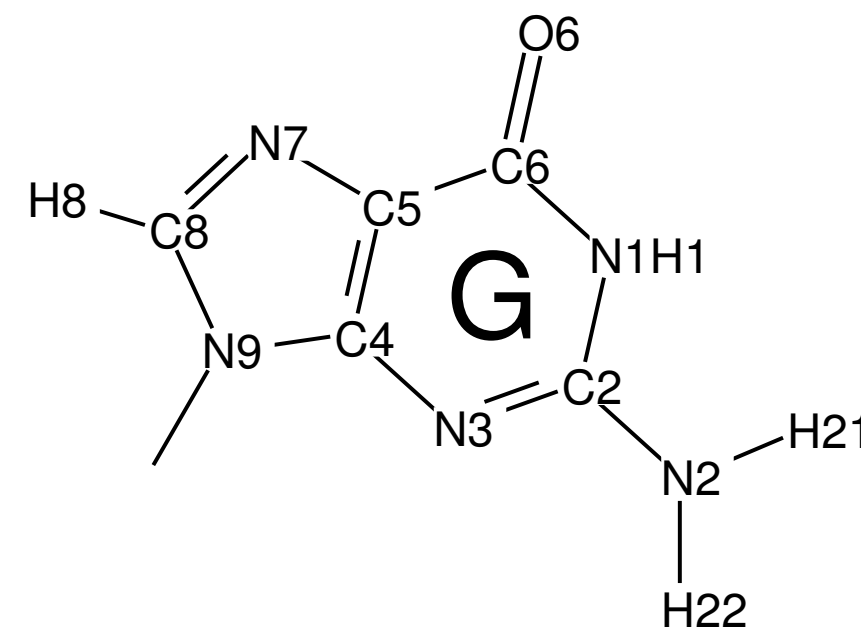
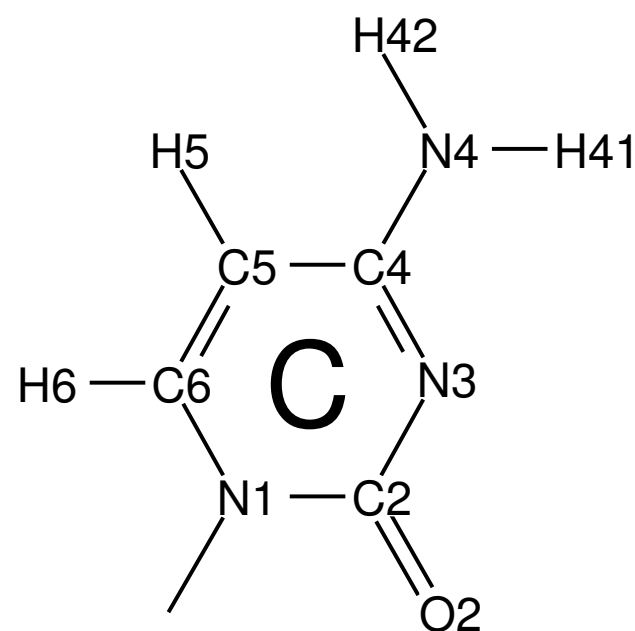
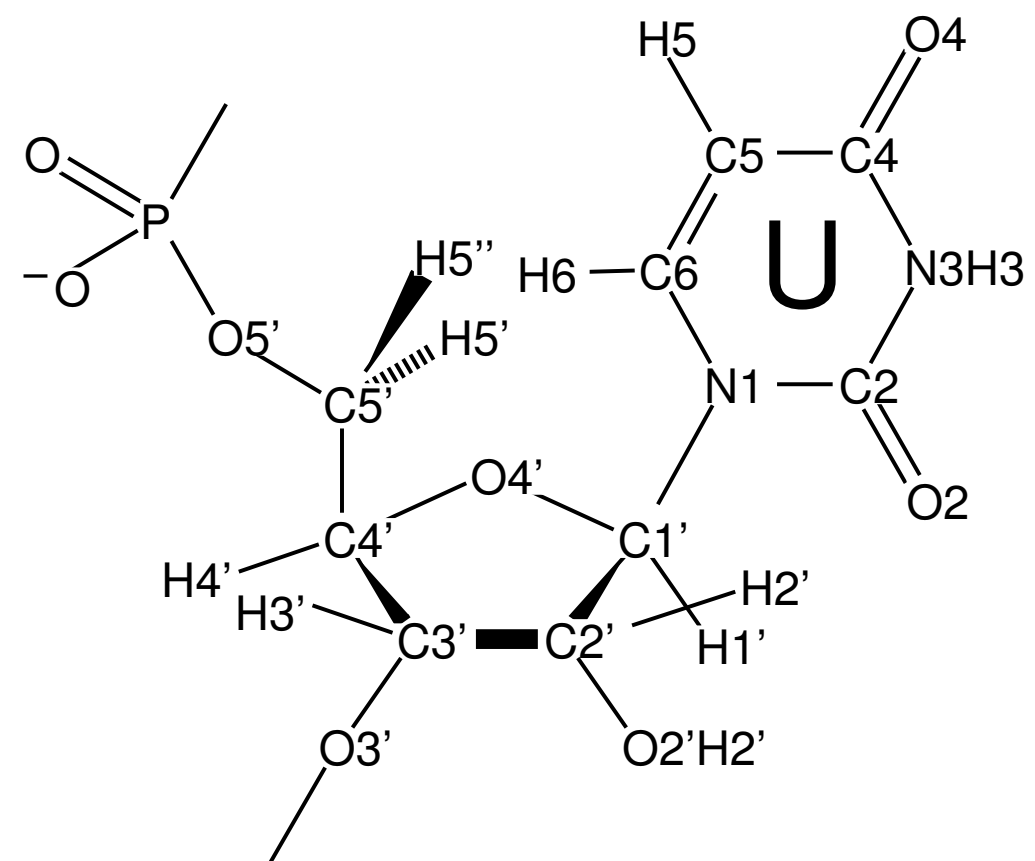
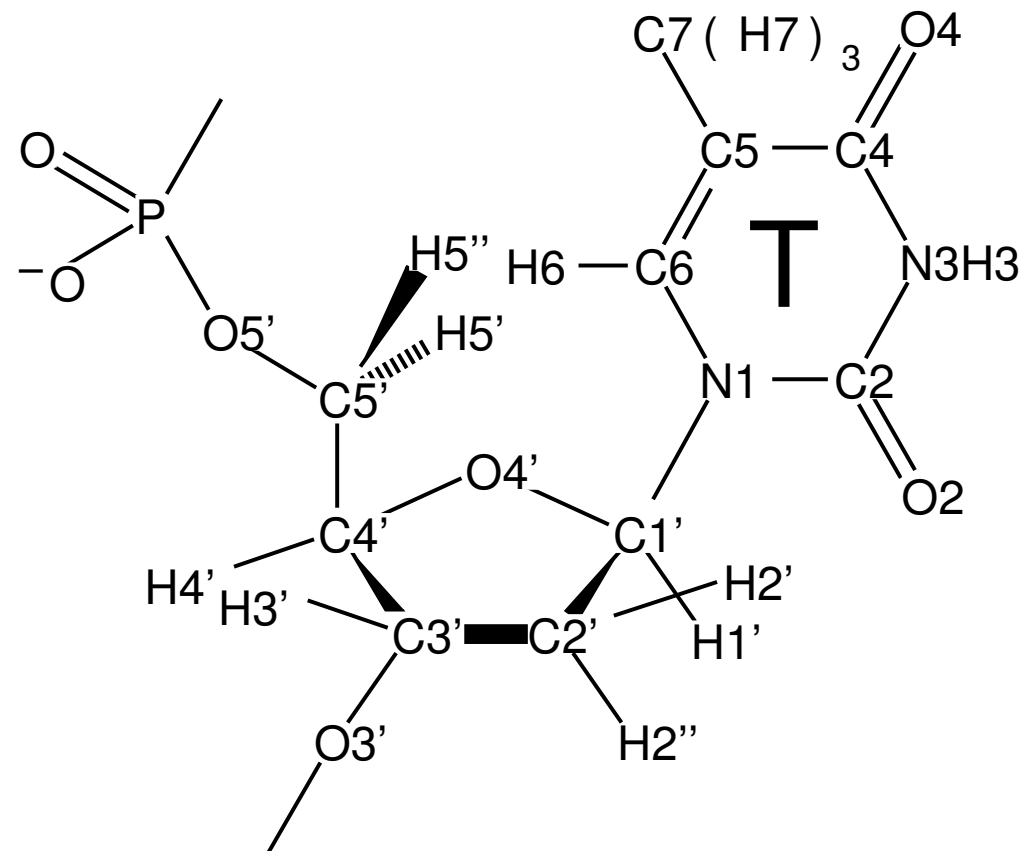












DNA double helix B

DNA double helix A

1	2	3	4	5	6	7	8
C	T	G	A	T	C	A	G
G	A	C	T	A	G	T	C
8	7	6	5	4	3	2	1

1	2	3	4	5	6
C	T	G	A	A	T
G	A	C	T	T	A
6'	5'	4'	3'	2'	1'

